



## ใบรับรองวิทยานิพนธ์

บัณฑิตวิทยาลัย มหาวิทยาลัยเกษตรศาสตร์

วิทยาศาสตรมหาบัณฑิต (พันธุวิศวกรรม)

ปริญญา

พันธุวิศวกรรม

สาขาวิชา

โครงการสหวิทยาการระดับบัณฑิตศึกษา

ภาควิชา

เรื่อง การโคลนและศึกษาหน้าที่ของยีน *aroE* ในวิถี shikimate ของ *Streptomyces venezuelae*

Cloning and Studying Function of *aroE* Gene in Shikimate Pathway of *Streptomyces venezuelae*

ผู้วิจัย นางสาวรัชนีวรรณ แจ่มแสง

ได้พิจารณาเห็นชอบโดย

อาจารย์ที่ปรึกษาวิทยานิพนธ์หลัก

( รองศาสตราจารย์อรินทิพย์ ธรรมชัยพินต, Ph.D. )

อาจารย์ที่ปรึกษาวิทยานิพนธ์ร่วม

( ผู้ช่วยศาสตราจารย์สมชัย พรบันลือลาภ, Ph.D. )

ประธานสาขาวิชา

( ผู้ช่วยศาสตราจารย์ศิริวรรณ พรางษ์, Ph.D. )

บัณฑิตวิทยาลัย มหาวิทยาลัยเกษตรศาสตร์รับรองแล้ว

( รองศาสตราจารย์กัญจนा ชีระกุล, D.Agr. )

คณบดีบัณฑิตวิทยาลัย

วันที่ เดือน พ.ศ.

วิทยานิพนธ์

เรื่อง

การโคลนและศึกษาหน้าที่ของยีน *aroE* ในวิถี shikimate ของ *Streptomyces venezuelae*

Cloning and Studying Function of *aroE* Gene in Shikimate Pathway of *Streptomyces venezuelae*

โดย

นางสาวรัชนีวรรณ แจ่มแสง

เสนอ

บัณฑิตวิทยาลัย มหาวิทยาลัยเกษตรศาสตร์

เพื่อความสมบูรณ์แห่งปริญญาวิทยาศาสตร์มหาบัณฑิต (พันธุวิศวกรรม)

พ.ศ. 2551

รัชนีวรรณ แจ่มแสง 2551: การโคลนและศึกษาหน้าที่ของยีน *aroE* ในวิถี shikimate ของ *Streptomyces venezuelae* ปริญญาวิทยาศาสตร์มหาบัณฑิต (พันธุ์วิศวกรรม) สาขา พันธุ์วิศวกรรม โครงการสหวิทยาการระดับบัณฑิตศึกษา อาจารย์ที่ปรึกษาวิทยานิพนธ์ หลัก: รองศาสตราจารย์อินทิพย์ ธรรมชัยพินต, Ph.D. 91 หน้า

*Streptomyces venezuelae* ผลิตสารปฎิชีวนะคลอเรมฟินิกอล ซึ่งสังเคราะห์มาจากวิถี shikimate โดยเย็นไข้ม์ shikimate dehydrogenase ที่สังเคราะห์จากยีน *aroE* เป็นหนึ่งในเย็นไข้ม์ที่สำคัญในวิถี shikimate เมื่อเพิ่มปริมาณยีน *aroE* ใน *S. venezuelae* ด้วยวิธีพีซีอาร์ แล้วใช้เป็นโพรงติดตามยีน *aroE* จากโครโนไซมของ *S. venezuelae* ซึ่งสามารถโคลนชิ้นดีเย็นออกขนาด 1.5 กิโลเบส ซึ่งเมื่อหาลำดับเบสแล้วพบว่าได้ส่วน C-terminal ของยีน *aroE* ของ *S. venezuelae* ที่ประกอบด้วย 525 คู่เบส แปลเป็นกรดอะมิโนได้ 175 กรดอะมิโน และมีความสัมพันธ์ใกล้ชิดกับ AroE ของ *S. pristinaespiralis* ATCC 25486 เพื่อตรวจสอบหน้าที่ของยีนจึงทำการทดสอบต่างๆ โดยทำการศึกษาสภาวะที่เหมาะสมในการทำคอนจูเกชันระหว่าง *S. venezuelae* และ *E. coli* ET12567 (pUZ8002/pSET152) เพื่อนำไปใช้ในการทำยีนดิสรับชัน พบว่าสภาวะที่เหมาะสมคือ กระตุ้นการออกของสปอร์ *S. venezuelae* ที่ 40 องศาเซลเซียส นาน 10 นาที หรือ ใช้ไข่เดิมที่ เดือนอายุ 12-24 ชั่วโมงเป็นผู้รับ ก่อนนำไปคอนจูเกชันกับ *E. coli* บนอาหารแข็ง TSA (Oxoid) ที่ มี MgCl<sub>2</sub> 10 มิลลิโมลาร์ พบว่ามีความถี่สูงสุดที่ 10<sup>-4</sup> เอกซ์คอนจูเกนต์ต่อผู้รับ โดยเอกซ์คอนจูเกนต์มีรูปแบบการแทรกของพลาสมิด pSET152 บนโครโนไซมที่ตำแหน่งเดียวกัน และมีสมบัติทางสัมฐานวิทยาและสังเคราะห์สารคลอเรมฟินิกอลได้เช่นเดียวกับไวค์ไทย เมื่อทำการศึกษาหน้าที่ของยีน *aroE* ใน *S. venezuelae* ด้วยวิธีเย็นดิสรับชัน โดยสั่งถ่ายพลาสมิด pATT803 (pSET151 ที่มีชิ้นพีซีอาร์ของ *aroE*) เข้าสู่โครโนไซมของ *S. venezuelae* ด้วยการทำการทดสอบต่างๆ พบว่าสามารถเจริญได้ในอาหารที่ไม่เติมกรดอะมิโน ทริปโตเฟน ไทโรซิน ฟินิโลลามานีน และไม่สามารถเจริญ *E. coli* JM109 ซึ่งไวต์คลอเรมฟินิกอลได้ และเมื่อสกัดสารคลอเรมฟินิกอลจากสายพันธุ์คล้ายแล้วตรวจโดย HPLC พบสายพันธุ์คล้ายสร้างคลอเรมฟินิกอลในปริมาณที่น้อยมากเมื่อเทียบกับไวค์ไทย การเกิดยีนดิสรับชันในสายพันธุ์คล้ายพิสูจน์ด้วยวิธี Southern blot hybridization โดยการกลยุทธ์ที่ยืนยัน *aroE* นี้มีผลกรบทบท่อวิถี shikimate และการผลิตคลอเรมฟินิกอลของ *S. venezuelae*

Ratchaniwan Jeamseang 2008: Cloning and Studying Function of *aroE* Gene in Shikimate Pathway of *Streptomyces venezuelae*. Master of Science (Genetic Engineering), Major Field: Genetic Engineering, Interdisciplinary Graduate Program. Thesis Advisor: Associate Professor Arinthip Thamchaipenet, Ph.D. 91 pages.

*Streptomyces venezuelae* produces chloramphenicol which is synthesized via shikimate pathway. Shikimate dehydrogenase (encoded by *aroE* gene) is one of the seven important enzymes in shikimate pathway. The *aroE* gene of *S. venezuelae* was amplified by PCR and used as a probe to hybridize the genomic fragments. Positive fragment of 1.5 kb was subsequently cloned and sequenced. The C-terminal *aroE* gene of *S. venezuelae* consists of 525 basepairs encoded 175 amino acids and its protein was closely similar to that of *S. pristinaespiralis* ATCC 25486. Intergeneric conjugation between *S. venezuelae* and *E. coli* ET12567 (pUZ8002/pSET 152) was conducted in order to develop a plasmid transfer system for gene disruption. The optimum condition for conjugation to occur was when either pre-germinated spores at 40 °C for 10 minutes or 12-24 hours old mycelium of *S. venezuelae* was used as recipient to mate with *E. coli* on TSA (Oxoid) containing 10 mM MgCl<sub>2</sub>. Maximum frequency of conjugation was observed at 10<sup>-4</sup> exconjugants per recipients. The exconjugants showed identical integration pattern of pSET152 into their chromosome and maintained stable morphology and antibacterial activity as the wild type. The attempt to verify the *aroE* gene function was achieved by gene disruption using the optimal conjugal condition to transfer pATT803 (pSET151 harbouring *aroE* PCR fragment) into *S. venezuelae* chromosome. The mutants could not grow on minimum medium lacking of tryptophan, tyrosine and phenylalanine. Furthermore, the mutants could not inhibit *E. coli* JM109 which is sensitive to chloramphenicol. The cultures of mutants were then characterised by HPLC and revealed that chloramphenicol was drastically reduced comparing to that of wild type. The *aroE* gene disruption was essentially verified by Southern blot hybridization. The results of this study indicated that *aroE* gene is involved in shikimate pathway that leads to the production of chloramphenicol in *S. venezuelae*.

---

Student's signature

---

Thesis Advisor's signature

/ / /

## กิตติกรรมประกาศ

ผู้วิจัยขอรับขอบพระคุณ รศ.ดร. อรินทิพย์ ธรรมชัยพินธ ประธานกรรมการที่ปรึกษา  
วิทยานิพนธ์ พศ.ดร. สมชาย พรบันลือลาภ กรรมการที่ปรึกษาสาขาวิชาร่วม ที่ให้คำปรึกษาในการ  
เรียน การค้นคว้าวิจัย ตลอดจนการตรวจสอบแก้ไขวิทยานิพนธ์จนกระทั่งเสร็จสมบูรณ์ และทราบ  
ขอบพระคุณ รศ. ดร. สุรินทร์ ปิยะโภคนาคุ ประธานการสอน และ ดร.ณัฐฐิกา แสงกฤช  
ผู้ทรงคุณวุฒิ ที่ได้ให้ความกรุณาตรวจสอบแก้ไขวิทยานิพนธ์ให้สมบูรณ์ยิ่งขึ้น

ขอบพระคุณ ดร. พิทักษ์ เทื้อวงศ์ ภาควิชาเคมี ที่ได้เสียสละเวลาให้คำปรึกษาในการสกัดสาร  
ขอรับขอบพระคุณอาจารย์ภาควิชาพันธุศาสตร์และพันธุวิศวกรรมทุกท่าน ที่ได้อบรมสั่งสอนและ  
มอบความรู้ขั้นเป็นประਯชน์อย่างยิ่งในการนำไปใช้ประโยชน์ และให้ความช่วยเหลือและให้  
คำแนะนำต่างๆ

วิทยานิพนธ์ฉบับนี้ได้รับการสนับสนุนทุนระดับบัณฑิตศึกษาภายใต้ประเภท สาขา  
เทคโนโลยีชีวภาพ จากคุณยพันธุ์วิศวกรรมและเทคโนโลยีชีวภาพแห่งชาติสำนักงานพัฒนา  
วิทยาศาสตร์และเทคโนโลยีแห่งชาติ

ด้วยความดีหรือประโยชน์อันใดเนื่องจากวิทยานิพนธ์เล่มนี้ ขอบพระคุณพ่อ คุณแม่ ที่ได้  
อุปกรณ์และให้กำลังใจผู้วิจัยมาตลอดในทุกเรื่อง

รัชนีวรรณ แจ่มแสง  
กันยายน 2551

(1)

## สารบัญ

หน้า

สารบัญ	(1)
สารบัญตาราง	(2)
สารบัญภาพ	(3)
คำนำ	1
วัตถุประสงค์	2
การตรวจเอกสาร	3
อุปกรณ์และวิธีการ	21
ผลและวิจารณ์	40
สรุป	69
เอกสารและสิ่งอ้างอิง	71
ภาคผนวก	83

## สารบัญตาราง

	<b>ตารางที่</b>	<b>หน้า</b>
1	ชุดนิทรรศ์ที่ใช้ในงานวิจัย	21
2	พลาสมิดที่ใช้ในงานวิจัย	21
3	ความเข้มข้นของยาปฏิชีวนะที่ใช้ในการเลี้ยง <i>Streptomyces</i> และ <i>E. coli</i>	23
4	ลำดับนิวคลิโอลิโคด์ของไฟร์เมอร์ที่ใช้ในงานวิจัย	28
5	แสดงประสิทธิภาพของการคอนjugation โดยการกระตุ้นการออกของสปอร์ <i>S. venezuelae</i> ผู้รับ ที่อุณหภูมิแตกต่างกัน	43
6	แสดงประสิทธิภาพของการคอนjugation โดยใช้ไมซีเดียมที่เลี้ยงในเวลาที่ต่างกัน	44

## สารบัญภาพ

ภาพที่	หน้า
1 การสังเคราะห์สารจากวิถี shikimate	5
2 วิถี shikimate ใน <i>E. coli</i>	7
3 ปฏิกิริยาการทำงานของเอนไซม์ shikimate dehydrogenase	9
4 ปฏิกิริยาการทำงานของเอนไซม์ NAD-quinate/shikimate dehydrogenase	12
5 วิถี quinate	13
6 วงศ์ชีวิตของ <i>Streptomyces</i>	14
7 วิถีการสังเคราะห์สารปฎิชีวนะคลอเรนฟินิคอล	16
8 พลasmidสำหรับทำaconjugationต่างสกุลระหว่าง <i>E. coli</i> กับ <i>Streptomyces</i>	19
9 พลasmid pSET152 ที่ใช้สำหรับทำaconjugationระหว่าง <i>S. venezuelae</i> และ <i>E. coli</i> ET12567 (pUZ8002)	31
10 พลasmid pJET 1.2 blunt	35
11 พลasmid pSET151 ที่ใช้สำหรับทำhybridizationใน <i>S. venezuelae</i>	36
12 กราฟแสดงการอยู่รอดของสปอร์และประสิทธิภาพในการaconjugationเมื่อกระตุ้นการออกของสปอร์ที่อุณหภูมิต่างๆ	41
13 การตรวจสอบเอกสาร์คอนjugenต์ด้วยวิธีพิชีอาร์โดยการเพิ่มปริมาณยีนที่ต้านยาปฏิชีวนะอะพรามัยซิน ด้วยไพรเมอร์ Apr C-1 และ AprC-2	45
14 การตรวจสอบเอกสาร์คอนjugenต์ของ <i>S. venezuelae</i> ที่ได้รับพลasmid pSET152ด้วย Southern blot hybridization โดยใช้ attP ที่ตัดด้วย SacI และ HindIII เป็นไพร์	46
15 การแทรกตัวของพลasmid pSET152 เข้าในโครโนมโซมของ <i>S. venezuelae</i>	47
16 การตรวจสอบการสร้างคลอเรนฟินิคอลต่อ <i>E. coli</i> JM109 ด้วยวิธี agar plug assay	48
17 บริเวณอนุรักษ์บนยีน aroE ที่ใช้ในการออกแบบไพร์เมอร์	49
18 ผลการทำพิชีอาร์ด้วยไพร์เมอร์ATT061F และ ATT061Rจากโครโนมโซมของ <i>S. venezuelae</i>	50
19 ผลการทดสอบโคลน pATT802 ด้วยเอนไซม์ตัดจำเพาะ	50

## สารบัญภาพ (ต่อ)

ภาพที่	หน้า
20 ลำดับเบสและลำดับกรดของยีน <i>aroE</i> จาก <i>S. venezuelae</i> ในพลาสมิด pATT802	51
21 การตรวจตราหา yīn <i>aroE</i> ของ <i>S. venezuelae</i> ด้วยวิธี Southern blot hybridization โดยใช้ pATT802 ที่ตัดด้วย <i>Hind</i> III เป็นโพรบ	52
22 การสกัดแยกดีเอ็นเอที่มี yīn <i>aroE</i> และตรวจสอบโดยวิธีพีซีอาร์	53
23 ตรวจสอบ DNA library ที่มี yīn <i>aroE</i> โดยวิธีการสกัดพลาสมิดแบบ pool ด้วยพีซีอาร์	54
24 ตรวจสอบโคลนจากพลาสมิด pool ที่ 7 โดย PCR ไพร์เมอร์ ATT061F และ ATT061R โคลนที่มี yīn <i>aroE</i> ให้ผลิตภัณฑ์พีซีอาร์ ขนาด 500 คู่เบส	54
25 ลำดับเบสและลำดับกรดอะมิโนของยีน <i>aroE</i> จาก <i>S. venezuelae</i> ในพลาสมิด pATT804	55
26 การทำ multiple alignment ลำดับกรดอะมิโน AroE จาก <i>S. venezuelae</i> และ <i>Actinomyces</i>	57
27 ผลการทดสอบโคลน pATT803 ด้วยเยอนไซม์ตัดจำเพาะ	58
28 ตรวจสอบสายพันธุ์กล้ายโดยการเพิ่มปริมาณยีนต้านยา NaCl โอสเตรปทอนด้วยวิธีพีซีอาร์	59
29 แสดงการแทรกตัวของพลาสมิด pATT803 ในโครโนมโซนสายพันธุ์กล้าย	60
30 ตรวจสอบเอกซ์ค่อนจูแกนต์โดย PCR โดยใช้ไพร์เมอร์ M13 forward และ M13 reverse	60
31 การตรวจสอบสายพันธุ์กล้ายของ <i>S. venezuelae</i> ที่ได้รับพลาสมิด pATT803 ด้วย Southern blot hybridization โดยใช้ <i>tsr</i> ที่ตัดด้วย <i>Nde</i> I เป็นโพรบ	61
32 การตรวจสอบสายพันธุ์กล้ายในอาหาร MM ที่เติมและไม่เติมกรดอะมิโนทริปโตฟেน ฟีนิโละลานีน และไทโรสิน	62
33 การตรวจสอบการสร้างคลอแรมฟินิคอลโดยการเกิดวงไสของสายพันธุ์กล้ายต่อ <i>E. coli</i> JM109 ด้วยวิธี agar plug assay	63
34 ผลการวิเคราะห์สารสกัดด้วยวิธี HPLC	65

**การโคลนและศึกษาหน้าที่ของยีน *aroE* ในวิถี shikimate ของ  
*Streptomyces venezuelae***

**Cloning and Studying Function of *aroE* Gene in Shikimate Pathway of  
*Streptomyces venezuelae***

**คำนำ**

วิถี shikimate (shikimate pathway) เป็นวิถีที่จำเป็นต่อการดำเนินชีวิตของแบคทีเรีย รา และ พืช เนื่องจากเป็นวิถีที่สังเคราะห์สารที่สำคัญต่างๆ เช่น โคเอนไซม์คิว (coenzyme Q) ไฟเดท และ กรดอะมิโนในกลุ่ม aromatic ที่สำคัญ 3 ชนิด คือ ทริปโตเฟน (tryptophan) ไทโรซิน (tyrosin) และฟีนิลอะลานีน (phenylalanine)

สาร intermediate ที่สำคัญในวิถีนี้คือ shikimate หรือ shikimic acid ซึ่งเป็นสารตั้งต้นในการสังเคราะห์ยาปฏิชีวนะหลายชนิด เช่น ทามิฟลู (Tamiflu) คลอแรมฟินิกอล (chloramphenical) โนโวไบโอซิน (novobiocin) และลินโคล้มยซิน (lincomycin) เป็นต้น ปัจจุบัน shikimic acid ถูกสกัดมาจากพืชชนิดหนึ่งในประเทศไทยซึ่งชื่อว่า ปีชากือ (star anis) แต่เนื่องจากวิถี shikimate นั้นพบทั้งในแบคทีเรีย รา และ พืช จึงมีการวิจัยหารือวิธีสกัด หรือ เพิ่มปริมาณ shikimate จากแบคทีเรีย โดยเริ่มศึกษาจากกลุ่มยีนที่สังเคราะห์oen ไซม์ในวิถี shikimate ในแบคทีเรีย ซึ่งมีการแบ่งเซลล์และเพิ่มจำนวน ได้ร่วมเริ่ว ทำให้เกิดการพัฒนาประสิทธิภาพการผลิต

ในการทดลองครั้งนี้จึงสนใจศึกษาและโคลนยีน *aroE* ที่ทำหน้าที่สังเคราะห์oen ไซม์ shikimate dehydrogenase และทำให้เกิดการกลายของยีนใน *Streptomyces venezuelae* ซึ่งเป็นแบคทีเรียที่สามารถผลิตยาปฏิชีวนะคลอแรมฟินิกอล โดยการทำยีนดิสรัปชัน (gene disruption) โดยใช้เทคนิคคุณูเกชันต่างสกุล (intergeneric conjugation) เพื่อคุ้มครองจากการกลายต่อวิถี shikimate และการผลิตคลอแรมฟินิกอล เพื่อนำผลการทดลองที่ได้ไปประยุกต์ใช้กับการศึกษาoen ไซม์อื่นในวิถี shikimate รวมทั้งพัฒนาการผลิตสารต่างๆ ที่ได้จากวิถีนี้ต่อไป

วัตถุประสงค์

1. หาสภาวะที่เหมาะสมในการส่งถ่ายพลาสมิดจาก *Escherichia coli* เข้าสู่ *S. venezuelae* โดยวิธีคุณูปชันต่างสกุล (intergeneric conjugation)
  2. โกลนยืน shikimate dehydrogenase (*aroE*) จาก *S. venezuelae*
  3. ศึกษาหน้าที่ของยืน *aroE* โดยทำให้เกิดการกลายเพื่อคุณลักษณะที่ต้องการ เช่น การสร้างคลอเรมฟินิกอลใน *S. venezuelae*

## การตรวจเอกสาร

### วิธี shikimate

วิธี shikimate พ布ในแบบที่เรียบ ยิสต์ รา และพีช แต่ไม่พบวิธีนี้ในสัตว์เลี้ยงลูกด้วยนม (Bentley, 1990) โดย shikimate เป็นสารตั้งต้นในการสังเคราะห์กรดอะมิโนที่สำคัญ 3 ชนิด คือ ทริปโตเฟน ไทโรซิน และฟีนิโลลามานิน เป็นวิธีที่สังเคราะห์สารที่สำคัญต่างๆ เช่น โคลอเจน ไซม์คิว ไฟเลท

สาร intermediate ที่สำคัญในวิธีนี้คือ shikimate หรือ shikimic acid ซึ่งเป็นสารตั้งต้นในการสังเคราะห์ยาปฏิชีวนะหลายชนิด เช่น ทามิฟลู การศึกษา shikimate นั้นนำไปสู่การพัฒนาการผลิตยาปฏิชีวนะ และยาปราบวัชพืช

### Shikimic acid

Shikimate หรือ shikimic acid เป็นกรดอินทรีย์ โดยชื่อของ shikimate ได้มาจากการชื่อของพืชในกลุ่ม *Illicium* ในภาษาญี่ปุ่นคือ シキミ (shikimi-no-ki) สามารถสกัด shikimate ได้ครั้งแรกในปี 1885 โดย Eykemann สกัดสารจากเมล็ดของต้นปีบยักษ์ (star anis) *Illicium religiosum* และ *Illicium anisatum* (Euverink, 1995) shikimate ถูกนำมาใช้ในอุตสาหกรรมต่างๆ เช่น อุตสาหกรรมยาใช้ shikimate เป็นสารตั้งต้นในการผลิตยา oseltamivir หรือที่รู้จักกันดีในชื่อของ Tamiflu โดยสกัด shikimate จากผลของ sweetgum ซึ่ง oseltamivir ทำหน้าที่เป็น neuraminidase inhibitor ที่ใช้ในการขับยุงไวรัส influenza A และ influenza B ที่เกิดจาก ไวรัสไข้หวัดนก H5N1 (Bradley, 2005) เนื่องจาก shikimate มีความสำคัญมากในอุตสาหกรรม จึงมีการพัฒนาการผลิตและศึกษาวิถีการผลิต shikimate อย่างต่อเนื่อง

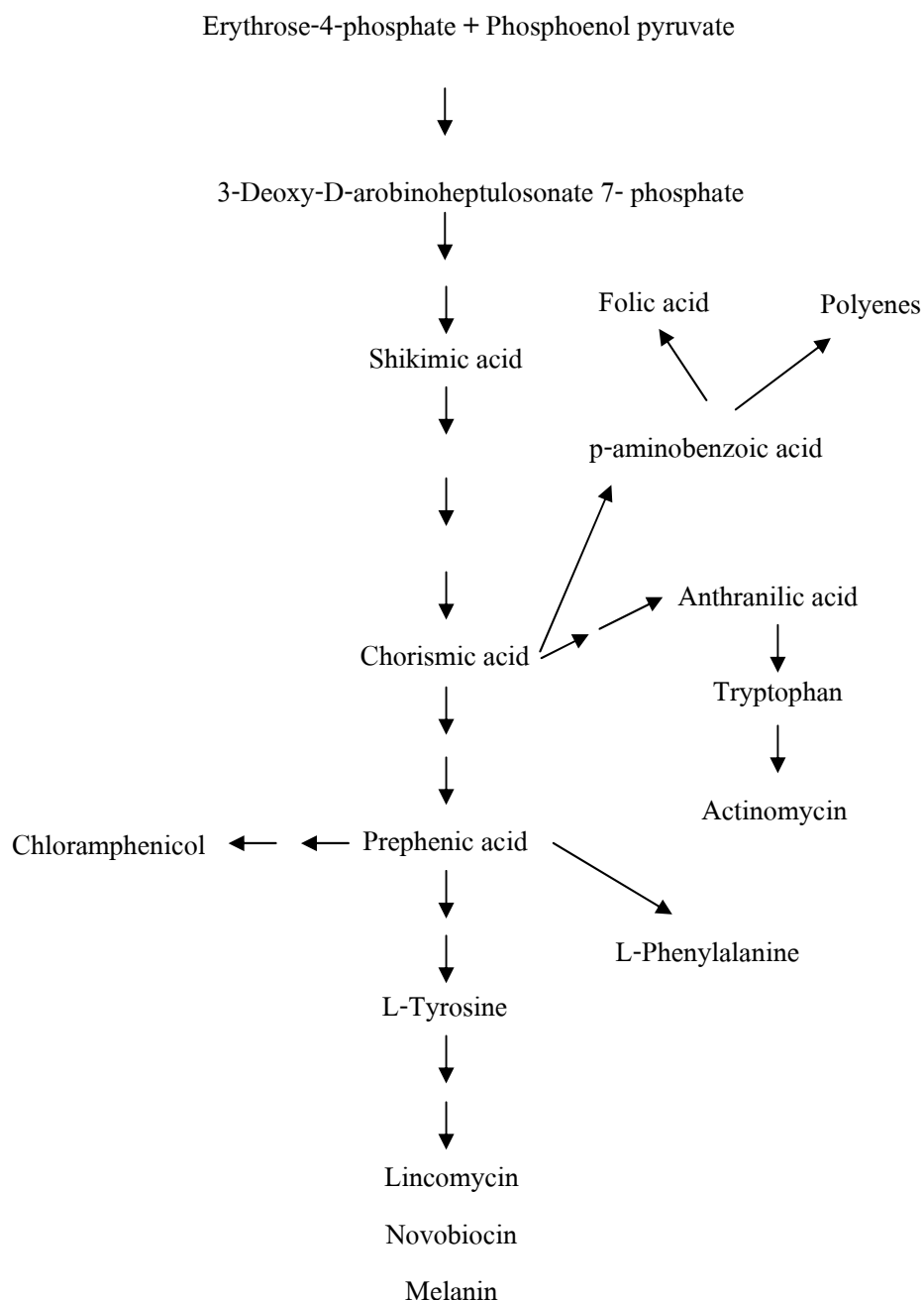
## ปฏิกิริยาในวิถี shikimate

วิถี shikimate สังเคราะห์ให้สารสุดท้ายคือ chorismate ซึ่งเป็นสารตั้งต้นในการสังเคราะห์กรดอะมิโนที่สำคัญ 3 ชนิด คือ ทริปโตเฟน ไทโรซิน ฟีนิโลลามานีน (Nelson and Cox, 2005) และสารประกอบที่มีกรดอะมิโนเหล่านี้เป็นองค์ประกอบอยู่ได้แก่ folic acid, polyene และ melanin (ภาพที่ 1) โดยวิถีนี้มีสารตั้งต้นคือ phosphoenol pyruvate (PEP) และ erythrose-4-phosphate (E-4-P) ซึ่งได้จากวิตามินบี 6 ไอลูซิส และ วิตามินโภส ตามลำดับซึ่งในวิถี shikimate มีปฏิกิริยาทั้งหมด 7 ขั้นตอน (ภาพที่ 2) โดยในขั้นแรกเกิดการรวมตัวกันของ PEP และ E-4-P ได้เป็น 3-deoxy-D-arabino-heptulosonate-7-phosphate (DAHP) โดยหมุนโฟสเฟตของ PEP จะถูกปล่อยออกมายัง inorganic phosphate (Pi) หลังจากตัดพันธะระหว่างคาร์บอนและออกซิเจนออกและกระตุ้นหมุน pyruvyl ได้เป็น DAHP หลังจากนั้น DAHP จะเข้ามาร่วมต่อ กันด้วยพันธะคาร์บอนระหว่าง carbon ตำแหน่งที่ 2 และ 7 เป็นวงแหวน 5-dehydroquinate และปล่อย inorganic phosphate ออกมายังปฏิกิริยาต่อมาเกิดการสร้างพันธะคู่ระหว่าง carbon ที่ 1 และ 2 ได้เป็น 5-dehydroshikimate หลังจากนั้นเกิดการสังเคราะห์ shikimate โดยการรีดิวชั่นหมุนคิวติโคต้าแห่งที่ 3 ของ dehydroshikimate ปฏิกิริยาต่อมา ATP จะให้หมุนโฟสเฟตกับ shikimate ที่หมุนไอกลอกซิดของการรับอนだตำแหน่งที่ 3 ได้เป็น shikimate-3-phosphate ถัดจากนั้นโมเลกุลของ PEP จะเข้ามายังบริเวณ carbon ตำแหน่งที่ 5 ของ shikimate-3-phosphate ได้เป็น 5-enolpyruvyl-shikimate-3-phosphate (EPSP) ขั้นตอนสุดท้ายเกิดการกำจัดหมุนโฟสเฟสจากบริเวณ carbon ตำแหน่งที่ 3 ทำให้เกิดการสร้าง พันธะคู่ และเกิดการปล่อย inorganic phosphate ได้เป็น chorismate ซึ่งเป็นสารสุดท้ายในวิถีนี้

## ยืนและเอนไซม์ในวิถี shikimate

วิถี shikimate เป็นวิถีที่จำเป็นต่อการดำรงชีวิตของแบคทีเรีย ยีสต์ รา และพืชดังที่ได้กล่าวไว้ข้างต้น โดยทั่วไปประกอบด้วยปฏิกิริยาทั้งหมด 7 ขั้นตอน โดยใน *E. coli* ทั้ง 7 ปฏิกิริยา (ภาพที่ 2) ทำงานด้วยเอนไซม์ที่แต่ต่างกันทั้งหมด (Giles *et al.*, 1967, Berlyn and Giles, 1969) และเอนไซม์ทั้งหมดถูกสังเคราะห์มาจากยีนที่แตกต่างกัน (Pittard and Wallace, 1966) ซึ่งต่างจากวิตามิน shikimate ของ *Saccharomyces cerevisiae* (Larimaer *et al.*, 1983; Duancan *et al.*, 1987) ที่พบว่ามี 5 ปฏิกิริยา (ภาพที่ 2, ปฏิกิริยาที่ 2-6) เกิดขึ้นจากเอนไซม์แบบ multifunctional (pentafunctional) หรือที่เรียกว่า arom protein ซึ่งทั้ง 5 เอนไซม์นี้ถูกสังเคราะห์มาจากยีนเพียงยีนเดียว (Lumsden and

Coggins, 1977; 1978) ซึ่งเหมือนกับใน *Neurospora crassa* (Coggins., 1987) และ *Aspergillus nidulans* (Charles *et al.*, 1986)



ภาพที่ 1 การสังเคราะห์สารจากวิธี shikimate

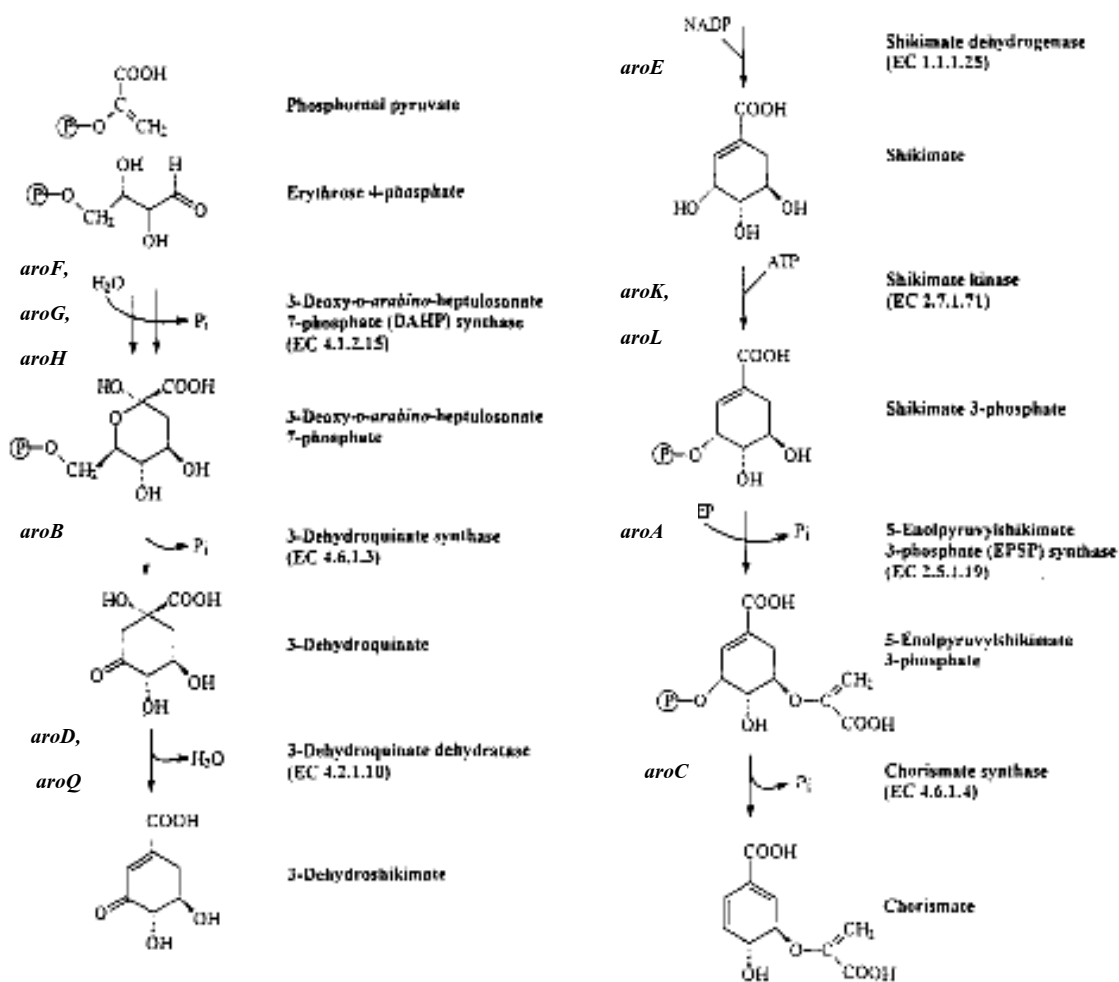
oen ไซม์ที่เกี่ยวข้องกับวิตามิน shikimate มีดังต่อไปนี้<sup>9</sup>

*3-deoxy-D-arabino-heptulosonate 7-phosphate synthase (EC 2.5.1.54)*

3-deoxy-D-arabino-heptulosonate 7-phosphate synthase (DS) เป็นoen ไซม์แรกของวิตามินนี้ โดยoen ไซม์นี้ทำให้เกิดการรวมตัวของ PEP และ E-4-P ได้เป็น DAHP เoen ไซม์ DS ต้องการ ไออ่อนของโลหะ ได้แก่ Fe<sup>2+</sup>, Co<sup>2+</sup> และ Mn<sup>2+</sup> ในการทำงาน โดย DS เป็น isoenzyme ที่สังเคราะห์ มาจากยีน *aroF* (DS-phe), *aroG* (DS-tyr) และ *aroH* (DS-trp) ซึ่งถูกควบคุมแบบ feedback inhibition โดยอัตราส่วนของกรดอะมิโน ฟินิโลล่าานีน: ไทโรซิน: ทริปโตฟัน เป็น 75: 25: <1 ตามลำดับ (Ahmad *et al.*, 1986) โดยการควบคุมนี้เป็นการควบคุมหลักของการส่งผ่านสารบอนของ วิตามิน *E. coli* (Ogino *et.al.*, 1982) แต่ใน *Bacillus licheniformis* และ *B. subtilis* เoen ไซม์นี้จะถูก ขับยิ่งโดย chorismate และ prephenate (Jensen, 1966; Nasser *et al.*, 1969)

*Dehydroquinate synthase (EC 4.2.3.4)*

dehydroquinate synthase (DHQS) เป็นoen ไซม์ที่เปลี่ยน DAHP ไปเป็น 3-dehydroquinate อาศัยปฏิกิริยาเคมีทางกระบวนการ คือ ออกไซเดชัน (oxidation) เป็นตัวอ่อนมิเนชัน รีติกชัน ( $\beta$ -elimination) และการรวมตัวกันแบบ aldol ภายในโมเลกุล (intramolecular aldo condensation) (Bender *et al.*, 1989) ซึ่งoen ไซม์นี้สังเคราะห์มาจากยีน *aroB* จากการศึกษาใน *E. coli*, *A. nidulans*, *Mycobacterium tuberculosis*, และ *S. cerevisiae* พบร่วมกันมาก (Garbe *et al.*, 1991) โดยใน *B. subtilis* เoen ไซม์ DHQS จะทำงานร่วมกันกับ chorismate synthase และ NADPH-dependent flavin reductase (Hasan and Nester, 1978a) โดยพบว่า บริเวณ upstream ของ ยีน *aroB* คือยีน *aroF* โดยทั้งสองยีนนี้เป็นส่วนหนึ่งของ supra operon ที่ประกอบด้วย *aroFBH-trpEDCFBA-hisH-tyrA-aroE* (Babitzke *et al.*, 1992)



ภาพที่ 2 วิธี shikimate ใน *E. coli*

- (1) 3-deoxy-D-arabino-heptulosonate 7-phosphate synthase (*aroF*, *aroG* และ *aroH*)
- (2) dehydroquinate synthase (*aroB*) (3) dehydroquinate dehydratase (*aroD* และ *aroQ*)
- (4) shikimate dehydrogenase (*aroE*) (5) shikimate kinase (*aroK* และ *aroL*)
- (6) 5-enolpyruvyl-shikimate-3-phosphate synthase (*aroA*) (7) chorismate synthase(*aroC*)

ที่มา: ดัดแปลงจาก Herrmann (1995)

### *Dehydroquinate dehydratase (EC 4.2.1.10)*

dehydroquinate dehydratase (DHQD) จะกระตุ้นการเปลี่ยนโครงสร้างของ 5-dehydroquinate ให้เป็น 5-dehydroshikimate โดยเอนไซม์ DHQD แบ่งออกเป็น 2 ชนิด คือ type I และ type II โดย type I DHQD มีคุณสมบัติไม่ทนต่อความร้อน สังเคราะห์จากยีน *aroD* พบได้ในแบบที่เรียกว่าไป เช่น *E. coli* และ type II DHQD มีคุณสมบัติทนต่อความร้อน สังเคราะห์จากยีน *aroQ* มักพบในสิ่งมีชีวิตที่ใช้ quinate เป็นแหล่งคาร์บอนในการจริญ (Galina *et al.*, 1998,) ซึ่ง subunit ของ type II DHQD มีน้ำหนักโมเลกุลประมาณ 16,000 ดาลตัน ซึ่งมีขนาดเล็กกว่า subunit ของ type I DHQD โดยจากการศึกษาพบว่าในอาหารที่มีสาร quinate นั้น *Acinetobacter calcoaceticus* (Inglelew *et al.*, 1971) และ *Pseudomonas aeruginosa* (Inglelew and Tai, 1972) มีการสังเคราะห์ DHQD ทั้ง 2 ชนิดขึ้นพร้อมกัน แต่ใน *M. tuberculosis* (Grabe *et al.*, 1991) และ *Streptomyces coelicolor* (White *et al.*, 1990) พบร่องเอนไซม์ type II DHQD เท่านั้น

### *Shikimate dehydrogenase (EC 1.1.1.25)*

shikimate dehydrogenase (SKDH) ซึ่งสังเคราะห์มาจากยีน *aroE* ทำให้เกิดการรีดิวช์ช์ของ 5-dehydroshikimate ให้เป็น shikimate โดยเอนไซม์นี้ทำงานร่วมกับ NADPH ที่เป็นโคแฟคเตอร์และเอนไซม์นี้ยังมีการทำงานแบบข้อกลับโดยสามารถใช้ shikimate เป็นสารตั้งต้นได้ด้วย โดยพบว่า SKDH เป็นโปรตีนแบบโมโนเมอร์ (monomer) ใน *Rhodococcus rhodochrous* (Bruce and Cain, 1990), *N. crassa* (Barea and Giles, 1978) และ *A. nidulans* (Hawkins *et al.*, 1988)

### *Shikimate kinase (EC 2.7.1.71)*

shikimate kinase (SK) เป็นเอนไซม์ที่กระตุ้นการเปลี่ยนโครงสร้างของ shikimate ให้อยู่ในรูปของ shikimate-3-phosphate โดยรับฟอสเฟตมาจาก ATP ใน *E. coli* แบ่ง shikimate kinase ออกเป็น 2 ชนิด คือ shikimate kinase I (*aroK*) และ shikimate kinase II (*aroL*) โดยเอนไซม์ทั้งสองจะไม่สูญความคุณโดย feedback inhibition (DeFeyter and Pittard, 1986) แต่พบว่าเอนไซม์นี้ใน *B. subtilis* ถูกขับยัง โดย chorismate และ prephenate (Nakatsukasa and Nester, 1972; Nasser *et al.*, 1969)

*5-Enolpyruvyl-shikimate-3-phosphate synthase (EC 2.5.1.19)*

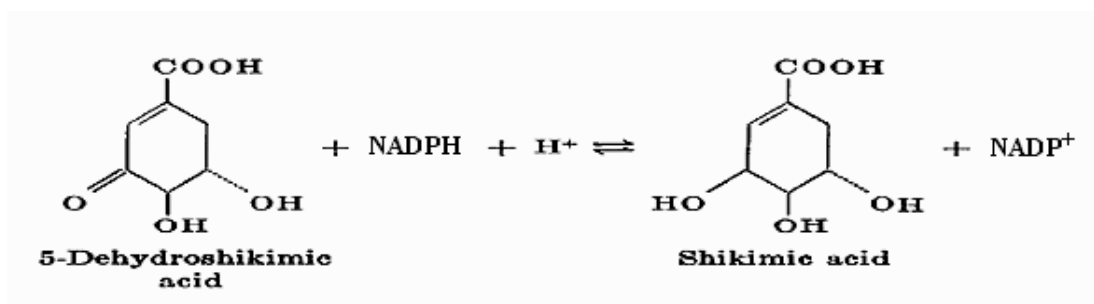
5-enolpyruvyl-shikimate-3-phosphate synthase (EPSPS) กระตุ้นให้เกิดการรวมกันของ shikimate-3-phosphate และ PEP ให้อยู่ในรูปของ EPSP เอนไซม์นี้ถูกสังเคราะห์จากยีน *aroA* สำหรับการทำงานของ EPSPS ในพืชพบว่าเอนไซม์นี้จะถูกขับยิ่งโดย glyphosate [*N*-(phosphonomethyl) glycine] ที่เป็น broad spectrum herbicide (Amrhein *et al.*, 1983) แต่ในแบคทีเรีย *Pseudomonas* เกือบทุกสายพันธุ์นั้นพบว่าเอนไซม์นี้จะไม่ถูกขับยิ่งโดย glyphosate (Schulz *et al.*, 1985)

*Chorismate synthase (EC 4.2.3.5)*

chorismate synthase (CS) จะกระตุ้นการเปลี่ยน EPSP ไปเป็น chorismate ซึ่งเป็นผลิตภัณฑ์สุดท้ายของวิถี shikimate โดยยืนที่เบตรหัสเป็นเอนไซม์คือ *aroC* เอนไซม์นี้จะทำงานร่วมกับ FMN หรือ FAD (Izumi *et al.*, 1993) โดยใน *B. subtilis* เอนไซม์ CS จะทำงานร่วมกันกับเอนไซม์ DHQS และ NADPH-dependent flavin reductase ซึ่งเอนไซม์ flavin reductase นั้นมีส่วนช่วยในการรีดิวซ์ FMN และ FAD ให้กับ CS (Hasan and Nester, 1978b; Haslam, 1993)

**การศึกษา yein *aroE* ในการสังเคราะห์เอนไซม์ shikimate dehydrogenase**

shikimate dehydrogenase (EC 1.1.1.25) เป็นเอนไซม์ในปฏิกิริยาที่ 4 ของวิถี shikimate (ภาพที่ 2) โดยทำให้เกิดการข่ายไฮโดรเจนจาก NADPH ที่เป็นโคแฟคเตอร์ มาที่คาร์บอนตำแหน่งที่ 5 ของ 5-dehydroshikimate ได้เป็น shikimate (ภาพที่ 3)



ภาพที่ 3 ปฏิกิริยาการทำงานของเอนไซม์ shikimate dehydrogenase

ยืน *aroE* เริ่มมีการศึกษาในทั้งระบบใน *E. coli* พบร่วมกับหัสสาร AroE (shikimate dehydrogenase) เป็นโพลี-peptide ยาว 272 กรดอะมิโน มีโครงสร้างเป็น monomer มีน้ำหนักโมเลกุล 29,380 Dalton (Ian and Coggins, 1988) เช่นเดียวกับ *H. influenzae* (Fleischmann *et al.*, 1995) แต่ใน *N. crassa* เอนไซม์ shikimate dehydrogenase จะทำงานร่วมกับเอนไซม์ dehydroquinate dehydratase (Smith and Coggins, 1983)

นอกจากใน *E. coli* แล้วยังมีการศึกษาใน *M. tuberculosis* ซึ่งเป็นแบคทีเรียแกรมบวกที่ทำให้เกิดโรควัณโรค โดยเพิ่มจำนวนชิ้นยีนขนาด 810 คู่เบส ด้วยวิธี PCR และเชื่อมต่อเข้ากับพลาสติก pET23a ซึ่งเป็น expression vector ก่อนถ่ายเข้าสู่ *E. coli* BL21(DE3) พบร่วมสามารถเพิ่มการแสดงออกและสกัดเอนไซม์ได้น้ำหนักโมเลกุลขนาด 27,200 Dalton โดยมีลำดับกรดอะมิโน 11 ลำดับแรกที่ปลาย N-terminal เป็น SEGPKKAGVLG (Fonseca *et al.*, 2006) และเมื่อทดสอบการทำงานของเอนไซม์โดยวัดปริมาณของ NADP ที่เพิ่มขึ้นในปฏิกิริยา พบร่วมเอนไซม์ทำงานได้มากขึ้น 5 เท่า เมื่อเทียบกับการทำงานจากสายพันธุ์ไวรัสไทป์ (Magalhaes *et al.*, 2002) โดยเอนไซม์นี้สามารถทำงานได้ที่ pH 9-12 ที่อุณหภูมิ 63 °C โดยอาศัย NADP<sup>+</sup> (Zhang *et al.*, 2005)

การเปรียบเทียบลำดับกรดอะมิโนที่นำรหัสโดยยืน *aroE* ใน *M. tuberculosis* โดยเปรียบเทียบลำดับกรดอะมิโนของ *M. tuberculosis* สายพันธุ์ H37Rv เทียบกับ *E. coli*, *M. tuberculosis* CDC1511, *M. bovis* AF2122197 และ *M. leprae* TN พบร่วมมีความเหมือนกัน 24, 86, 85 และ 70% ตามลำดับ (Zhang *et al.*, 2005) โดยพบบริเวณอนุรักษ์ที่ Gly61-Lys69 ซึ่งมีรูปแบบเป็น G-X-(N/S)-V-(T/S)-X-P-X-K และยังพบลำดับอนุรักษ์ที่ Asn90, Asp105 และ Glu259 โดยการนิวานด้วยของเอนไซม์ประกอบด้วย -helix, -sheet, -turn และ random coil 29.2, 9.3, 3.2 และ 28.8 เปอร์เซ็นต์ตามลำดับ (Zhang *et al.*, 2005) โดย AroE ของ *M. tuberculosis* H37Rv มีโครงสร้างเป็น dimer น้ำหนักโมเลกุล 58,367 Dalton หรือ 27,076 Dalton ต่อแต่ละ subunit ซึ่งต่างจาก *E. coli* (Chaudhuri and Coggins, 1985) และ *H. influenzae* (Ye *et al.*, 2003) ที่โปรตีนเป็นแบบ monomer ดังได้กล่าวไว้ข้างต้น

ต่อมาได้มีการศึกษาการทำงานของเอนไซม์โดยการทำให้เกิดการกลายของยืน *aroE* ในแบบที่เรียกว่าให้เกิดโรคของในข้าว คือ *Xanthomonas oryzae* pv. *oryzae* ทำให้การผลิตสีที่เกิดมาจากการ xanthomonadin ลดลง การที่มีสีลดลงเนื่องจากโครงสร้างของวงแหวนอโรมาติกใน xanthomonadin ที่ได้รับมาจากวิตามิน shikimate เกิดการเปลี่ยนแปลงไป นอกจากนี้การกลายของ *aroE*

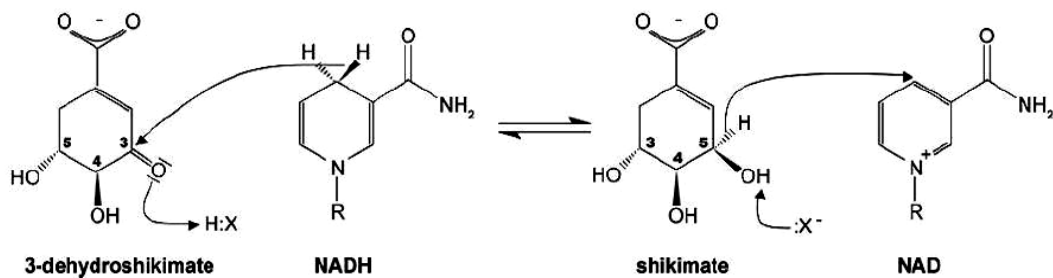
ยังทำให้ความรุนแรงในการก่อโรคของไข้แต่งในข่าวลดลงด้วย ซึ่งจากการศึกษานี้เป็นประโยชน์อย่างมากในการผลิตยาปราบศัตรูพืช (Goel *et al.*, 2001)

นอกจากนี้ยังได้มีการศึกษาอีกอย่างหนึ่งที่มีการศึกษาอีกอย่างหนึ่งใน *Helicobacter pylori* (Han *et al.*, 2006) ซึ่งเป็นแบคทีเรียแกรมลบที่ทำให้เกิดโรคในกระเพาะอาหารของมนุษย์ โดยทำการเปรียบเทียบลำดับกรดอะมิโนของ *H. pylori* สายพันธุ์ SS1 กับ *E.coli*, *H. influenzae*, *Neisseria meningitidis*, *M. jannaschii*, *Archaeoglobus fulgidus* และ *M. tuberculosis* พบว่าเหมือนกัน (identity) 31, 31, 33, 30, 30 และ 26 เปอร์เซ็นต์ ตามลำดับ และเมื่อศึกษาการขับถ่ายการทำงานของเอนไซม์ โดยใช้ dehydroshikimate analogue หลายชนิด พบว่า กลุ่มของ polyphenol และสารอนุพันธุ์ของ chromene สามารถขับถ่ายการทำงานของ shikimate dehydrogenase ได้ เนื่องจากวิถีนี้ไม่พบในมนุษย์ เมื่อทำการขับถ่ายเอนไซม์ในวิถีนี้จึงไม่ส่งผลกระทบต่อมนุษย์ ซึ่งจากการศึกษานี้นำไปสู่ประโยชน์ในการพัฒนาการผลิตยาปฏิชีวนะต่อไป

นอกจาก AroE แล้วยังมีโปรตีนอื่นในวิถี quinate ที่ทำหน้าที่คล้ายกัน คือ NAD-quinate/shikimate dehydrogenase (EC 1.1.1.282) ที่สังเคราะห์จากยีน *ydiB* เนื่องจาก shikimate และ quinate นั้นมีโครงสร้างที่คล้ายกันมาก ต่างกันเพียงมีหมู่ไฮดรอกซิลที่ carbonyl บนตำแหน่งที่ 1 ของ quinate (Michel *et al.*, 2003) ซึ่งวิถีหลักในแบคทีเรีย เช่น ราและพีชนั้น จะใช้อ่อนเอนไซม์ shikimate dehydrogenase เป็นเอนไซม์หลัก และมีการใช้ quinate/shikimate dehydrogenase เป็นเอนไซม์รองในแบคทีเรียบางชนิด จากการศึกษาของ Giles และคณะ (1985) พบว่าในราและแบคทีเรียบางชนิดสามารถใช้ทั้ง quinate และ shikimate เป็นแหล่งคาร์บอนได้ โดยจะเปลี่ยน quinate ให้เป็น protocatechuate, succinate และ acetyl CoA โดยพบวิถี quinate นี้ใน *N. crassa*, *A. nidulans* (Grant *et al.*, 1988) และยังพบว่ามีการใช้ quinate ในพืชหลายชนิด ได้แก่ แครอท (Refeno *et al.*, 1982) ถั่วเขียว (Kang *et al.*, 1994) เป็นต้น

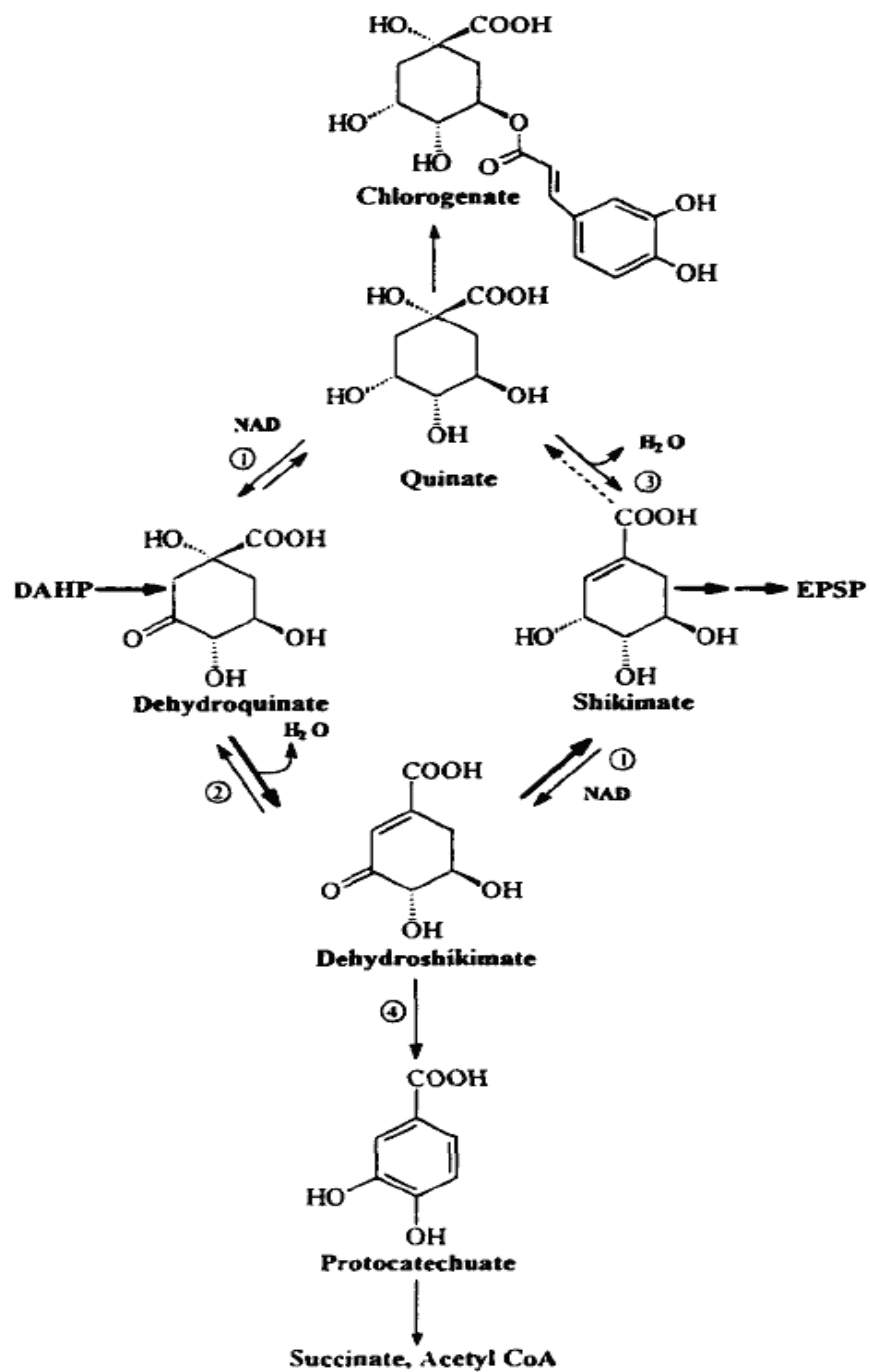
NADPH-shikimate dehydrogenase (EC 1.1.1.25) และ NAD-quinate/shikimate dehydrogenase (EC 1.1.1.282) ทำปฏิกิริยาในการเปลี่ยน dehydroshikimate เป็น shikimate ได้เหมือนกัน แต่ต่างกันที่สารตั้งต้นของ NADPH-shikimate dehydrogenase นั้นจำเพาะต่อ 5-dehydroshikimate (ภาพที่ 3) แต่เอนไซม์ NAD-quinate/shikimate dehydrogenase จะใช้ 3-dehydroshikimate เป็นสารตั้งต้น (ภาพที่ 4) โดยเอนไซม์ shikimate dehydrogenase นั้นทำงานร่วมกับเอนไซม์ NADP-dependent glucose dehydrogenase โดยจากการศึกษาพบว่าเมื่อเพิ่มกลูโคส

ในการทำปฏิกิริยของเอนไซม์ NADP-dependent glucose dehydrogenase ควบคู่กับ shikimate dehydrogenase พบว่าสามารถเปลี่ยน dehydroshikimate เป็น shikimate ได้ 100 เปอร์เซ็นต์ เนื่องจาก NADP-dependent glucose dehydrogenase สามารถทำให้เกิดการ regenerate ของ NADP เป็น NADPH จากการเปลี่ยนกลูโคโนแอดคโตน (Adachi *et al.*, 2003b)



ภาพที่ 4 ปฏิกิริยาการทำงานของเอนไซม์ NAD-quinate/shikimate dehydrogenase  
ที่มา: Lindner (2005)

ในวิถี quinate จะออกซิไดซ์ quinate เป็น 3-dehydroquinate, 3-dehydroshikimate และ shikimate ตามลำดับ (ภาพที่ 5) ซึ่งเป็น intermediate เดียวกับในวิถี shikimate โดย quinate สามารถสังเคราะห์ได้โดยการเปลี่ยน shikimate เป็น quinate โดยเอนไซม์ quinate hydrolase หรือเปลี่ยน dehydroquinate ให้เป็น quinate โดยเอนไซม์ quinate dehydrogenase โดยเอนไซมนี้สามารถเปลี่ยน quinate กลับมาเป็น 3-dehydroquinate ได้เช่นกัน ซึ่งเอนไซมนี้แบ่งเป็น 2 กลุ่ม กลุ่มแรก คือ NAD(P)-dependent quinate dehydrogenase ได้แก่ NADP-quinate dehydrogenase (EC 1.1.1.24) ที่จำเพาะต่อ quinate เท่านั้น (Mitsuhashi and Davis 1954) และ NAD-quinate/shikimate dehydrogenase (EC 1.1.1.282) ที่สามารถใช้ทั้ง quinate และ shikimate เป็นสารตั้งต้น (Michel *et al.*, 2003) กลุ่มที่สอง คือ NAD(P)-independent quinate dehydrogenase โดยใช้ pyrroloquinoline quinone (PQQ) เป็นโคแฟคเตอร์แทน NAD(P) โดยพบเอนไซม์ PQQ-quinate dehydrogenase (EC 1.1.99.25) ที่เป็น membrane-associate dehydrogenase นี้ใน *Acinetobacter calcoaceticus* (van Kleef and Duine, 1988) หลังจากนั้นทำการเปลี่ยน 3-dehydroquinate เป็น 3-dehydroshikimate โดยเอนไซม์ dehydroquinate dehydratase เช่นเดียวกับวิถี shikimate แล้วจะจะเปลี่ยน 3-dehydroshikimate เป็น shikimate โดยเอนไซม์ NAD-quinate/shikimate dehydrogenase (Adachi *et al.*, 2003a)



ภาพที่ 5 วิธี quinate

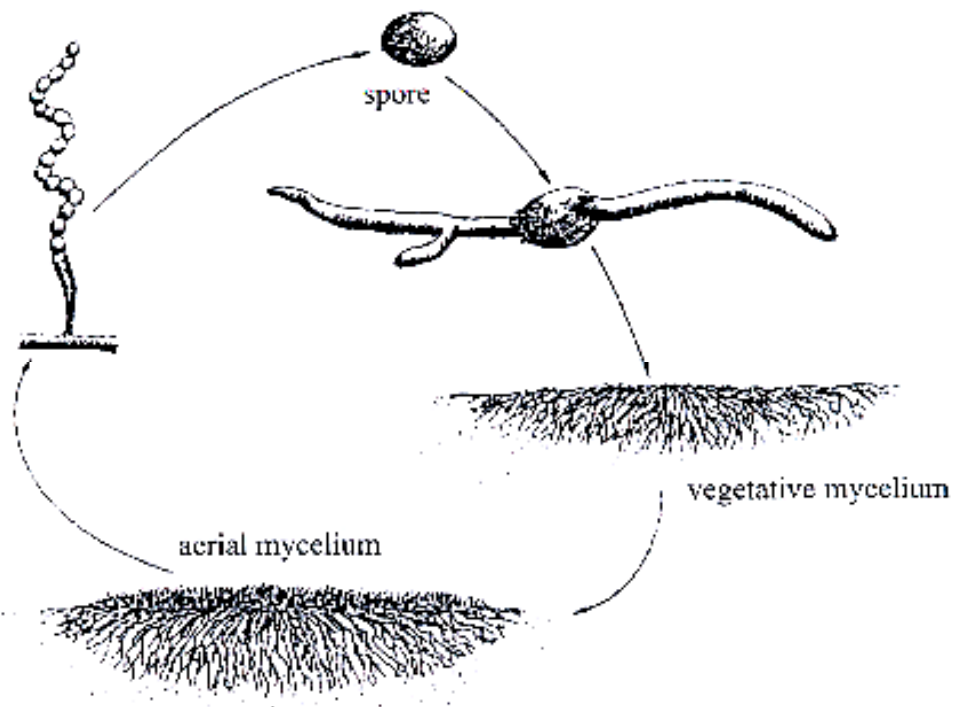
(1) quinate/shikimate dehydrogenase (2) 3-dehydroquinate dehydratase (3) quinate hydrolyase (4) 3-dehydroshikimate dehydratase

ที่มา: Herrmann (1995)

### *Streptomyces venezuelae*

#### ลักษณะทั่วไป

*Streptomyces venezuelae* เป็นแบคทีเรียแกรมบวก ออยู่ในอันดับ (Order) Actinomycetales วงศ์ (Family) Actinomycete เป็นแบคทีเรียที่ต้องการอากาศในการเจริญ (aerobe) ใช้สารประgon อนทรีย์หลายชนิดเป็นแหล่งคาร์บอนในการสร้างพลังงานและการเจริญ *Streptomyces* มีการเจริญ เป็นเส้นใยคล้ายเชือรา เรียกว่า ไมซีเดียม (mycelium) โดยมีวงชีวิตดังภาพที่ 6 เมื่อสปอร์งอกบนอาหารแข็งจะมีเส้นใยสำหรับยึดติดกับผิวอาหารเรียกว่า เส้นใยอาหารที่มีการแตกกิ่ง (branched substrate mycelium) และเมื่อเจริญเติบโตจะมีการสร้างเส้นใยชั้นเรียกว่าเส้นใยอากาศ (arial mycelium) ซึ่งจะมีการสร้างสปอร์อยู่ที่ปลายของเส้นใยอากาศ (Williums *et al.*, 1989) จากการศึกษาพบว่า *Streptomyces* ส่วนใหญ่มีโครโนโซนเป็นเส้นตรง (linear) (Birch *et al.*, 1990) มีขนาดจีโนมประมาณ 8 เมกะเบต (Huang *et al.*, 1998) มีปริมาณ G+C ประมาณ 72 เปอร์เซ็นต์ (Williums *et al.*, 1989)



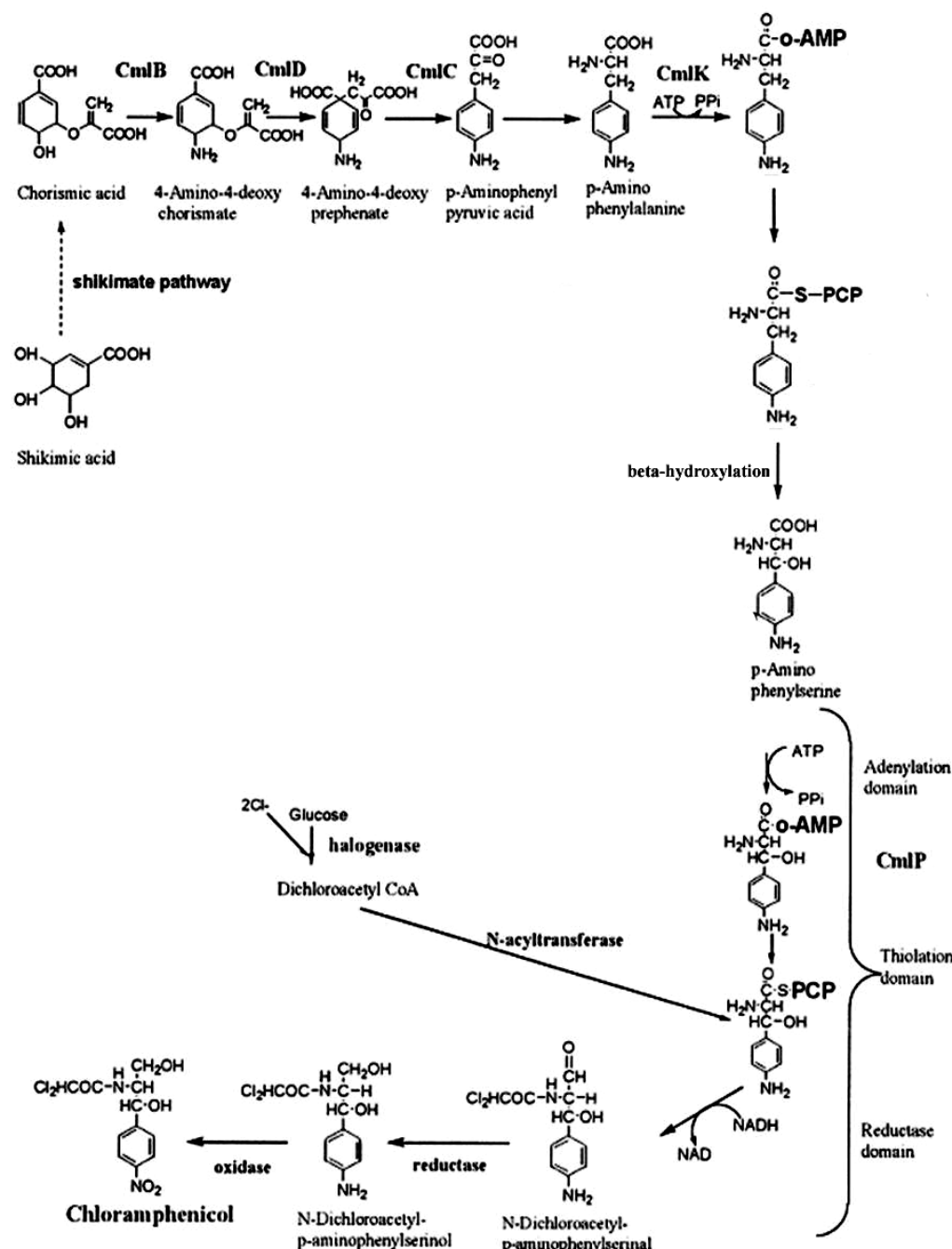
ภาพที่ 6 วงจรชีวิตของ *Streptomyces*

ที่มา: Kieser *et al.* (2000)

## ความสำคัญ

*Streptomyces venezuelae* มีความสำคัญอย่างมากในการผลิตสารปฎิชีวนะคลอเรนฟินิกอล ซึ่งมีสมบัติในการต้านแบคทีเรียแกรมลบ โดยเฉพาะใน *Shigella sonnei* และ *Rickettsia prowasekii* (Ehrlich et al., 1947) นอกจากนี้ยังใช้ในการรักษาโรคไทฟอยด์อีกด้วย (Woodward et al., 1948) ซึ่ง คลอเรนฟินิกอล เป็นสารทุติยภูมิที่มีโครงสร้างเป็น aromatic ring ซึ่งได้รับจาก chorismate ที่เป็น ผลิตภัณฑ์สุดท้ายของ วิถี shikimate (ภาพที่ 7)

จากการศึกษาคลอเรนฟินิกอลใน *S. venezuelae* พบร่วมกับการที่คลอเรนฟินิกอล สามารถ ขับยับเชื้อแบคทีเรียแกรมลบได้ เมื่อจากคลอเรนฟินิกอลนั้นไปยับยั้งการทำงานของเอนไซม์ ribosomal peptidyl transferase ซึ่งมีความสำคัญในการดำรงชีวิตของเชื้อแบคทีเรีย การที่คลอเรนฟินิกอลสามารถขับยับเชื้อแบคทีเรียชนิดอื่นได้แต่ไม่มีผลต่อ *S. venezuelae* เองนั้น เมื่อมาก็มีการ เติมหมู่ฟอสเฟตที่ไม่เดาดุลของคลอเรนฟินิกอล ซึ่งเกิดขึ้นโดยเอนไซม์ chloramphenicol phosphotransferase (CPT) ทำให้ *S. venezuelae* ทนต่อคลอเรนฟินิกอลที่สร้างขึ้นเอง (Izard, 2001)



ภาพที่ 7 วิถีการสังเคราะห์สารปฏิชีวนะคลอแรมฟินิกอด

ที่มา: He *et al.* (2001)

การศึกษาหน้าที่ของยีนโดยวิธียีนดิสรับชันใน *S. venezuelae*

ยืนดิสรับชัน (gene disruption) เป็นการทำให้เกิดการกลายที่ตำแหน่งยีนจำเพาะบนโครโนมโซเมติกหนึ่ง นิยมใช้ศึกษาหน้าที่ของยีน วิธีการนี้ทำโดยการแทรกชิ้นดีเอ็นเอเพื่อยับยั้งการทำงานของยีน (insertional inactivation) โดยการนำชิ้นของยีน เชื่อมเข้ากับดีเอ็นเอพาหะ ซึ่งมีสมบัติเป็น non-replicative เมื่อนำรีคอมบินัฟพลาสมิดเข้าสู่เจ้าบ้าน (host) จะเพิ่มจำนวนไม่ได้แต่จะแทรกเข้าไปในโครโนมโซม ณ ตำแหน่งของยีนนั้น โดยเกิดโครโนมโซลิกส์รีคอมบินัฟชัน ทำให้ดีเอ็นเอพาหะแทรกอยู่บนโครโนมโซม ณ ตำแหน่งของยีนนั้น ซึ่งสามารถทำลายการแสดงออกของยีนนั้นได้ หรืออาจทำให้เกิดการกลายของยีนที่ต้องการศึกษานั้น โดยทั่วไปการเกิดครอสซิ่งโอเวอร์ตำแหน่งเดียว (single crossing over) จะเกิดขึ้นได้ยากกว่า นิยมใช้ในการศึกษายีนที่ทำงานร่วมกันเป็นกลุ่ม (cluster) เนื่องจากเมื่อเกิด single crossing over ที่ยีนใดยีนหนึ่งบนกลุ่มยีน จะทำให้ยีนที่อยู่ถัดไป (down stream gene) ไม่สามารถทำงานได้ แต่ในกรณีที่ต้องการศึกษายีนเดียว (single gene) โดยวิธีดิสรับชันจะต้องสร้างยีนกลายด้วยการแทรกยีนเครื่องหมาย (marker gene) บนยีนที่ต้องการศึกษาเพื่อให้เกิดการกลายบนยีนนั้นก่อนที่จะเชื่อมเข้ากับพาหะ เมื่อพลาสมิดสายพสกุกนำเข้าสู่เซลล์ จะเกิดครอสซิ่งโอเวอร์สองตำแหน่ง (double crossing over) ทำให้เกิดการแทนที่ระหว่างยีนกลายกับยีนปกติบนโครโนมแล้วจึงศึกษาสายพันธุ์กลายที่ได้ การทำยีนดิสรับชันนิยมใช้กันมากในการศึกษายีนใน *S. venezuelae* ดังเช่นการศึกษาต่อไปนี้

การตรวจสอบหน้าที่ของยีน *pabAB* ที่ใช้ในการสังเคราะห์เอนไซม์ 4-amino-4-deoxychorismate (ADC) synthase ว่าเกี่ยวข้องกับการสังเคราะห์คลอ雷มฟินิคอล โดยเมื่อทำยีนดิสรับชั้นแล้วทำให้ *S. venezulaeae* ไม่สามารถผลิตคลอ雷มฟินิคอลได้แสดงว่า *pabAB* เกี่ยวข้องกับการผลิตสารปฎิชีวนะดังกล่าว (He *et al.*, 2001)

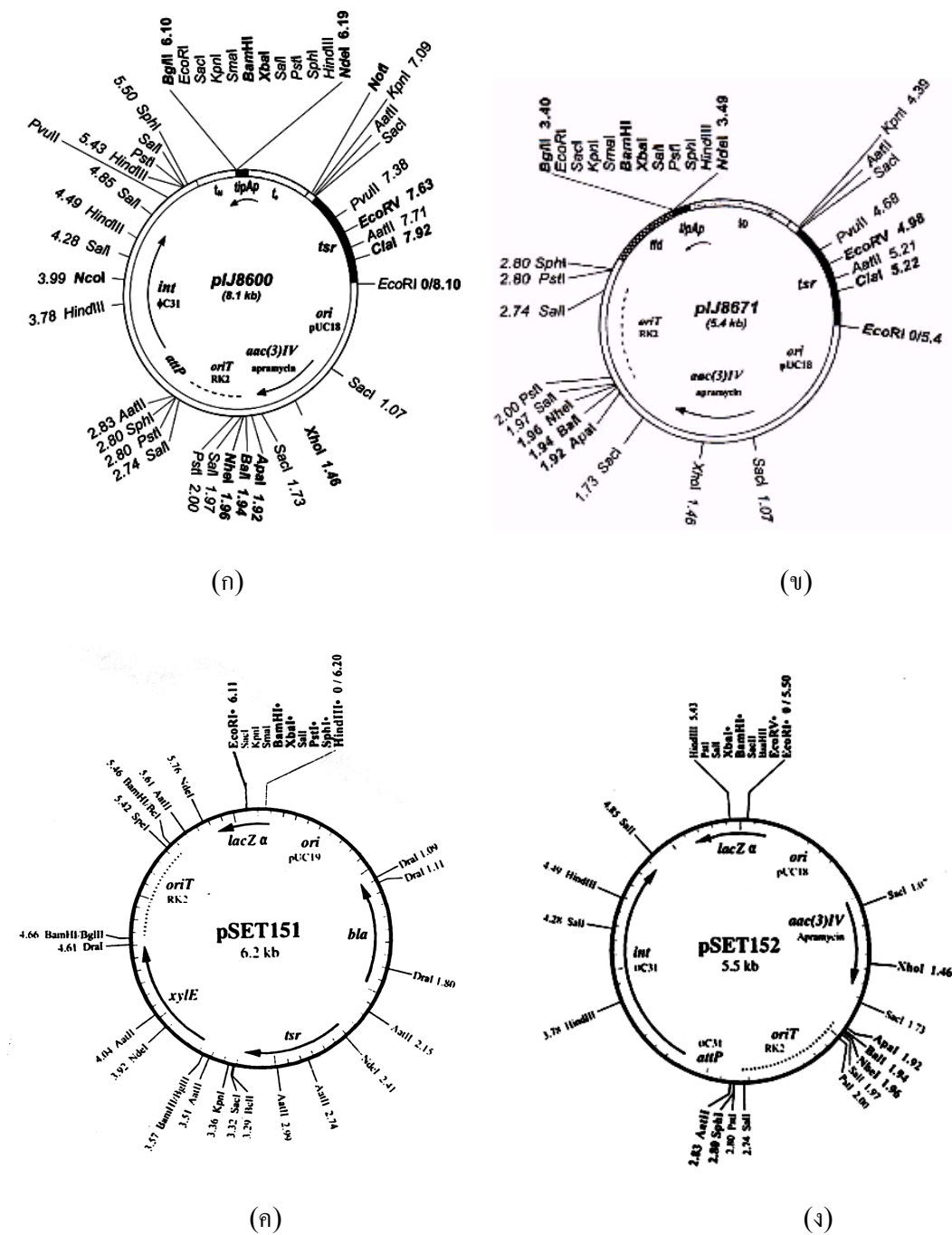
การศึกษาหน้าที่ของยีนที่สังเคราะห์ dichloroacetyl ที่เป็นองค์ประกอบประเภท halogen ในโครงสร้างของคลอแรมฟินิคอล ที่ผลิตจาก *S. venezuelae* สายพันธุ์ ISP5230 พบว่ายีนที่เกี่ยวข้องนั้นมีตำแหน่งอยู่บน ORF11 (*cmlK*) และ ORF12 (*cmlS*) (ภาพที่ 7) ดังนั้นจึงศึกษาหน้าที่ของยีน โดยทำให้เกิดยีนคิสิรับชันบริเวณดังกล่าว ทำให้ได้สายพันธุ์คลายสองสายพันธุ์ คือ *S. venezuelae* สายพันธุ์ VS1111 และ VS1112 ที่ทำการคลายที่ยีน *cmlK* และ *cmlS* ตามลำดับ ซึ่งพบว่าสายพันธุ์คลายทั้งสองสายพันธุ์นั้น ผลิตสารที่มีโครงสร้างคล้ายกับคลอแรมฟินิคอล (analog) โดยมีหมู่ acetyl ที่ไม่ใช่สารประกอบประเภท halogen แทนที่หมู่ dichloroacetyl ที่มีอยู่ใน

กลอแรมฟินิกอล แสดงให้เห็นว่ายืนทั้งสอง นั้นมีความสำคัญในการควบคุมการสังเคราะห์หนู่ dichloroacetyl ซึ่งเป็นองค์ประกอบที่สำคัญในการสร้างสารปฏิชีวนะนี้ (Piraee et.al., 2004)

### คอนจูเกชันต่างสกุลระหว่าง *E. coli* และ *Streptomyces*

การเกิดคอนจูเกชันสามารถเกิดได้โดยทั่วไปในแบคทีเรียทั้งแกรมลบและแกรมบวก ซึ่งจะเกิดการส่งถ่ายพลาสมิดจากเซลล์ของผู้ให้ (donor) ไปยังเซลล์ผู้รับ (recipient) โดยการเกิดคอนจูเกชันอาศัยการทำงานของยีนที่สำคัญในพลาสมิด 2 ส่วน คือ กลุ่มยีน *tra* ซึ่งมีหน้าที่ในการสร้างโปรตีนที่เกี่ยวข้องในการส่งถ่ายพลาสมิด และ *oriT* (origin of transfer) ซึ่งมีหน้าที่เป็นจุดเริ่มต้นและเป็นปลายที่จะกลับมาเขื่อมกันของพลาสมิดในการส่งถ่าย เรียกพลาสมิดที่มีสมบัติเช่นนี้ว่า self-transmissible plasmid การเกิดคอนจูเกชันใน *E. coli* จะมีการสร้างเซ็กซ์พิลัส (sex pilus) เพื่อใช้ในการส่งถ่าย ซึ่งไม่มีรายงานในแบคทีเรียแกรมบวก (Snyder and Champness, 1997)

*E. coli* ที่ใช้ในการทำคอนจูเกชันต่างสกุล ประกอบไปด้วยสายพันธุ์ S17-1 ที่มียีน *tra* จากพลาสมิด RP4 อู่บันโกรโนโซม (Mazodier et al., 1989) และสายพันธุ์ ET12567 ที่มียีน *tra* อู่บันพลาสมิด pUZ8002 ซึ่งเป็นพลาสมิดแบบ non-transmissible plasmid (Sia et al., 1996) โดย *Streptomyces* นั้นมีระบบป้องกัน โดยทำลายดีเอ็นเอที่แปลงปลอม (restriction modification system) (Macneil et al., 1988) ดังนั้นจึงนิยมส่งถ่ายดีเอ็นเอผ่านเข้าสู่ *E. coli* สายพันธุ์ที่ขาดการเติมหมู่เมชิล เสียก่อน แล้วจึงนำมาถ่ายเข้าสู่ *Streptomyces* เพื่อให้ประสิทธิภาพในการส่งถ่ายพลาสมิดสูงขึ้น โดยสายพันธุ์ S17-1 เป็นสายพันธุ์ที่มีการเติมหมู่เมชิลในดีเอ็นเอตามปกติ ส่วนสายพันธุ์ ET12567 จะขาดการเติมหมู่เมชิลเนื่องจากมีจีโนไทป์เป็น *dam*<sup>-</sup> และ *dcm*<sup>-</sup> ซึ่งทำให้ ET12567 มีประสิทธิภาพในการส่งถ่ายดีเอ็นเอเข้าสู่ *Streptomyces* ที่มีระบบการป้องกัน โดยการทำลายดีเอ็นเอแปลงปลอมที่มีการเติมหมู่เมชิลได้ดีกว่า (Flett et al., 1997) พลาสมิดที่ใช้สำหรับการทำคอนจูเกชันในปัจจุบันล้วนเป็นพลาสมิดที่ไม่สามารถจำลองตัวเองได้ใน *Streptomyces* (non-replicative plasmid) ได้แก่ pIJ8600 (gapที่ 8 ก; Sun et al., 1999), pIJ8671 (gapที่ 8 ช; Sun et al., 1999), pSET151 (gapที่ 8 ก; Bierman et al., 1992), pSET152 (gapที่ 8 ช; Bierman et al., 1992) ซึ่งจะสามารถเข้าไปแทรกตัวกับโกรโนโซมได้ก็ต่อเมื่อเกิด site-specific recombination ของตำแหน่ง attachment site (*attP*) ของฝ่า  $\phi$ C31 ที่อยู่บนพลาสมิดนั้นกับตำแหน่ง *attB* บนโกรโนโซม (Bierman et al., 1992; Thorepe et al., 2000) หรือโดยการเกิดโกรโนโลกัสเรคомуนิเนชันของชิ้นดีเอ็นเอจาก *Streptomyces* ที่โคลนเข้าไปในพลาสมิด (Bierman et al., 1992)



ภาพที่ 8 พลasmid สำหรับทำaconjugation ต่างสกุลระหว่าง *E. coli* กับ *Streptomyces*

(i) pIJ8600 (ii) pIJ8671 (iii) pSET151 (iv) pSET152

แหล่ง: Kieser et al. (2000)

วิธีการทำคุณูเกชันต่างสกุลระหว่าง *E. coli* และ *Streptomyces* ทำได้โดยการเตรียมเซลล์ *E. coli* ผู้ให้และการเตรียมสปอร์ของ *Streptomyces* ผู้รับ แล้วนำมาผสมกันในอัตราส่วนที่เหมาะสม จากนั้นนำไปเกลี่ยบนจานอาหารเลี้ยงเชื้อที่เหมาะสม และคัดเลือกผู้รับที่มีพลาสมิดหรือเอกซ์คุณูเกนต์ (exconjugant) โดยใช้ยาปฏิชีวนะ (Kieser et al., 2000) ซึ่งเชื้อแต่ละชนิดมีสภาวะที่เหมาะสมที่สุดต่างกัน ทำให้ต้องศึกษาวิธีการให้เหมาะสมกับเชื้อแต่ละชนิด (Kitani et al., 2000)

อัตราส่วนของสปอร์ *Streptomyces* ผู้รับต่อเซลล์ *E. coli* ผู้ให้ เป็นปัจจัยหนึ่งที่ส่งผลต่อประสิทธิภาพของการคุณูเกชัน ตัวอย่างเช่น การทำคุณูเกชันต่างสกุลระหว่าง *S. lavendulae* FRI-5 และ *E. coli* ET2567 (pUZ8002) ที่มีพลาสมิด pSET152 สำหรับส่งถ่ายอาหารแข็ง ISP2 ที่มี 10 mM MgCl<sub>2</sub> ประสิทธิภาพที่ได้จะสูงขึ้น เมื่อค่าอัตราส่วนของผู้รับต่อผู้ให้มีค่าต่ำลง (ประสิทธิภาพอยู่ระหว่าง  $1.6 \times 10^{-5}$ - $3.9 \times 10^{-8}$  exconjugation/recipient) (Kitani et al., 2000)

ชนิดของอาหารแข็งก็เป็นอีกปัจจัยหนึ่งที่ส่งผลต่อประสิทธิภาพของการคุณูเกชันต่างสกุล ตัวอย่างเช่น การทำคุณูเกชันต่างสกุลระหว่าง *S. lavendulae* FRI-5 และ *E. coli* ET2567 (pUZ8002) บนอาหารแข็ง R5 ที่มี 10 mM MgCl<sub>2</sub> พบร่วมกับไม่มีการส่งถ่ายพลาสมิดแต่สามารถส่งถ่ายได้เมื่อใช้อาหารแข็ง ISP2 และ MS ที่มี 10 mM MgCl<sub>2</sub> (Kitani et al., 2000)

อุณหภูมิและระยะเวลาที่ใช้ในการกระตุนการออกของสปอร์ ก็ส่งผลต่อประสิทธิภาพของการคุณูเกชันใน *S. lividans* พบร่วมกับการกระตุนสปอร์โดยบ่มที่อุณหภูมิ 50 องศาเซลเซียส เป็นเวลา 10 นาที ทำให้ประสิทธิภาพของการคุณูเกชันสูงขึ้น 5-10 เท่า (Mazodier et al., 1989) อย่างไรก็ดี ใน *S. lavendulae* FRI-5 พบร่วมกับสภาวะที่เหมาะสมคือ บ่มที่ 40 องศาเซลเซียส เป็นเวลา 10 นาที แต่ไม่ได้ช่วยให้ประสิทธิภาพสูงขึ้น (Kitani et al., 2000)

นอกจากการคุณูเกชันโดยอาศัยสปอร์แล้ว ยังสามารถใช้เส้นไนแทกเพนได้ด้วย เช่น การคุณูเกชันระหว่าง *S. fradiae* และ *E. coli* S17-1 เมื่อใช้เส้นไนท์ทำให้แตกหักพบว่ามีประสิทธิภาพของการคุณูเกชันไม่ต่างจากการใช้สปอร์ (Bierman et al., 1992)

## อุปกรณ์และวิธีการ

### 1. จุลินทรีย์และพลาสมิดที่ใช้ในงานวิจัย

จุลินทรีย์และพลาสมิดที่ใช้ในงานวิจัยนี้แสดงไว้ในตารางที่ 1 และ 2 ตามลำดับ

#### ตารางที่ 1 จุลินทรีย์ที่ใช้ในงานวิจัย

สายพันธุ์	สมบัติ	แหล่งที่มา/เอกสารอ้างอิง
<i>E. coli</i> JM109	<i>endA1 recA1 gyrA96 thi hsdR17 relA1 thiΔ (lac-proAB) F' (traD36 proAB+ lacI<sup>q</sup> lacZΔM15)</i>	Yanisch-Perron <i>et al.</i> (1985)
<i>E. coli</i> XL1-blue	<i>Sup E44 hsdR17 recA1 endA1 gyrA thi relA1 lac-F' [proAB<sup>r</sup> lacI<sup>q</sup> lacZ Δ M15 Tn10 (tet<sup>r</sup>)]</i>	Bullock <i>et al.</i> (1987)
<i>E. coli</i> ET12567	<i>dam-13::Tn9 dcm-6 hsdM hsdS Km<sup>r</sup></i>	MacNeil <i>et al.</i> (1992);
<i>S. venezuelae</i>	Chloramphenicol production	John Innes Institute, UK

หมายเหตุ Km = กานามัยซิน (kanamycin) และ Cm = คลอแรมฟินิคอล (chloramphenical)

#### ตารางที่ 2 พลาสมิดที่ใช้ในงานวิจัย

พลาสมิด	สมบัติ	แหล่งที่มา/เอกสารอ้างอิง
pJET1.2/blunt	Amp <sup>r</sup>	Fermentus
pSET152	ColE1 replicon <i>oriT attP int Apr<sup>r</sup> lacZα</i>	Bierman <i>et al.</i> (1992)
pSET151	ColE1 replicon <i>oriT Amp<sup>r</sup> Thio<sup>r</sup> lacZα</i>	Bierman <i>et al.</i> (1992)
pUC18	Amp <sup>r</sup> lacZα	Norrander <i>et al.</i> (1983)

หมายเหตุ Apr = อัพรามัยซิน (apramycin), Amp = อะม็อกซิซิลลิน (ampicillin) และ Thio = ไธโอดเรปทอน (thiostrepton)

## 2. สารเคมีและเอนไซม์ที่ใช้ในงานวิจัย

สารเคมีและอาหารเดี่ยงเชื้อที่ใช้ในงานวิจัยนี้ซื้อจากบริษัท Amresco (USA), APS Finechem (Australia), Becton Dickinson (USA), Fluka (Switzerland), Himedia (India), Hispanlab (Spain), Macherey-Nagel (Germany), Merck (Germany), Scharlau (Spain), Sigma (Germany)

เอนไซม์ตัดจำเพาะจากบริษัท Fermentas (USA) เอนไซม์ไลโซไซด์จากบริษัท Amresco (USA) และ Fluka (Switzerland) เอนไซม์ RNaseA จากบริษัท Amresco (USA) เอนไซม์ T4 DNA ligase จากบริษัท Fermentas (USA) เอนไซม์ *Taq* DNA polymerase จากบริษัท Invitrogen (USA) และ Fermentas (USA) ดีเอ็นเอมาตรฐาน (1 Kb DNA ladder) จากบริษัท Fermentas (USA)

### 3. วิธีพื้นฐานที่ใช้สำหรับ *Streptomyces*

วิธีการพื้นฐานที่ใช้สำหรับ *Streptomyces* ใช้ตามวิธีการของ Kieser *et al.* (2000)

### 3.1 การเลี้ยงและ การเก็บรักษา *Streptomyces*

การเลี้ยง *Streptomyces* บนอาหารแข็ง ทำโดยใช้ก้านไม้พันสำลีปลดเชื้อเพื่อสปอร์จาก stock culture มาเกลี่ยให้ทั่วบนจานอาหารแข็ง Mannitol soya flour (MS 1 L; 20 g mannitol, 20 g soya flour, 20 g agar ; Hobbs et al, 1989) บ่มไว้ที่อุณหภูมิ 30 องศาเซลเซียส เป็นเวลาประมาณ 3-5 วัน เมื่อเลี้ยงในอาหารเหลวจะเลี้ยงในขวดรูปทรงพู่ที่มีขดลวดสปริงม้วนเป็นวงอยู่ที่ก้นขวด เขย่า 200 รอบต่อนาที ที่อุณหภูมิ 28-30 องศาเซลเซียส เป็นเวลา 3 วัน โดยใส่สารละลายสปอร์ลงในอาหารเหลว Tryptone soya broth (TSB สำเร็จรูป) ในอัตราส่วน 1:100

การเก็บสปอร์ของ *Streptomyces* จะเก็บจากเชื้อที่เลี้ยงบนอาหารแข็ง MS เป็นเวลาประมาณ 3-5 วัน โดยติ่มน้ำกากลั่นที่ผ่าเชือแล้วประมาณ 10 มิลลิลิตร ลงบนจานอาหารแข็ง แล้วใช้ก้านไม้พันสำลีถูสปอร์บนผิวอาหารให้หลุดออกเบาๆ จากนั้นนำก้อนสำลีวางลงให้ซับน้ำและสปอร์ไว แล้วใช้หลอดนิคยาดูดสารละลายสปอร์ผ่านก้อนสำลี เพื่อกรองเส้นใยออก นำไปปั่นให้วายที่ 12,000 รอบต่อนาที นาน 1-2 นาที เทสารละลายทิ้ง แล้วแหวนลอยสปอร์ในกลีเซอรอลเข้มข้น 20 เปอร์เซ็นต์ ปริมาตร 1-2 มิลลิลิตร เก็บรักษาไว้ที่อุณหภูมิ -80 องศาเซลเซียส

การเลี้ยง *Streptomyces* ที่สามารถต้านทานยาปฏิชีวนะทำโดยเติมยาปฏิชีวนะที่เหมาะสมลงในอาหาร ให้มีความเข้มข้นดังตารางที่ 3

ตารางที่ 3 ความเข้มข้นของยาปฏิชีวนะที่ใช้ในการเลี้ยง *Streptomyces* และ *E. coli*

Antibiotics stock solution (mg/ml)	Final concentration in media ( $\mu\text{g}/\text{ml}$ )					
	<i>Streptomyces</i>			<i>E. coli</i>		
	Agar	Broth	Overlay ( $\mu\text{g}/\text{plate}$ )	Agar	Broth	
Ampicilin (100)	-	-	-	100	50	
Apramycin (50)	100	50	100(2000)	100	50	
Chloramphenicol (200)	-	-	-	50	25	
Kanamycin (50)	-	-	-	50	25	
Nalidixic acid (25)	25	-	25(500)	-	-	
Thiostrepton (50 in DMSO)	50	5	50(1000)	-	-	

#### การสกัดดีเอ็นเอจาก *Streptomyces*

นำเชื้อ *S. venezuelae* ที่เลี้ยงในอาหารเหลว TSB ปริมาตร 1.5 มิลลิลิตร มาปั่นให้วายที่ 12,000 รอบต่อนาที นาน 1-2 นาที เทสารละลายทึบนำเส้นใยที่ได้ไปสกัดดีเอ็นเอตามวิธีของ (Hopwood *et al.*, 1985) โดยเติม lysis solution [0.3 M sucrose, 25 mM Tris-HCl (pH 8.0), 25 mM EDTA(pH 8.0)] ที่มีไลโซไซซ์ 10 ไมโครกรัมต่อ ไมโครลิตร และ RNase A 50 ไมโครกรัมต่อ มิลลิลิตร ปริมาตร 500 ไมโครลิตร ใช้ปีปต์คุดขึ้นลงให้เส้นใยกระจาย นำไปปั่นที่ 37 องศา เชลเซียส นาน 45 นาที โดยจะใช้ปีปต์คุดขึ้นลงระหว่างบ่ม 2-3 ครั้ง จากนั้นเติม sodium dodecyl sulfate (SDS) ความเข้มข้น 2 เปอร์เซ็นต์ ปริมาตร 250 ไมโครลิตร พลิกหลอดไปมาให้ข่องเหลว ผสมกันดี เติมสารละลาย phenol:chloroform:isoamyl alcohol (25:24:1) ปริมาตร 250 ไมโครลิตร ผสมให้เข้ากัน นำไปปั่นให้วายที่ 12,000 รอบต่อนาที เป็นเวลา 5 นาที คุณสารละลายส่วนบนถ่ายลง สูงหลอดใหม่ (อาจทำซ้ำ 2-3 ครั้ง ถ้ามีปริมาณตะกอน โปรตีนมาก) เติม 3M sodium acetate ปริมาตร 0.1 เท่าของปริมาตรสารละลายที่คุดได้ เติม isopropanol ปริมาตร 1 เท่า ผสมโดยพลิกหลอดไปมา ตื้นๆ ไว้ที่อุณหภูมิห้องนาน 5 นาที แล้วปั่นให้วายที่ 12,000 รอบต่อนาที นาน 10 นาที เทสารละลาย

ออก แล้วถ่ายตะกอนดีอีนเอคัวย่อรานอล 70 เปอร์เซ็นต์ ปริมาตร 200 ไมโครลิตร ดูดสารละลายออกให้หมด ทิ้งให้ตะกอนแห้ง แล้วละลายตะกอนในบัพเฟอร์ TE (10 mM Tris-HCl pH 8.0, 1 mM EDTA pH 8.0) ปริมาตร 20-50 ไมโครลิตร เก็บรักษาไว้ที่อุณหภูมิ 4 องศาเซลเซียส หรือ -20 องศาเซลเซียส ในระยะเวลา

#### 4. วิธีการพื้นฐานที่ใช้สำหรับ *E. coli*

วิธีการพื้นฐานที่ใช้สำหรับ *E. coli* ใช้ตามวิธีการของ Sambrook et.al. (2001)

##### 4.1 การเลี้ยงและการเก็บรักษา *E. coli*

เพื่อเลี้ยง *E. coli* ลงบนอาหารแข็ง Luria-Bertani (LB 1 L; 10 g tryptone, 5 g yeast extract, 10 g NaCl และ 15 g agar; pH 7.2) บ่มที่ 37 องศาเซลเซียส เป็นเวลาข้ามคืน

การเลี้ยงในอาหารเหลว จะเติมเชื้อลงขวดรูปทรงพู่ที่มีอาหาร Luria-Bertani (LB; สูตรเหมือนเดิม แต่ไม่เติม agar) ในอัตราส่วน 1:100 นำไปเพียง 250 รอบต่อนาที ที่ 37 องศาเซลเซียส เป็นเวลาข้ามคืน

การเลี้ยง *E. coli* ที่สามารถด้านทานยาปฏิชีวนะทำโดยเติมยาปฏิชีวนะที่เหมาะสมลงในอาหาร ให้มีความเข้มข้นตามตารางที่ 3

##### 4.2 การสกัดพลาสมิดจาก *E. coli*

การสกัดพลาสมิดจาก *E. coli* ใช้วิธี alkaline lysis ของ Sambrook et.al. (2001) โดยนำเชื้อที่เลี้ยงในอาหาร LB เป็นเวลาข้ามคืน ปริมาตร 1.5 มิลลิลิตร ใส่ลงในหลอดขนาด 1.5 มิลลิลิตร ปั่นให้เขียวที่ 12,000 รอบต่อนาที นาน 1 นาที เพื่อเก็บเซลล์ เทอาหารทิ้ง จากนั้นละลายตะกอนด้วย Solution I [50 mM glucose, 25 mM Tris-HCl (pH 8.0), 10 mM EDTA (pH 8.0)] ที่เย็นจัด ปริมาตร 100 ไมโครลิตร แซ่ไว้ในน้ำแข็ง 10-15 นาที เติม Solution II (0.2 M NaOH, 1%(w/v) SDS) ที่เตรียมสำหรับใช้ทันที 200 ไมโครลิตร พลิกหลอดไปมาทันทีจนเข้ากันดี แล้วแช่น้ำแข็งนาน 5 นาที เติม Solution III (5 M potassium acetate 60 ml, glacial acetic 17.5 ml ในน้ำกลั่น 28.5 ml) ที่เย็นจัด

ปริมาตร 150 ไมโครลิตร พลิกหลอดไปมาให้ข่องเหลวผสมกันดี แล้วแช่ในน้ำแข็งนาน 3-5 นาที เติม RNase A 20 ไมโครกรัมต่อมิลลิลิตร บ่มที่ 37 องศาเซลเซียส เป็นเวลา 30 นาที แล้วนำไปปั่นเหวี่ยง 12,000 รอบต่อนาที นาน 5 นาที คุณสารละลายถ่ายใส่หลอดใหม่ เติม phenol:chloroform:isoamyl alcohol ปริมาตร 1 เท่า ของสารละลายที่คุณได้นำไปปั่นเหวี่ยงที่ 12,000 รอบต่อนาที นาน 5 นาที คุณสารละลายส่วนบนใส่หลอดใหม่ แล้วเติมอีราโนอลสัมบูรณ์ ปริมาตร 2 เท่าของสารละลายที่คุณได้ พลิกหลอดไปมาเบาๆ ตึงไว้ที่อุณหภูมิห้อง 2 นาที แล้วปั่นเหวี่ยงเก็บตะกอนดีอีกครั้ง 12,000 รอบต่อนาที นาน 5 นาที ถางตะกอนด้วยอีราโนอล 70 เปอร์เซ็นต์ ปริมาตร 200 ไมโครลิตร ปั่นเหวี่ยง 1 นาที แล้วคุณสารละลายออกให้หมด ทิ้งไว้ให้ตะกอนแห้ง จึงถ่ายดีอีกครั้งใน TE ปริมาตร 20-50 ไมโครลิตร เก็บรักษาไว้ที่ -20 องศาเซลเซียส

#### 4.3 การเตรียมเซลล์คอมพิเทนต์ (competent cell)

การเตรียมเซลล์คอมพิเทนต์ของ *E. coli* ตามวิธีของ Chung *et al.*(1989) โดยนำเชื้อที่เลี้ยงข้ามคืนในอาหาร LB ปริมาตร 500 ไมโครลิตร ลงเลี้ยงในอาหาร LB ปริมาตร 50 มิลลิลิตร ในขวดรูปทรงผู้ชายขนาด 250 มิลลิลิตร เขย่า 250 รอบต่อนาที ที่ 37 องศาเซลเซียส จนมีค่าคุณแสงที่ความยาวคลื่น 600 นาโนเมตร ( $OD_{600}$ ) เป็น 0.3-0.4 (ประมาณ 2-3 ชั่วโมง) ถ่ายใส่หลอดขนาด 50 มิลลิลิตร แล้วแช่น้ำแข็งนาน 15-20 นาที จึงนำไปปั่นเหวี่ยงเก็บเซลล์ ที่ 3,500 รอบต่อนาที อุณหภูมิ 4 องศาเซลเซียส นาน 2 นาที เทอาหารทิ้ง แล้วเติม Transformation and storage solution [TSS; 10 % (w/v) polyethylene glycol (PEG) MW=8000, 10 % dimethylsulphoxide (DMSO), 100 mM  $MgCl_2$ , pH 6.5] ที่เย็นจัด ปริมาตร 1-2 มิลลิลิตร ใช้ปีเปตต์ขนาด 1000 ไมโครลิตร คุณทึบลงเบาๆ ให้เซลล์แนวนโดยดีในสารละลาย โดยแบ่งเก็บในหลอดขนาด 1.5 มิลลิลิตร หลอดละ 100 ไมโครลิตร ที่ -80 องศาเซลเซียส ถ้ายังไม่นำมาใช้ในทันที

#### 4.4 การทราบสฟอร์เมชัน (transformation) ใน *E. coli*

การทราบสฟอร์เมชัน ใช้วิธี heat-shock (Sambrook *et al.*, 2001) โดยใช้เซลล์คอมพิเทนต์ 100 ไมโครลิตร แล้วเติมพลาสมิด 2-10 ไมโครลิตร ใช้ปีเปตต์ผสมเบาๆ ทิ้งไว้ในน้ำแข็ง 20 นาที จึงบ่มที่ 42 องศาเซลเซียส นาน 90 วินาที แล้วนำกลับไปแช่ในน้ำแข็งทันที นาน 5 นาที เติมอาหาร LB ปริมาตร 900 ไมโครลิตร บ่มที่ 37 องศาเซลเซียส เขย่า 250 รอบต่อนาที นาน 1 ชั่วโมง จึงแบ่งเซลล์ 100 ไมโครลิตร ไปเกลี่ยบนอาหารแข็ง LB (มียาปฏิชีวนะตามความ

เหมาะสม) ในกรณีคัดเลือกพลาสติกสายพสมเกลี่ยทับอาหารแข็ง LB ด้วย X-gal (5-bromo-4-chloro-3-indolyl- $\beta$ -D-galactoside) ความเข้มข้น 20 มิลลิกรัมต่อมิลลิลิตร ใน dimethylformamide ปริมาตร 40 ไมโครลิตร และ IPTG (isopropylthio- $\beta$ -D-galactoside) ความเข้มข้น 200 มิลลิกรัมต่อมิลลิลิตร ปริมาตร 7 ไมโครลิตร ปั่นไว้ที่ 37 องศาเซลเซียส ข้ามคืน โดยโคลนีที่มีพลาสติกสายพสมจะปรากฏเป็นสีขาว ขณะที่โคลนีที่ไม่มีจะเป็นสีฟ้า

## 5. เทคนิคทางพันธุวิเคราะห์

### 5.1 อะกาโรสเจลอิเล็กโทรโฟรีซีส (agarose gel electrophoresis)

ผสมสารละลายดีเอ็นเอกับ 6x loading buffer (0.25% (w/v) bromophenol blue, 0.25% (w/v) xylene cyanol, 30% glycerol) ในอัตราส่วน 5:1 แล้วทำการอะกาโรสเจลอิเล็กโทรโฟรีซีส เทียบกับดีเอ็นเอมาตรฐาน (1 kb ladder; Fermentus, USA) ใช้อาโรส 0.8 เมอร์เซ็นต์ ใน 1x TAE buffer (40 mM Tris-acetate, 1 mM EDTA) ที่ความต่างศักย์ไฟฟ้า 100 โวลต์ ตรวจสอบແນບดีเอ็นเอด้วยการข้อมในเօชิเดียมโนบ ไมครอน ความเข้มข้น 0.5 ไมโครกรัมต่อมิลลิลิตร ตรวจดูภายใต้แสง UV และถ่ายภาพ

### 5.2 การสกัดดีเอ็นเอจากอะกาโรสเจล

ใช้ชุดอุปกรณ์ Gel/PCR Fragments Extraction Kit (Geneaid, Koria) และทำการขั้นตอนในคู่มือ โดยตัดเจลในตำแหน่งที่ปรากฏແນບดีเอ็นเอที่ต้องการ ใส่ลงในหลอดขนาด 1.5 ไมโครลิตร หลอดละประมาณ 300 มิลลิกรัม เดิม DF buffer ปริมาตร 500 ไมโครลิตร นำไปปั่นที่ 55-60 องศาเซลเซียส เป็นเวลา 10-15 นาที จนกว่าเจลจะหายหมด กับหลอดไปมาระหว่างที่ทำการปั่น 2-3 ครั้ง ทิ้งให้เย็นที่อุณหภูมิห้อง ดูดสารละลายปริมาณ 800 ไมโครลิตร ใส่ลงใน DF column ที่วางอยู่ใน collection tube นำไปปั่นให้ทิ้งที่ 12,000 รอบต่อนาที 1 นาที เทข่องเหลวทิ้ง ถ้าขังมีสารละลายเหลือให้ดูดมาใส่ใน DF column แล้วทำการขั้นตอนข้างต้น หลังจากนั้นเดิม wash buffer ปริมาตร 600 ไมโครลิตร ปั่นให้ทิ้งนาน 1 นาที เทข่องเหลวทิ้ง ปั่นให้ทิ้งอีกครั้งเป็นเวลา 3 นาที เพื่อให้คอลัมน์แห้ง จากนั้นข้ายกคอลัมน์ไปใส่ในหลอดขนาด 1.5 มิลลิลิตรหลอดใหม่ เดิม elution buffer ปริมาตร 15-50 ไมโครลิตร ทิ้งไว้ 1 นาที แล้วปั่นให้ทิ้งเก็บสารละลายดีเอ็นเอ นาน 2 นาที เก็บรักษาดีเอ็นเอไว้ที่ -20 องศาเซลเซียส

## การทำสารละลายดีเอ็นเอให้บริสุทธิ์โดยใช้ชุดอุปกรณ์

ใช้ชุดอุปกรณ์ Gel/PCR Fragments Extraction Kit (Geneaid, Koria) และทำการขั้นตอนในคู่มือ โดยเติมสารละลายดีเอ็นเอในหลอด 1.5 ไมโครลิตร หลอดละประมาณ 50 ไมโครลิตร เติม DF buffer ปริมาตร 500 ไมโครลิตร คุณสารละลายใส่ลงใน DF column ที่วางอยู่ใน collection tube นำไปปั่นเหวี่ยงที่ 12,000 รอบต่อนาที 1 นาที เทข้องเหลวทิ้ง หลังจากนั้นเติม wash buffer ปริมาตร 600 ไมโครลิตร ปั่นเหวี่ยงนาน 1 นาที เทข้องเหลวทิ้งปั่นเหวี่ยงอีกครั้งเป็นเวลา 3 นาที เพื่อให้หักดัมแน็ท จากนั้นข้ายกหักดัมแน็ทไปใส่ในหลอดขนาด 1.5 มิลลิลิตรหลอดใหม่ เติม elution buffer ปริมาตร 15-50 ไมโครลิตร ทิ้งไว้ 1 นาที แล้วปั่นเหวี่ยงเก็บสารละลายดีเอ็นเอ นาน 2 นาที เก็บรักษาดีเอ็นเอไว้ที่ -20 องศาเซลเซียส

## การเพิ่มปริมาณดีเอ็นเอด้วยพีซีอาร์ (PCR; polymerase chain reaction)

การทำพีซีอาร์ใช้ดีเอ็นเอ 20 นาโนกรัม และไพรเมอร์อย่างละ 0.05 พิโคโมล (ตารางที่ 4) สารเคมีที่ใช้ทำปฏิกิริยาพีซีอาร์ประกอบด้วย 1x PCR buffer, 1.5 mM MgCl<sub>2</sub>, 0.2 mM dNTP, 1% DMSO, 0.5 unit *Taq* DNA polymerase ในปริมาตรสุดท้าย 20 ไมโครลิตร โดยใช้สภาวะดังนี้

รอบที่ 1	94	องศาเซลเซียส	4	นาที
รอบที่ 2-29	94	องศาเซลเซียส	30	วินาที
	อุณหภูมิ annealing ตามชนิดของไพรเมอร์			
	1	นาที		
	72	องศาเซลเซียส	1	นาที
รอบที่ 30	94	องศาเซลเซียส	30	วินาที
	อุณหภูมิ annealing ตามชนิดของไพรเมอร์			
	1	นาที		
	72	องศาเซลเซียส	4	นาที

**ตารางที่ 4 ลำดับนิวคลีโอไทด์ของ ไพรเมอร์ที่ใช้ในงานวิจัย**

ไพรเมอร์	Ta (°C)	เอกสารอ้างอิง
Apr C-1 5'GACGTCGCGGTGAGTTCAGGC3'	65	Choi <i>et al.</i> (2004)
Apr N-2 5'CCCCGGCGGTGTGCT G3'		
ATT012 5'TGACTGAGTTGGACACCATCGC 3'	58	นิรินทร์ยา (2548)
ATT013 5'CCTGTCGATCCTCTCGTGCAG 3'		
ATT061F 5'TTTAAGCTTGACAACACCGACATCCCSGG 3'	60	งานวิจัย*
ATT061R 5'TTTGAATTCCCGGTATCTGCTGSACCTGG 3'		
M13 Forward 5'CGCCAGGGTTTCCCAGTCACGAC3'	58	Messing(1983)
M13 Reverse 5'GTCATAGCTGTTCCCTGTGTGA3'		

หมายเหตุ W=A/T; S=G/C; Y=C/T; GAATTC, CTGCAG = ตำแหน่งตัดของ *EcoRI* และ *PstI*  
ตามลำดับ

### 5.5 การหาลำดับเบส

สกัดพลาสมิดและทำให้บริสุทธิ์โดยใช้ชุดอุปกรณ์ Gel/PCR Fragments Extraction Kit (Geneaid, Koria) ตามวิธีในข้อ 5.3 และส่งไปหาลำดับเบสที่ 1st BASE ประเทศไทยแล้วเชียบ

### 5.6 การตัดและเชื่อมต่อดีเอ็นเอ

ตัดพลาสมิดที่ใช้เป็นดีเอ็นเอพาหะด้วยเอนไซม์ตัดจำเพาะชนิดเดียวกับที่ใช้ตัดชิ้นดีเอ็นเอที่จะนำมาเชื่อม ในการเชื่อมต่อดีเอ็นเอเพื่อสร้างพลาสมิดสายผสมใช้อัตราส่วนพลาสมิดต่อชิ้นดีเอ็นเอเท่ากับ 1 ต่อ 3 ผสมในปิกิลิตรที่มี 10x ligation buffer 2 ไมโครลิตร และ T4 DNA ligase (1 U/ $\mu$ l) 1 ไมโครลิตรในปริมาณสุดท้าย 20 ไมโครลิตร บ่มที่อุณหภูมิ 16 องศาเซลเซียส ข้ามคืน

## Southern blot hybridisation

Southern blot hybridisation (Southern, 1975) ทำโดยนำเจลที่ทำอะก้าโรสเจลอิเล็กโทรฟอริซีสแล้ว แช่ใน 0.25 M HCl นาน 15 นาที (depurination) และแช่ใน Denaturing solution (0.5 M NaOH, 1.5 M NaCl) นาน 15 นาที 2 ครั้ง จากนั้นจะทำ Southern blot โดยใช้ Alkaline transfer buffer (0.25 M NaOH, 1.5 M NaCl) ขึ้ยดีเอ็นเอไปสู่เมมเบรน (Hybond N<sup>+</sup>; Amersham Pharmacia Biotech, UK) และ capillary transfer เป็นเวลาข้ามคืน

Dot blot hybridisation ทำโดยนำสารละลายดีเอ็นเอไป denature ในน้ำเดือด เป็นเวลา 10 นาที และแช่ในน้ำแข็งทันที นาน 10 นาที จากนั้นจึงหดสารละลายดีเอ็นเอลงบนเมมเบรน ที่ละ 2-3 ไมโครลิตร รอให้เมมเบรนแห้งดีแล้วจึงจะนำไปใช้ต่อไป

การติดฉลากดีเอ็นเอที่ใช้เป็นโพรบ ใช้ชุดอุปกรณ์ DIG High Prime DNA Labeling and Detection Starter Kit II (Roach) โดยใช้ดีเอ็นเอตั้งต้นความเข้มข้น 1 ไมโครกรัม มาละลายนำกลั่นให้มีปริมาตรสุดท้าย 16 ไมโครลิตร นำไปต้มในน้ำเดือด เป็นเวลา 10 นาที และนำไปแช่ในน้ำแข็งทันที ทิ้งไว้ 5 นาที จากนั้นเติม DIG High prime 4 ไมโครลิตร ผสมให้เข้ากัน บ่มที่ 37 องศาเซลเซียส เป็นเวลา หนึ่งคืน หยุดปฏิริยาด้วยความร้อน 65 องศาเซลเซียส เป็นเวลา 10 นาที เก็บรักษาไว้ที่อุณหภูมิ -20 องศาเซลเซียส

การทำ hybridisation และการตรวจสอบผล ใช้อุปกรณ์ DIG High Prime DNA Labeling and Detection Starter Kit II (Roach) ทำ pre-hybridisation โดยบ่ม hybridization buffer ที่ 37 องศาเซลเซียส เดิมในถุงที่มีเมมเบรนปริมาตร 3.5 มิลลิลิตร ต่อมเมมเบรน 100 ตารางเซนติเมตร นำไปบ่มที่อุณหภูมิ 68 องศาเซลเซียส 30 นาที จากนั้นเท pre-hybridisation buffer ออก เติมดีเอ็นเอโพรบที่ denature ในน้ำเดือดเป็นเวลา 10 นาที และแช่น้ำแข็งทันทีเป็นเวลา 5 นาที โดยเติมโพรบปริมาตร 1-2 ไมโครลิตร ต่อ hybridization buffer 1 มิลลิลิตร และเติมลงในถุงเมมเบรนปริมาตร 3.5 มิลลิลิตร ต่อมเมมเบรน 100 ตารางเซนติเมตร บ่มไว้ที่อุณหภูมิเดิมเป็นเวลาข้ามคืน จากนั้นนำเมมเบรนมาถ้างด้วยสารละลายที่ประกอบด้วย 2x SSC และ 0.1 % (w/v) SDS ที่อุณหภูมิห้อง เบี่ยง 50 รอบต่อนาที นาน 20 นาที 2 ครั้ง และถ้างด้วยสารละลาย 0.1x SSC และ 0.1 % (w/v) SDS ที่อุณหภูมิ 68 องศาเซลเซียส 15 นาที 2 ครั้ง โดยเบี่ยงเป็นครั้งคราว จากนั้นนำไปถ้างใน washing buffer [0.3% tween 20 ใน maleic acid buffer (0.1 M maleic acid, 0.15M NaCl,

pH 9.5)] นาน 1-5 นาที จึงนำไปปั่นใน blocking solution ปริมาตร 50 มิลลิลิตร ที่อุณหภูมิห้อง เทย่า 50 รอบต่อนาที นาน 30 นาที แล้วนำไปปั่นใน antibody solution (alkaline phosphatase 1: 10,000 ใน maleic acid buffer ) เทย่า 50 รอบต่อนาที นาน 30 นาที แล้วนำแมมเบรนไปล้างใน washing buffer โดยเทย่า 50 รอบต่อนาที นาน 15 นาที 2 ครั้ง เติม detection buffer (0.1M Tris-HCl, 0.1M NaCl, pH 9.5) ปริมาตร 20 มิลลิลิตร บ่มที่อุณหภูมิห้อง 2-5 นาที จากนั้นนำแมมเบรน วางบนแผ่นพลาสติก หยด CSPD ready to use จนท่วมแผ่นแมมเบรน นำพลาสติกอีกแผ่นปิดทับโดยไม่ให้มีฟองอากาศ รีดของเหลวส่วนเกินออก บ่มที่ 37 องศาเซลเซียส 10 นาที แล้วนำไปทากับฟิล์มนาน 30 นาที แล้วล้างฟิล์มด้วย Developer และ Fixer (Kodak) ตามลำดับ

### 5.8 การวิเคราะห์ลำดับเบสและลำดับกรดอะมิโน

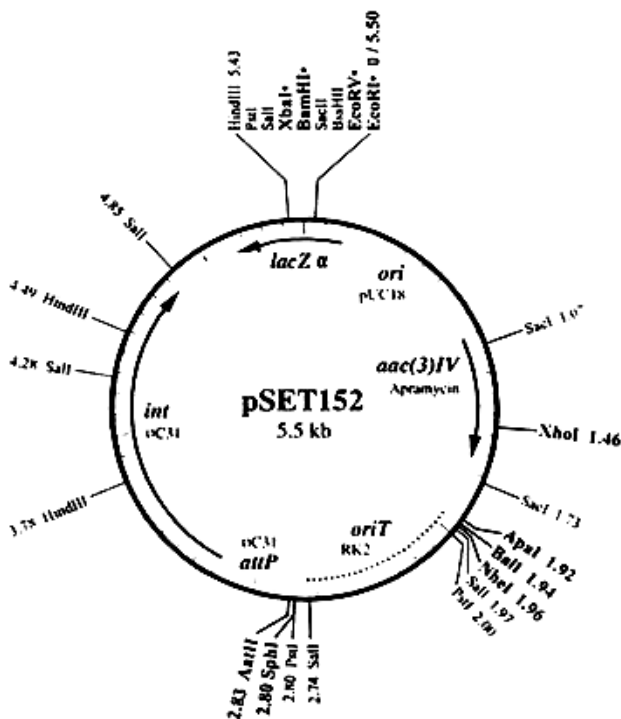
การแปลรหัสลำดับเบสเป็นลำดับกรดอะมิโนใช้โปรแกรม Six-Frame Translation (<http://searchlauncher.bcm.tmc.edu/seq-util/Options/sixframe.html>) การค้นหาลำดับที่มีความคล้ายกันในฐานข้อมูลใช้โปรแกรม BLAST (<http://www.ncbi.nlm.nih.gov/BLAST/>; Altschul *et al.*, 1990) เมริยมเทียบลำดับเบสหรือลำดับกรดอะมิโนด้วยวิธี multiple alignment, clustering และใช้โปรแกรม ClustalX 1.81 (Thompson *et al.*, 1994) การหาตำแหน่งจุดจำของเอนไซม์ ตัดจำเพาะบนลำดับเบสอาศัยโปรแกรม NEBcutter 2.0 (<http://tool.neb.com/NEBcutter2/index.phb>)

## 6. การศึกษาสภาวะที่เหมาะสมสำหรับการทำคอนจูเกชันต่างสกุลระหว่าง *S. venezuelae* และ *E. coli* ET12567 (pUZ8002)

ศึกษาปัจจัยต่างๆ ที่เกี่ยวข้องกับประสิทธิภาพของการส่งถ่ายพลาสมิด ในการเกิดคอนจูเกชันต่างสกุลระหว่าง *S. venezuelae* และ *E. coli* ET12567 (pUZ8002) ซึ่งดัดแปลงมาจาก Mazodier *et al.* (1989) โดยใช้พลาสมิด pSET152 ซึ่งเป็น mobilisable plasmid (ภาพที่ 9) โดยทำการศึกษาดังต่อไปนี้

### 6.1 การศึกษาหาอุณหภูมิที่เหมาะสมในการกระตุนการออกของสปอร์

ในการกระตุนการออกของสปอร์ใช้ขั้นตอนตาม (Kieser *et al.*, 2000) โดยเก็บสปอร์ของ *S. venezuelae* ที่เลี้ยงบนอาหาร MS ที่อุณหภูมิ 30 องศาเซลเซียส นาน 3-5 วัน (ตามข้อ 3.1) ปรับให้สปอร์มีความเข้มข้น  $10^5$ - $10^6$  สปอร์ต่อ ml ลิตร์ในอาหาร 2x YT (1 L: 16 g tryptone, 10 g yeast extract, 5 g NaCl) แล้วนำสปอร์ไปกระตุนการออกที่อุณหภูมิห้อง 35, 40, 45, 50 และ 55 องศาเซลเซียส บ่มเป็นเวลา 10 นาที จากนั้นทิ้งให้สปอร์เย็นลง แล้วนำไปปั่นให้วายังที่ 12,000 รอบต่อนาที นาน 1 นาที แยกลอยตะกอนใน 2x YT ปริมาตร 100 ไมโครลิตร แล้วนำไปเกลี่ยบนอาหารแข็ง TSA ที่มี 10 mM MgCl<sub>2</sub> บ่มไว้ที่ 30 องศาเซลเซียส 3 วัน บันทึกจำนวนโคลoniที่เจริญบนอาหาร



ภาพที่ 9 พลาสมิด pSET152 ที่ใช้สำหรับทำคุณูเก็บระหว่าง *S. venezuelae* และ *E. coli*

แหล่ง: Kieser *et al.* (2000)

## 6.2 คอนจูเกชันต่างสกุล

### 6.2.1 การเตรียม *E. coli* ผู้ให้

เลี้ยงเชื้อ *E. coli* ET12567 (pUZ8002/pSET152) ข้ามคืนในอาหาร LB ที่มียาปฏิชีวนะอะพารามัยซิน, gamma-mycin และคลอแรมฟินคอล ความเข้มข้นดังตารางที่ 3 เจือจางเซลล์ 1:100 ด้วยอาหาร LB ที่มียาปฏิชีวนะ แล้วเลี้ยงต่อที่สภาวะเดิม จนมีค่าดูดกลืนแสงที่ความยาวคลื่น 600 ( $OD_{600}$ ) อยู่ระหว่าง 0.4-0.6 จึงนำเชื้อที่ได้ 500 ไมโครลิตร ไปล้าง 2 ครั้งด้วยอาหาร LB ตามปกติโดยการปั่นเพื่อยั่งแล้วละลายในอาหาร LB ปริมาตร 500 ไมโครลิตร

### 6.2.2 การเตรียม *S. venezuelae* ผู้รับ

#### 6.2.2.1 การเตรียมสปอร์ของ *S. venezuelae*

เลี้ยงเชื้อ *S. venezuelae* บนอาหาร MS ที่อุณหภูมิ 30 องศาเซลเซียส นาน 3-5 วัน เก็บสปอร์ตามข้อ 3.1 โดยให้สปอร์มีความเข้มข้น  $10^8$ - $10^{10}$  สปอร์ต่อมิลลิลิตร ในอาหาร 2x YT ปริมาตร 500 ไมโครลิตร นำไปกระดูนการออกของสปอร์โดยการบ่มที่อุณหภูมิและระยะเวลาที่เหมาะสม ทิ้งไว้ให้อุณหภูมิเย็นลงก่อนนำไปใช้

#### 6.2.2.2 การเตรียมไมซีเลี่ยมของ *S. venezuelae*

เลี้ยง *S. venezuelae* ในอาหารเหลวจะเลี้ยงในข้าวครูปชูฟูที่มีขดลวด สปริงม้วนเป็นวงอยู่ที่ก้นขวด โดยใส่สารละลายสปอร์ลงในอาหารเหลว Tryptone soya broth (TSB สำเร็จรูป) ในอัตราส่วน 1:100 เขย่า 200 รอบต่อนาที ที่อุณหภูมิ 28 องศาเซลเซียส ตามเวลาที่เหมาะสม

### 6.2.3 การทำคอนจูเกชันต่างสกุล

ผสมผู้ให้และผู้รับเข้าด้วยกัน นำไปปั่นเพื่อยั่งและละลายต่อกันด้วยอาหาร 2x YT ปริมาตร 100 ไมโครลิตร ทำการเจือจางให้มีความเข้มข้นเหมาะสมด้วยอาหาร 2x YT แล้วเกลี่ย

ส่วนผสมดังกล่าวปริมาตร 100 ไมโครลิตรต่อจานอาหาร บนอาหาร TSA (Oxoid) ที่มี 10 mM MgCl<sub>2</sub> บ่มไว้ที่อุณหภูมิ 30 องศาเซลเซียส เป็นเวลา 14-16 ชั่วโมง ก่อนเททับด้วยสารละลาย 1 มิลลิลิตร ซึ่งประกอบด้วยยาปฏิชีวนะอะพ拉มัยซิน และกรดนาโนดิซิก ความเข้มข้นตามตารางที่ 3 เพื่อคัดเลือก *Streptomyces* ที่ได้รับพลาสมิดหรือเอกสารคอนจูเกนท์ (ex-conjugant) และกำจัด *E. coli* ตามลำดับ

### 6.3 การศึกษาประสิทธิภาพของการคอนจูเกชันต่างสกุลระหว่าง *S. venezuelae* และ *E. coli* ET12567 (pUZ8002/pSET152)

การทดลองนี้จะทำการคอนจูเกชันต่างสกุลโดยใช้ *E. coli* ET12567 (pUZ8002/pSET152) เป็นผู้ให้ ตามวิธีในข้อ 6.2 โดยทำการศึกษาในสองสภาวะคือ การใช้สปอร์ของ *S. venezuelae* เป็นผู้รับ และใช้ไนซีเลิยมของ *S. venezuelae* เป็นผู้รับ จำนวนหาประสิทธิภาพของการคอนจูเกชันโดยจำนวนจากอัตราส่วนระหว่างจำนวนเอกสารคอนจูเกนต์กับจำนวนสปอร์หรือไนซีเลิยมของผู้ให้ที่ใช้ทั้งหมด

### 6.4 การตรวจสอบเอกสารคอนจูเกนท์

นำโคลนเอกสารคอนจูเกนต์ไปเพิ่งบนอาหาร TSA ที่มียาปฏิชีวนะดังกล่าว อีก 10 รอบ เพื่อยืนยันผลการต้านทานยาปฏิชีวนะจากพลาสมิดรวมทั้งกำจัด *E. coli* ที่อาจหลงเหลืออยู่ โคลนเอกสารคอนจูเกนท์ที่เจริญได้บนอาหารที่มียาปฏิชีวนะไปสักด็อกอีกตามข้อ 3.2 และตรวจสอบโดยการเพิ่มปริมาณยืนด้านยาอะพราเมียซิน โดยใช้ไฟโรเมอร์ Apr C-1 และ AprC-2 (ตารางที่ 4) ตามวิธีข้อ 5.4

นำเอกสารคอนจูเกนต์ไปตรวจสอบด้วยการแทรกตัวของพลาสมิด pSET152 ในโครโนไซม์ โดยสักด็อกโครโนไซม์ตามวิธีข้อ 3.2 และทำ Southern blot hybridisation ตามวิธีข้อ 5.7 โดยใช้ไฟโรบบิวเอน attP ของ pSET152 โดยการตัดพลาสมิดด้วย酵นไซม์ตัดจำเพาะ SacI และ HindIII ได้ไฟโรบบิวขนาด 2.05 กิโลเบปส

ตรวจสอบการสังเคราะห์สารคลอเรนฟีนคลอ ของ *S. venezuelae* โดยการตรวจสอบการเกิดวงใส (clear zone) ต่อเชื้อ *E. coli* JM109 ที่ໄว่าต่อคลอเรนฟีนคลอ

## 7. การโคลนและวิเคราะห์ยีน *aroE* ใน *S. venezuelae*

### 7.1 การออกแบบไพรเมอร์และการเพิ่มปริมาณยีน *aroE*

ออกแบบไพรเมอร์ที่จำเพาะกับยีน *aroE* โดยการรวมลำดับกรดอะมิโนของยีน *aroE* ในแอคติโนมัยสีที่มีอยู่ในฐานข้อมูล GenBank และนำลำดับกรดอะมิโนดังกล่าวมาทำ multiple alignment ด้วยโปรแกรม ClustalW 1.82 แล้วหาบริเวณอนุรักษ์ (conserved region) เพื่อออกแบบไพรเมอร์ โดยการเพิ่มปริมาณยีน *aroE* จากโครโนโซมของ *S. venezuelae* โดยการทำพีซี อาร์ตามวิธีการในข้อ 5.4 ในสภาวะที่เหมาะสม แล้วนำผลที่ได้ไปตรวจสอบด้วยองค์การโภสเจลオリเด็ก tro ไฟฟ้าสถิตามวิธีในข้อ 5.1 จากนั้น โคลนยีนที่ได้จากการทำพีซีอาร์เข้าสู่พลาสมิด pUC18 และทราบสภาพรูมเข้าสู่ *E. coli* XL-1 Blue ตามวิธีในข้อ 4.5

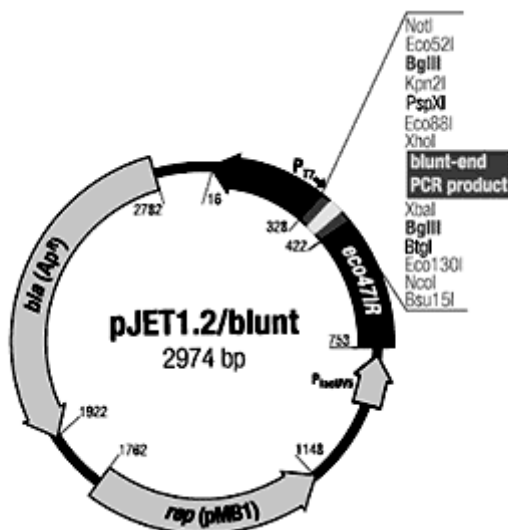
ตรวจสอบโคลนที่ได้โดยการถอดพลาสมิดตามวิธีในข้อ 4.2 และพิสูจน์โคลนโดยการตัดด้วยเอนไซม์ตัดจำเพาะที่เหมาะสม จากนั้นแยกขนาดด้วยวิธีของการโภสเจลオリเด็ก tro ไฟฟ้าสถิต เมื่อได้โคลนที่ต้องการ นำโคลนนั้นไปหาลำดับเบสและเปรียบเทียบลำดับเบสกับยีน *aroE* ที่มีในฐานข้อมูล

### 7.2 การตรวจหา yīn *aroE* ด้วย Southern blot hybridisation

นำโครโนโซมของ *S. venezuelae* ไปตัดให้สมบูรณ์ด้วยเอนไซม์ตัดจำเพาะที่เหมาะสม และแยกขนาดโดยอุปกรณ์เจลไฟฟ้าสถิต นำไปทำ Southern blot hybridisation ตามวิธีการในข้อ 5.7 โดยใช้ไพร์บที่เตรียมได้จากข้อ 7.1

### 7.3 การโคลนยีน

เลือกโคลนชิ้นดีอีนออกจากผลการทำ Southern blot hybridisation ในข้อ 7.2 โดยตัดชิ้นดีอีนเอที่ต้องการออกจากองค์การโภสเจลและสกัดดีอีนเอตามข้อ 5.2 นำไปตรวจสอบช้ำเพื่อยืนยันว่า มีชิ้นดีอีนเอที่ต้องการด้วยการทำพีซีอาร์ จากนั้นจึงนำดีอีนเอที่สกัดได้โคลนเข้าไปใน pJET 1.2/blunt cloning vector (ภาพที่ 10) โดยใช้ชุดอุปกรณ์ CloneJET PCR Cloning Kit (Fermentus, USA) ตรวจสอบโคลนโดยการทำ PCR จากนั้นเลือกโคลนที่เหมาะสมไปหาลำดับเบส



ภาพที่ 10 พลasmid pJET 1.2 blunt

ที่มา: Fermentus (USA)

## 8. การศึกษาหน้าที่ของยีน *aroE* ของ *S. venezuelae* ด้วยวิธีคุณจุเกชันต่างสกุล

### 8.1 การสร้างพลาสมิดสายพสมเพื่อทำยีนดิสรับปัชณ์

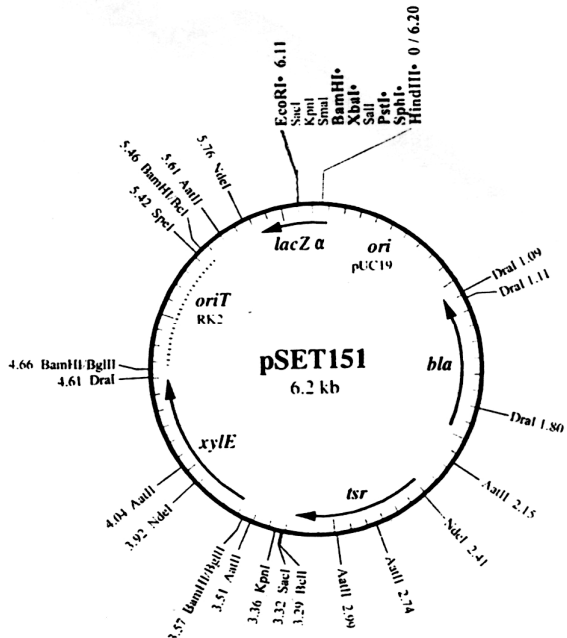
หลังจากโคลนยีน *aroE* เข้าพลาสมิด pUC18 ตามต้องการแล้ว จะข้ายึดดีอีนเอ ดังกล่าวเข้าสู่พลาสมิด pSET151 (Bierman *et al.*, 1992) (ภาพที่ 11) ซึ่งเป็นพลาสมิดแบบ mobilisable แล้วทำการทранสฟอร์มเข้าสู่ *E. coli* ET12567 (pUZ8002) สำหรับทำคุณจุเกชันต่างสกุลต่อไป

### 8.2 การคุณจุเกชันต่างสกุล

#### 8.2.1 การเตรียม *E. coli* ผู้ให้

นำเชื้อ *E. coli* ET12567 (pUZ8002) ที่มีพลาสมิดในข้อ 8.1 มาเลี้ยงข้ามคืนในอาหาร LB ที่มียาปฏิชีวนะอะพราไมซิน กำนามัยซิน และ คลอเรนฟินิกอล ตามความเข้มข้นในตารางที่ 3 เลือจางเซลล์ 1:100 ด้วยอาหาร LB ที่มียาปฏิชีวนะ แล้วเลี้ยงต่อที่สภาวะเดิม จนมีค่า

ดูดกลืนแสงที่ความยาวคลื่น 600 ( $OD_{600}$ ) อุ่นระหว่าง 0.4-0.6 จึงนำเชื้อที่ได้ 500 ไมโครลิตรติดล้าง 2 ครั้งด้วยอาหาร LB ตกตะกอนโดยการปั่นให้วัลลภลาณ์ในอาหาร LB ปริมาตร 500 ไมโครลิตร



ภาพที่ 11 พลasmid pSET151 ที่ใช้สำหรับทำยีนคิสรับชันใน *S. venezuelae*  
ที่มา: Bierman et al.(1992)

### 8.2.2 การเตรียม *S. venezuelae* ผู้รับ

เลี้ยง *S. venezuelae* ในอาหารเหลวจะเลี้ยงในขวดรูปปั๊มพู่ที่มีขวดสปริงม้วนเป็นวงอยู่ที่ก้นขวด โดยใส่สารละลายน้ำสปอร์ลงในอาหารเหลว Tryptone soya broth (TSB สำเร็จรูป) ในอัตราส่วน 1:100 เขย่า 200 รอบต่อนาที ทิ้งอุณหภูมิ 28 องศาเซลเซียส เป็นเวลา 24 ชั่วโมง

### 8.2.3 การทำคอนjugation ต่างสกุล

ทำการวิธีในข้อ 6.2.3 บนอาหาร MS ที่มี  $10 \text{ mM MgCl}_2$  และกรดอะมิโนทริปโทฟเฟน พินิโละลานีน ไทโรซิน อย่างละ 40 ไมโครกรัมต่อมิลลิลิตร บ่มไว้ที่อุณหภูมิ 30 องศาเซลเซียส เป็นเวลา 14-16 ชั่วโมง ก่อนเททับด้วยสารละลายน้ำ 1 มิลลิลิตร ซึ่งประกอบด้วยยาปฏิชีวนะไซโอดีเพรปทอน และกรดนาลิดิซิก ตามความเข้มข้นในตารางที่ 3 เพื่อคัดเลือก *S. venezuelae* ที่

ได้รับพลาสมิด และกำจัด *E. coli* ตามลำดับ จากนั้นจะนำโคโลนีของเชื้อที่ขึ้นไปเก็บลงบนอาหาร MS ที่มียาปฏิชีวนะและกรดอะมิโนดังกล่าว อีก 10 รอบ เพื่อยืนยันผลการต้านทานยาปฏิชีวนะจากพลาสมิดรวมทั้งกำจัด *E. coli* ที่หลงเหลืออยู่

## 9. การวิเคราะห์สายพันธุ์กล้ายของ *S. venezuelae*

### 9.1 การตรวจสอบสายพันธุ์กล้ายด้วยการทำพีซีอาร์

นำโคโลนีสายพันธุ์กล้ายที่เจริญได้บนอาหารที่มียาปฏิชีวนะไปสักดีอีนเอกสารข้อ 3.2 และตรวจสอบโดยการเพิ่มปริมาณยีนต้านยาปฏิชีวนะ *tsr* ไอโซสเตรปทอน (*tsr*) โดยใช้ไพรเมอร์ ATT012 และ ATT013 (ตารางที่ 4) เพื่อยืนยันการส่งถ่ายพลาสมิด หรือตรวจสอบโดยใช้ไพรเมอร์ M13 Forward และ M13 Reverse (ตารางที่ 4) เพื่อตรวจสอบการแทรกตัวของพลาสมิด โดยหากเกิดการแทรกตัวจะไม่สามารถเพิ่มปริมาณยีนโดยไพรเมอร์คู่นี้ได้ จากนั้นตรวจสอบผลิตภัณฑ์พีซีอาร์ที่ได้ด้วยวิธีของการแสดงผลอิเล็ก tro โฟร์เซ็ส

### 9.2 การตรวจสอบสายพันธุ์กล้ายโดย Southern blot hybridisation

#### 9.2.1 การเตรียมคีอีนเอปอร์บ

การเตรียมปอร์บจากบริเวณยีน *tsr* โดยนำพลาสมิด pSET151 มาตัดด้วยเอนไซม์ *NdeI* นำไปแยกขนาดด้วยของการแสดงผลอิเล็ก tro โฟร์เซ็ส ตามวิธีการในข้อ 5.1 แล้วสักดีชิ้นดีอีนอ่อนน้ำด 1.5 กิโลเบต ซึ่งเป็นส่วนของยีน *tsr* ออกจากเจลตามวิธีในข้อ 5.2 จากนั้นนำไปติดฉลากปอร์บตามวิธีในข้อ 5.7

#### 9.2.2 การทำ Southern blot hybridisation

นำโคโรโนมของสายพันธุ์กล้ายไปตัดด้วยเอนไซม์ตัดจำเพาะที่เหมาะสม แยกขนาดโดยของการแสดงผลอิเล็ก tro โฟร์เซ็สตามวิธีในข้อ 5.1 แล้วจึงนำไปทำ Southern blot hybridisation ตามวิธีในข้อ 5.7 ตรวจสอบชิ้นดีอีนเอที่มียีนเป้าหมาย ด้วยปอร์บที่เตรียมไว้ในข้อ 9.2.1 โดยเลือกใช้ปอร์บที่เหมาะสม

### 9.3 การตรวจสอบสายพันธุ์กล้ายด้วยการเลี้ยงบนอาหาร minimal medium (MM)

นำโโคโลนีสายพันธุ์กล้ายที่เจริญได้บนอาหารที่มียาปฏิชีวนะไปเลี้ยงในอาหารเหลว ตามข้อ 3.1 แบบเชือไส่หลอดขนาด 1.5 มิลลิลิตร ปริมาตร 500 ไมโครลิตร ปั่นเหวี่ยงที่ 12,000 รอบต่อนาที นาน 1 นาที ถ้างเซลล์ด้วยน้ำกกลั่นปริมาตร 500 ไมโครลิตร ทำซ้ำ 3 ครั้ง หลังจากนั้นเพิ่อบนอาหาร minimal medium (MM, 1L: 0.5g L-asparagine, 0.5g K<sub>2</sub>HPO<sub>4</sub>, 0.2g MgSO<sub>4</sub>.7H<sub>2</sub>O, 0.01g FeSO<sub>4</sub>.7H<sub>2</sub>O, 10g glucose, 10g agar; Kieser *et al.*, 2000) บ่มที่อุณหภูมิ 30 องศาเซลเซียส เป็นเวลา 2-5 วัน

### 9.4 การตรวจสอบการสังเคราะห์สารคลอ雷มฟินิคอลในสายพันธุ์กล้าย

#### 9.4.1 การตรวจสอบการเกิดวงใส (clear zone) ด้วยวิธี agar plug assay

นำสายพันธุ์กล้ายที่ต้องการตรวจสอบเกลี่ยลงบนอาหาร TSA ซึ่งมียาปฏิชีวนะ “โซโนสเตรปทอน” โดยบ่มที่อุณหภูมิ 30 องศาเซลเซียส เป็นเวลา 7 วันจะอาหารที่มีเชื้อเจริญอยู่ ด้วย cork borer เส้นผ่านศูนย์กลาง 5 มิลลิเมตร (agar plug) มาวางลงบนอาหารแข็ง LB ที่เททับด้วย *E.coli* JM109 ความเข้มข้น  $10^3$ - $10^4$  เชลล์ บ่มที่อุณหภูมิ 30 องศาเซลเซียส เป็นเวลา 1-2 วัน ตรวจสอบการเกิดวงใสเทียบกับ *S. venezuelae* สายพันธุ์ไวค์ไทย

#### 9.4.2 การตรวจสอบสารสกัดคลอ雷มฟินิคอลด้วยวิธี HPLC

##### 9.4.2.1 การสกัดสารจาก *S. venezuelae* และสายพันธุ์กล้าย

เลี้ยง *S. venezuelae* และสายพันธุ์กล้ายในอาหารเหลว GNY medium (1L: 20 ml glycerol, 8 g Nutrient broth, 3 g yeast extract, 5 g K<sub>2</sub>HPO<sub>4</sub>; Malik and Vining, 1970) ปริมาตร 10 มิลลิลิตร บ่มที่อุณหภูมิ 28 องศาเซลเซียส เป็นเวลา 24 ชั่วโมง ดูดเชือที่มีปริมาตร 2% v/v ลงในอาหาร GI medium (GNY medium, 3% glucose, 0.75% L-isoleusine; Chatterjee and Vining, 1982) ปริมาตร 25 มิลลิลิตร ในภาชนะปูมพู่ บ่มที่อุณหภูมิ 28 องศาเซลเซียส เก็บน้ำเลี้ยงที่ 7 วัน โดยนำมาปั่นเหวี่ยงที่ 8,500 รอบต่อนาที อุณหภูมิ 4 องศาเซลเซียส เป็นเวลา 30 นาที

สกัดสารจากน้ำเลี้ยงปริมาตร 5 มิลลิลิตร โดยเต้มเอธิลอะซิเตท (ethyl acetate) ปริมาตร 10 มิลลิลิตร เขย่าแล้วทิ้งให้แยกชั้น เก็บสารละลายส่วนบนมาจำจัน้ำออกโดยการเต้ม Sodium sulfate anhydrous จนอิ่มตัว (ตกตะกอนดี) ตั้งทิ้งไว้ที่อุณหภูมิห้องข้ามคืน กรอง sodium sulfate anhydrous ออกด้วยกระดาษกรอง Whatman เปอร์ 1 นำไประเหยเอธิลอะซิเตทออกโดยการทำ evaporation จนแห้ง ละลายตะกอนในเม็ดน้ำ 3:1 ปริมาตร 500 ไมโครลิตร เก็บรักษาที่ -20 องศาเซลเซียส

#### 9.4.2.2 การตรวจสอบสารสกัดโดยวิธี High Performance Liquid Chromatograph (HPLC) Photodiode Array Detector

วิเคราะห์สารสกัดด้วย HPLC Photodiode Array Detector ที่ 273 nm โดยใช้ ChromSep 5 C18 250x4.6 mm reverse-phase silica-gel column โดยใช้สภาวะ linear gradients ของเม็ดน้ำ 0-25 (v/v)% 1 นาที, 25-50 (v/v)% 3 นาที, 50-100 (v/v)% 1 นาที, เม็ดน้ำ 100% 10 นาที และปรับสภาวะให้กลับเป็นน้ำ 100% นาน 5 นาที โดยนีดสารสกัดปริมาตร 20 ไมโครลิตร ทำการเบรินയทีบันเอกซ์คอนจูเกนต์กับสายพันธุ์ไวค์ไฟป์ โดยทีบันความเข้มข้นของสารสกัดกับคลอเรนฟินิกอลามาตราฐาน

#### 10. สถานที่และระยะเวลาทำการวิจัย

ห้องปฏิบัติการวิจัย ภาควิชาพันธุศาสตร์ คณะวิทยาศาสตร์ มหาวิทยาลัยเกษตรศาสตร์ วิทยาเขตบางเขน ในระหว่างเดือนตุลาคม 2549 - สิงหาคม 2551

## ผลและวิจารณ์

### 1. การศึกษาสภาวะที่เหมาะสมสำหรับการเกิดคอนจูเกชันต่างสกุลระหว่าง *S. venezuelae* และ *E. coli* ET12567 (pUZ8002/pSET152)

ในการศึกษาการแสดงออกของยีนใน *S. venezuelae* โดยวิธียินดีสรับขั้นจะเลือกใช้วิธีส่งผ่านรีคอมบิแนนท์พลาสมิดเข้าสู่ *S. venezuelae* ด้วยวิธีการคอนจูเกชันต่างสกุล ซึ่งมีความจำเป็นที่จะต้องศึกษาสภาวะที่เหมาะสมสำหรับทำคอนจูเกชันระหว่าง *E. coli* ET12567 (pUZ8002) และ *S. venezuelae* ซึ่ง *E. coli* สายพันธุ์นี้ ขาดส่วนตัวในการเติมหมู่เมธิลที่เบสอะดีนีน และ เบสไซโตซีน (*dam*, *dcm*) (MacNeil *et al.*, 1992) เพื่อเป็นการลดการทำลายพลาสมิดที่ถูกนำเข้าสู่เซลล์ของ *Streptomyces* เนื่องจาก *Streptomyces* มีระบบ restriction และ modification ที่ใช้ในการทำลายดีเอ็นเอแปลกปลอม นอกจากนี้ *E. coli* ET12567 ยังมีพลาสมิด pUZ8002 ซึ่งเป็นพลาสมิดที่มีส่วนของกลุ่มยีน *tra* ทำหน้าที่ส่งถ่ายพลาสมิดอื่นที่มี *oriT* ไปยังเซลล์ผู้รับเมื่อเกิดการคอนจูเกชัน (Sia *et al.*, 1996) โดยการศึกษาริ้งนี้จะใช้พลาสมิด pSET152 เป็นพลาสมิดทดสอบในการส่งถ่ายจาก *E. coli* ET12567 ไปยัง *S. venezuelae*

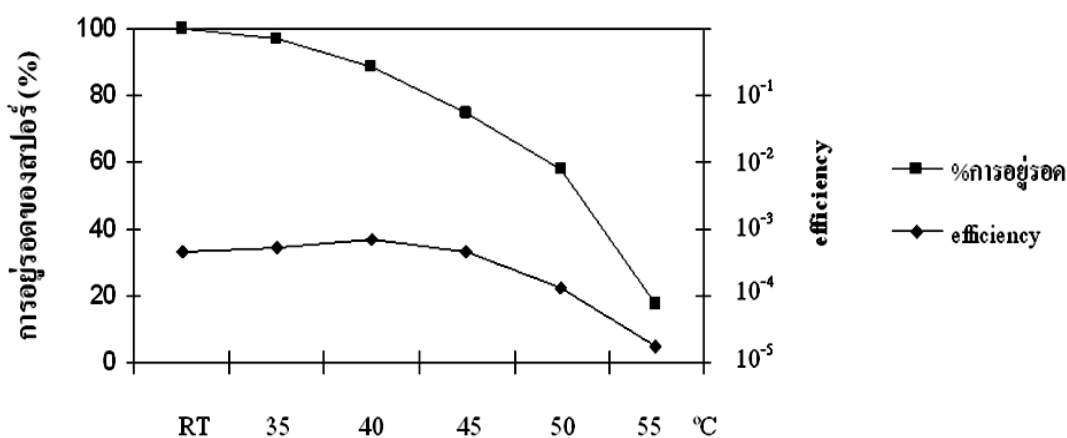
#### 1.1 การศึกษาอุณหภูมิที่เหมาะสมต่อการกระตุ้นการออกของสปอร์ของ *S. venezuelae*

ในการทำคอนจูเกชันนั้นขั้นตอนที่สำคัญขั้นตอนหนึ่งก่อนที่จะนำสปอร์ของ *S. venezuelae* ผสมเข้ากับเซลล์ของ *E. coli* คือการกระตุ้นให้เกิดการออกของสปอร์ (pre-germination) โดยวิธีการให้ความร้อน (Flett *et al.*, 1997) ที่อุณหภูมิที่เหมาะสม กล่าวคือ อุณหภูมิที่ใช้ในการกระตุ้นที่เหมาะสมนั้นต้องทำให้สปอร์ยังมีชีวิตอยู่ การทดลองนี้จึงต้องการหาอุณหภูมิที่เหมาะสมในการออกของสปอร์ *S. venezuelae*

ศึกษาอุณหภูมิในการกระตุ้นการออกของสปอร์ *S. venezuelae* ตามวิธีการในข้อ 6.1 โดยเมื่อใช้เวลาในการบ่มสปอร์เป็นเวลา 10 นาที แปรอุณหภูมิที่ 35, 40, 45, 50 และ 55 องศาเซลเซียสและที่อุณหภูมิห้อง (RT) เมื่อทำการทดลอง 2 ชั้มและหาค่าเฉลี่ยพบว่า การอยู่รอดของสปอร์เริ่มลดลงอย่างชัดเจนในระหว่างช่วงอุณหภูมิ 40 และ 45 องศาเซลเซียส (ภาพที่ 12) โดยลดลงจากการอยู่รอดที่ 88.7 เปอร์เซ็นต์ เป็น 74.6 เปอร์เซ็นต์ คาดว่าอุณหภูมิที่เหมาะสมในการกระตุ้นการออกของสปอร์จะอยู่ในช่วงนี้ โดยจากรายงานอุณหภูมิที่ใช้ในการกระตุ้นการออกของ

สปอร์ของ *Streptomyces* โดยทั่วไปจะอยู่ที่ 50 องศาเซลเซียส เช่น *S. lividans* (Mazodier et al., 1989) และ *S. coelicolor* (Kieser et al., 2000) แต่ที่อุณหภูมิ 50 องศาเซลเซียส การอยู่รอดของ สปอร์ *S. venezuelae* มีค่าเป็น 57.7 เบอร์เช็นต์ จึงเป็นอุณหภูมิที่ไม่เหมาะสม และอาจแสดงว่า สปอร์ของ *S. venezuelae* ทนต่อความร้อนได้ไม่ดี

เนื่องจากการบ่มทำให้การอยู่รอดของสปอร์ลดลง มีผลต่อจำนวนสปอร์มีชีวิตที่จะนำไปใช้ในการทำคอนจูเกชัน อุณหภูมิที่เหมาะสมสมจังควรเป็นอุณหภูมิที่ต่ำที่สุดที่สามารถกระตุ้น ให้เกิดการออกของสปอร์ได้ ซึ่งจากการศึกษาของ Kitani et al. (2000) พบว่าอุณหภูมิที่เริ่มทำให้ การอยู่รอดของสปอร์ลดลงสามารถกระตุ้นการออกของสปอร์ได้ ดังนั้นสำหรับ *S. venezuelae* อุณหภูมิที่เหมาะสมคือ บ่มที่อุณหภูมิ 40 องศาเซลเซียส เป็นเวลา 10 นาที ซึ่งเป็นสภาวะเดียวกับ *S. lavendulae* FRI-5 (Kitani et al., 2000) แต่แตกต่างจาก *S. lividans* (Mazodier et al., 1989) และ *S. coelicolor* (Kieser et al., 2000) ซึ่งบ่มที่อุณหภูมิ 50 องศาเซลเซียส เป็นเวลา 10 นาที ซึ่งการ กระตุ้นการออกของสปอร์นี้จะทำให้ประสิทธิภาพของการคอนจูเกชันต่างสกุลสูงขึ้น (Mazodier et al., 1989)



ภาพที่ 12 กราฟแสดงการอยู่รอดของสปอร์และประสิทธิภาพในการคอนจูเกชันเมื่อกระตุ้นการ ออกของสปอร์ที่อุณหภูมิต่างๆ

ประสิทธิภาพของการคุณวุ้นเกชันต่างสกุลระหว่าง *S. venezuelae* และ *E. coli*  
ET12567 (pUZ8002/pSET152)

การทดลองนี้จะทำการคุณวุ้นเกชันต่างสกุลโดยใช้ *E. coli* ET12567 (pUZ8002/pSET152) เป็นผู้ให้ ตามวิธีในข้อ 6.2 โดยศึกษาในสองสภาพะคือ การใช้สปอร์ของ *S. venezuelae* เป็นผู้รับ และใช้ในเชิงเลี่ยมของ *S. venezuelae* เป็นผู้รับ

ประสิทธิภาพของการคุณวุ้นเกชันโดยใช้สปอร์ของ *S. venezuelae* เป็นผู้รับ

การใช้สปอร์ของ *S. venezuelae* เป็นผู้รับ โดยมีความเข้มข้นสปอร์อยู่ในช่วง  $10^9$ - $10^{10}$  สปอร์ต่อมิลลิลิตร แล้วนำมาเจือจางให้มีความเข้มข้นอยู่ในช่วง  $10^5$ - $10^6$  สปอร์ นำไปกระตุ้นการออกของสปอร์โดยบ่มที่อุณหภูมิ 30, 35, 40, 45, 50 และ 55 องศาเซลเซียส เป็นเวลา 10 นาที หลังจากทำการคุณวุ้นเกชัน เมื่อคัดเลือกโคลนที่มีพลาสมิด pSET152 โดยการเททับด้วยยาปฏิชีวนะอะพราโนบัซิน นับจำนวนโคลนที่เจริญได้บนอาหาร และคำนวณประสิทธิภาพการคุณวุ้นเกชันต่างสกุล พบร่วมกับการทำการคุณวุ้นเกชันบนอาหาร TSA (Oxoid) ที่มี MgCl<sub>2</sub> 10 มิลลิโมลาร์ ให้ประสิทธิภาพสูงสุดเมื่อกระตุ้นการออกของสปอร์ที่ 40 องศาเซลเซียส มีประสิทธิภาพอยู่ในช่วง  $10^{-5}$ - $10^{-4}$  เอกซ์คอลนวุ้นแกนต์ต่อผู้รับ (ภาพที่ 12, ตารางที่ 5) ซึ่งมีค่าสูงกว่าคุณวุ้นเกชันต่างสกุลของ *E. coli* ET12567 (pUZ8002/pSET152) และ *S. lavendulae* FRI-5 โดยประสิทธิภาพบนอาหาร MS อยู่ในช่วง  $10^{-6}$  เอกซ์คอลนวุ้นแกนต์ต่อผู้รับ (Kitani *et al.*, 2000) โดยประสิทธิภาพจะลดลงเมื่ออัตราส่วนของผู้ให้ต่อผู้รับเพิ่มขึ้น ซึ่งอุณหภูมิและเวลาที่ใช้ในการกระตุ้นการออกของสปอร์นั้นมีผลต่อการคุณวุ้นเกชัน เช่นใน *S. lividans* พบร่วมกับการกระตุ้นสปอร์โดยบ่มที่ 50 องศาเซลเซียส เป็นเวลา 10 นาที ทำให้ประสิทธิภาพการคุณวุ้นเกชันสูงขึ้น 5-10 เท่า (Mozodier *et al.*, 1989) แต่ใน *S. virginiae* ซึ่งไม่ทนต่อความร้อน จะให้ประสิทธิภาพที่ดีเมื่อไม่มีการกระตุ้นการออกของสปอร์ด้วยความร้อน (Voeykova *et al.*, 1998) โดยประสิทธิภาพการส่งถ่าย พลาสมิด pSET152 เข้าสู่ *S. venezuelae* นั้นมีค่าใกล้เคียงกับการเกิดคอลนวุ้นเกชันของ pTO1 โดยใช้ *E. coli* S17-1 เข้าสู่ *Streptomyces* จำนวน 16 ถ่ายพันธุ์ มีประสิทธิภาพอยู่ในช่วง  $10^{-5}$ - $10^{-3}$  เอกซ์คอลนวุ้นแกนต์ต่อผู้รับ (Voeykova *et al.*, 1998)

**ตารางที่ 5 แสดงประสิทธิภาพของการคุณวุ่นเกชันโดยการต้มการอุ่นของสปอร์ *S. venezuelae*  
ผู้รับ ที่อุณหภูมิต่างๆ**

อุณหภูมิ (°C)	จำนวนสปอร์เริ่มต้น	ประสิทธิภาพของการคุณวุ่นเกชัน (เอกซ์คุณวุ่นแกนต์ต่อผู้รับ)
RT	$3.55 \times 10^5$	$4.5 \times 10^{-4}$
35	$3.45 \times 10^5$	$5.2 \times 10^{-4}$
40	$3.15 \times 10^5$	$6.9 \times 10^{-4}$
45	$2.65 \times 10^5$	$4.5 \times 10^{-4}$
50	$2.05 \times 10^5$	$1.27 \times 10^{-4}$
55	$6.25 \times 10^6$	$1.7 \times 10^{-5}$

ประสิทธิภาพของการคุณวุ่นเกชันโดยใช้ไนซีเลียมของ *S. venezuelae* เป็นผู้รับ

เลี้ยง *S. venezuelae* โดยใส่สารละลายน้ำ Tryptone soya broth (TSB สำเร็จรูป) ในอัตราส่วน 1:100 เบ่า 200 รอบต่อนาที ที่ อุณหภูมิ 28 องศาเซลเซียส เป็นเวลา 12, 24, 36 และ 48 ชั่วโมง ความเข้มข้นของไนซีเลียมที่นำมาใช้อยู่ในช่วง  $10^{10}-10^{11}$  เซลล์ต่อ มิลลิลิตร แล้วเจือจางให้มีความเข้มข้นอยู่ในช่วง  $10^5-10^6$  เซลล์ต่อ มิลลิลิตร หลังจากทำการคุณวุ่นเกชันโดยใช้วิธีการเช่นเดียวกับการคุณวุ่นเกชันโดยใช้สปอร์ และคำนวณประสิทธิภาพการคุณวุ่นเกชันต่างกัน พนว่าการทำการคุณวุ่นบนอาหาร TSA (Oxoid) ที่มี  $MgCl_2$  10 มิลลิโไมลาร์ มี ประสิทธิภาพอยู่ในช่วง  $10^{-5}-10^{-4}$  เอกซ์คุณวุ่นแกนต์ต่อผู้รับ (ตารางที่ 6) ซึ่งเหมือนกับการคุณวุ่นเกชันโดยใช้ไนซีเลียมของ *S. peucetius* ซึ่งสร้างสปอร์ได้ไม่ดี พนว่ามีประสิทธิภาพที่  $1.5 \times 10^{-4}$  เอกซ์คุณวุ่นแกนต์ต่อผู้รับ (Paranthaman and Dharmalingam, 2003) โดยการคุณวุ่นเกชันระหว่าง *E. coli* และ *S. venezuelae* ให้ประสิทธิภาพสูงสุดเมื่อใช้ไนซีเลียมที่อายุ 12-24 ชั่วโมง

ตารางที่ 6 แสดงประสิทธิภาพของการคุณวุ่นเกชันโดยใช้ไมซีเลิมของ *S. venezuelae* ที่อายุต่างกัน

อายุเชื้อ <sup>*</sup> (ชั่วโมง)	จำนวนเซลล์เริ่มต้น	ประสิทธิภาพของการคุณวุ่นเกชัน (เอกสารคุณวุ่นเกนต์ต่อผู้รับ)
12	$1.37 \times 10^5$	$6.07 \times 10^{-4}$
24	$3.55 \times 10^5$	$6.20 \times 10^{-4}$
36	$1.00 \times 10^6$	$5.80 \times 10^{-5}$
48	$1.45 \times 10^6$	$5.60 \times 10^{-5}$

เมื่อเปรียบเทียบประสิทธิภาพในการคุณวุ่นเกชันต่างสกุลโดยใช้สปอร์ของ *S. venezuelae* เป็นผู้รับ และใช้ไมซีเลิมของ *S. venezuelae* เป็นผู้รับ พบว่าประสิทธิภาพที่ได้ไม่ต่างกัน ( $10^{-4}$ ) เช่นเดียวกับการคุณวุ่นเกชันระหว่าง *S. fradiae* และ *E. coli* S17-1 (Bierman *et al.*, 1992) แต่การคุณวุ่นเกชันระหว่าง *S. toyocaensis* และ *E. coli* S17-1 พบว่าเมื่อใช้ไมซีเลิมในการคุณวุ่นเกชันจะมีประสิทธิภาพดีกว่าการใช้สปอร์ (Matsushima and Baltz, 1996) และพบว่าการคุณวุ่นเกชันโดยใช้ไมซีเลิมไม่ประสบความสำเร็จใน *S. natalensis* (Enriquez *et al.*, 2006)

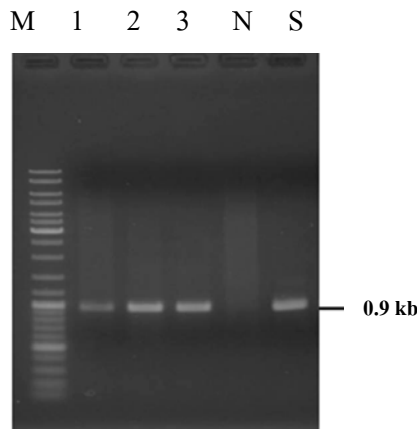
จากการทดลองนี้สามารถเลือกทำคุณวุ่นเกชันได้โดยใช้ห้องสปอร์โดยกระตุ้นการออกของสปอร์ที่อุณหภูมิ 40 องศาเซลเซียส เป็นเวลา 10 นาที และไมซีเลิมของ *S. venezuelae* เป็นผู้รับโดยเลี้ยงในสื่อเลี้ยงอายุ 12-24 ชั่วโมง อย่างไรก็ตาม การเตรียมสปอร์นั้นค่อนข้างยุ่งยากมากกว่าดังนั้นในการทดลองครั้งต่อไปจึงเลือกใช้ไมซีเลิมเป็นผู้รับ

#### การตรวจสอบเอกสารคุณวุ่นเกนต์

#### การตรวจสอบเอกสารคุณวุ่นเกนต์โดยวิธีพิชีอาร์

การตรวจสอบนี้จะตรวจสอบว่าพลาสมิด pSET152 ได้เข้าไปอยู่ในเอกสารคุณวุ่นเกนต์จริง โดยใช้วิธีพิชีอาร์ตรวจหาเยินต้านยาอะพรามัยซินที่อยู่บนพลาสมิด นำโคลนเอกสารคุณวุ่นเกนต์ที่เจริญได้บนอาหาร TSA ที่มียาปฎิชีวนะไปเลี้ยงในอาหารเหลว TSB ที่มียาปฎิชีวนะอะพรามัยซิน เพื่อสกัดดีเอ็นเอ แล้วนำดีเอ็นเอที่สกัดได้ไปตรวจสอบโดยการทำพิชีอาร์ เพิ่มปริมาณเยินที่ต้านยาปฎิชีวนะอะพรามัยซิน โดยใช้ไพรเมอร์ Apr C-1 และ AprC-2 (ตารางที่ 4) พบว่าได้ชิ้นดีเอ็น

ເອນາດ 900 ຄູ່ນບສ ຜຶ້ງເປັນຂະດາຕາມຕ້ອງການ ເມື່ອເປົ້າໃນທີ່ກັບການທຳພິຊີອາຮ້ອງ pSET152 ຜຶ້ງໃຊ້  
ເປັນ positive control ແລະ ໄມ່ພັນພົມກົມທີ່ພິຊີອາຮ້ອດັ່ງກ່າວໃນ *S. venezuelae* (ກາພທີ 13)



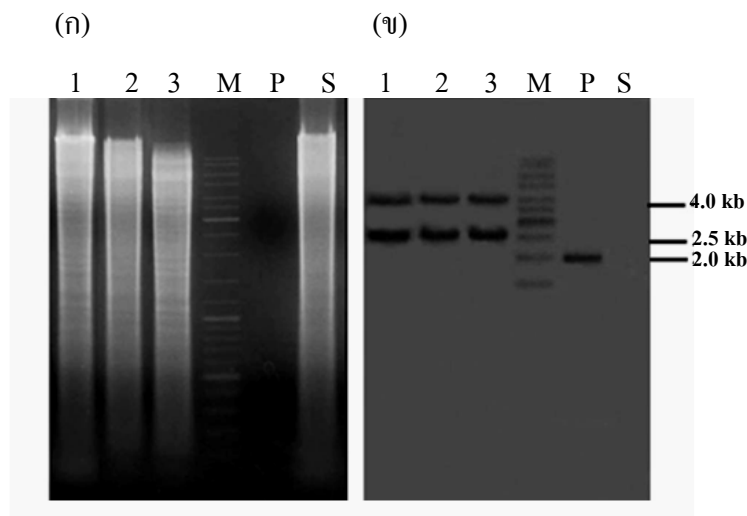
**ກາພທີ 13** ການຕຽບສອນເອກຫຼັກອນຈູແກນຕົວວິຊີພິຊີອາຮ້ ໂດຍການເພີ່ມປຣິມານຢືນທີ່ດ້ານຍາປຸງໃຈວະ  
ອະພຣາມຍື່ນ ດ້ວຍໄພຣເມອ້ວ Apr C-1 ແລະ AprC-2  
M = 1 kb DNA ladder, ແຄວ່າທີ່ 1-3 = ເອກຫຼັກອນຈູແກນຕົວ *S. venezuelae*,  
N = *S. venezuelae*, S = pSET152

#### ການຕຽບສອນເອກຫຼັກອນຈູແກນຕົວວິຊີ Southern blot hybridization

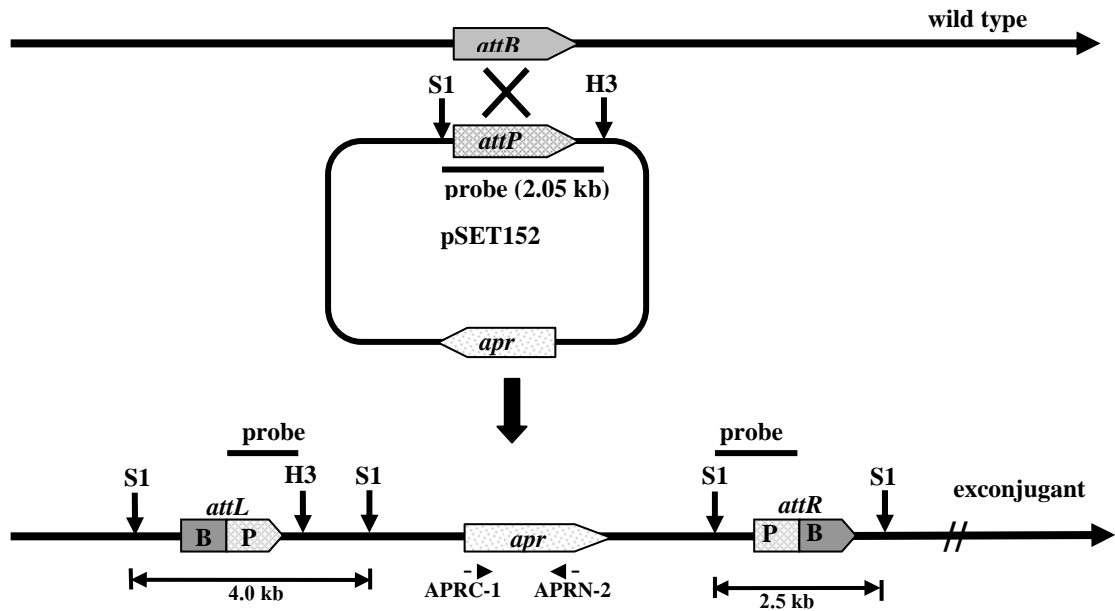
ເພື່ອຢືນການສ່າງຕໍ່ພລາສມືດ pSET152 ເຂົ້າໄປໃນ *S. venezuelae* ໂດຍການແທຮກ  
ຕົວເຂົ້າໄປໃນໂຄຣໂມໂໂໜມ ການທົດສອນນີ້ຈະນຳເອກຫຼັກອນຈູແກນຕົວທີ່ໄດ້ໄປຕຽບສອນຕົວວິຊີ Southern  
blot hybridisation ຕາມວິຊີໆຂໍ 5.7 ໂດຍໃຊ້ໄພຣບບຣິເວນ *attP* ຂອງພລາສມືດ pSET152 ໂດຍການຕັດພ  
ລາສມືດຕົວເອົາໃໝ່ *SacI* ແລະ *HindIII* ໄດ້ໄພຣບຂະດາ 2.05 ກິໂລບັສ

ພລຂອງ Southern blot hybridisation (ກາພທີ 14) ແສດງວ່າເອກຫຼັກອນຈູແກນຕົວ  
ທີ່ໄດ້ຮັບພລາສມືດ pSET152 ຜຶ້ງແທຮກຕົວເຂົ້າໄປໃນໂຄຣໂມໂໂໜມຈິງ ໂດຍມີຕັດຕົວຕົວເອົາໃໝ່ *SacI* ໃຫ້  
ແບນດີເອົ້າເວົ້າ 2 ແບນດີ້ອ່ານາດ 4.0 ແລະ 2.5 ກິໂລບັສ (ກາພທີ 14x ແຄວ່າທີ່1-3 ) ຂະໜາທີ່ *attP* ຂອງ pSET  
152 ທີ່ຕັດຕົວເອົາໃໝ່ *SacI* ແລະ *HindIII* ໃຫ້ແບນດີເອົ້າເວົ້າ 1 ແບນຂະດາ 2.05 ກິໂລບັສ ແສດງວ່າມີ  
ຕຳແໜ່ງຕັດຂອງ *SacI* ຮ່າງອອກໄປທາງດ້ານຊ້າຍແລະດ້ານຂວາງຂອງ pSET152 ທີ່ແທຮກຕົວອູ້ງ (ກາພທີ 15)  
ໂດຍຈາກການຕຽບສອນເອກຫຼັກອນຈູແກນຕົວພົບວ່າ ຮູ່ປະບົບຂອງ Southern blot hybridization ມີເພີ່ມຮູປ  
ເດືອນແສດງວ່າຕຳແໜ່ງການແທຮກຕົວຂອງພລາສມືດທີ່ເຂົ້າໄປໃນຕຳແໜ່ງ *attB* ບນໂຄຣໂມໂໂໜມເປັນ

ตำแหน่งเดียวกัน เช่นเดียวกับที่มีรายงานใน *S. lavendulae* (Kitani *et al.*, 2000) *S. toyocaensis* (Matsushima and Baltz, 1996) อย่างไรก็ตามจากการศึกษาของ Combes *et al.* (2002) แสดงว่า โครโนไซมของ *Streptomyces* มีตำแหน่ง *attB* ของ *oC31* อยู่ห่างตำแหน่ง แต่การที่ตรวจสอบพบ การแทรกตัวที่ตำแหน่งเดียวกันเสมอ นั้น เนื่องจากความถี่ในการแทรกตัวในแต่ละตำแหน่งมีความแตกต่างกัน โดยพบการแทรกที่ตำแหน่งแรกมากกว่าตำแหน่งที่ 2 ถึง 300 เท่า



**ภาพที่ 14** การตรวจสอบเอกสารคอนจูเกนต์ของ *S. venezuelae* ที่ได้รับพลาสมิค pSET152 ด้วย Southern blot hybridization โดยใช้ *attP* ที่ตัดด้วย *SacI* และ *HindIII* เป็นไฟรบ  
 (ก) อะก้าโรสเจลอิเล็ก tro โฟร์ซิสของโครโนไซมที่ตัดด้วยendon ไซม์ *SacI*  
 (บ) Southern hybridisation  
 M = 1 kb DNA ladder, แควรที่ 1-3 = เอกสารคอนจูเกนต์ที่ 1-3/*SacI*,  
 P = pSET152/*SacI/HindIII*, S = *S. venezuelae/SacI*

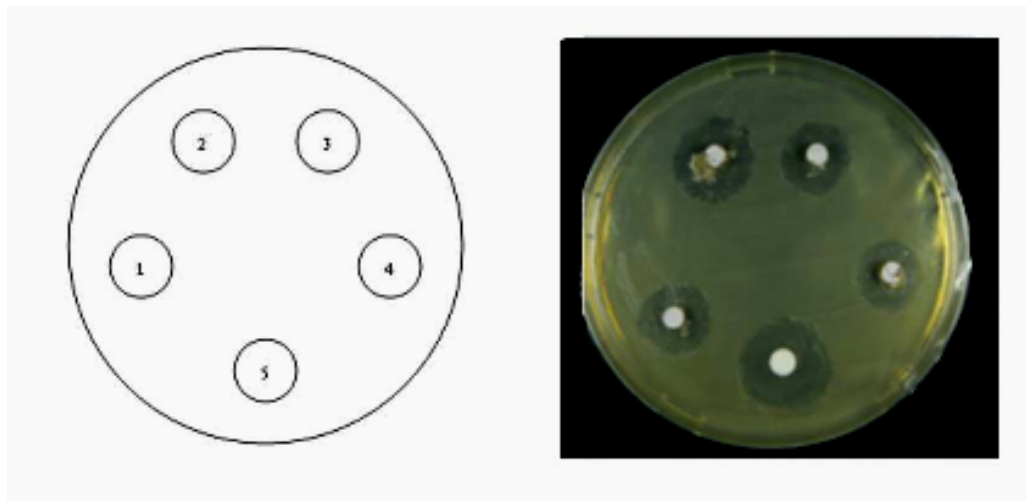


ภาพที่ 15 การแทรกตัวของพลาสมิค pSET152 เข้าไปในโครโนโซมของ *S. venezuelae*

*S1 = SacI H3 = HindIII, apr = ยีนต้านยาอะฟาร์มัชิน*

การตรวจสอบสัณฐานวิทยาและการสร้างคลอแรมฟินิคอลของเอกสารคอนจูเกนต์

จากการศึกษาสัณฐานวิทยาของเอกสารคอนจูเกนต์ ได้แก่ ลักษณะโโคโลนี สีของสปอร์บนอาหารแข็ง พบว่ามีลักษณะเหมือน *S. venezuelae* สายพันธุ์ไวค์ไทยปีทุกประการ เช่นเดียวกับการส่งถ่ายพลาสมิคเข้าสู่ *S. lavendulae* FRI-5 (Kitani *et al.*, 2002) และเมื่อนำเอกสารคอนจูเกนต์ไปทดสอบการสร้างคลอแรมฟินิคอล โดยวิธี agar plug assay ตรวจสอบการเกิดวงไสต์ต่อเชื้อ *E. coli* JM109 ที่ไวต่อคลอแรมฟินิคอล เปรียบเทียบกับสายพันธุ์ไวค์ไทยปี พบว่าเอกสารคอนจูเกนต์ยังคงสามารถสร้างคลอแรมฟินิคอลได้เหมือนสายพันธุ์ไวค์ไทยปี (ภาพที่ 16) แสดงว่าการแทรกตัวของพลาสมิคเข้าไปในโครโนโซมในตำแหน่ง *attB* ที่เกิดขึ้นนั้น ไม่มีผลต่อลักษณะทางฟิโนไทป์ของ *S. venezuelae* และไม่มีผลต่อการสังเคราะห์คลอแรมฟินิคอล ซึ่งต่างจากการแทรกตัวของพลาสมิค *pTO1* เข้าสู่ *Streptomyces* ที่มีผลต่อการสร้างยาปฏิชีวนะและการเจริญ (Voeykova *et al.*, 1998)



**ภาพที่ 16** การตรวจสอบการสร้างคลอเรมฟินิคอลต่อ *E. coli* JM109 ด้วยวิธี agar plug assay  
 1 = *S. venezuelae*, 2-4 = เอกซ์คอนจูแกนต์ที่ 1-3, 5 = paper disc ที่มีคลอเรมฟินิคอล  
 2 ไม่ได้รับการรับต่อ มีลักษณะ

## 2. การออกแบบและวิเคราะห์ยีน *aroE* ใน *S. venezuelae*

### 2.1 การออกแบบไพรเมอร์

ออกแบบไพรเมอร์ที่จำเพาะต่อยีน *aroE* โดยการรวบรวมลำดับกรดอะมิโนของยีน *aroE* ในแอคติโนมัยส์ที่มีอยู่ในฐานข้อมูล และนำลำดับกรดอะมิโนดังกล่าวมาทำ multiple alignment ด้วยโปรแกรม ClustalW 1.82 แล้วหาบริเวณอนุรักษ์ (conservative region) เพื่อออกแบบไพรเมอร์ พบว่ามีบริเวณอนุรักษ์ที่สามารถออกแบบไพรเมอร์เป็น forward และ reverse ได้ดังภาพที่ 18 โดยใช้บริเวณอนุรักษ์คือ DNTDIPG และ QVEQMTG ที่บริเวณ N-terminal และ C-terminal ตามลำดับ แล้วเปลี่ยนลำดับของกรดอะมิโนดังกล่าวเป็นลำดับนิวคลิโอล่า โดยเลือกใช้ codon usage ของ *Streptomyces* พบว่าสามารถออกแบบไพรเมอร์แบบ forward คือ ATT061F และไพรเมอร์แบบ reverse คือ ATT061R โดยมีลำดับนิวคลิโอล่าดังนี้

ATT061F      5' TTTAAGCTTGACAACACCGACATCCC(G/C)GG 3'

ATT061R      5' TTTGAATTCCCGGTCATCTGCTG(G/C)ACCTGG 3'

จากไพรเมอร์ ATT061F และ ATT061R ดังกล่าวได้เพิ่มตำแหน่งตัดของ.eno ไซม์ตัด  
จำเพาะ HindIII และ EcoRI เข้าไปที่ปลาย 5' ของไพรเมอร์ด้วยตามลำดับ

(ก)

Mycobacterium_tuberculosis	WRA-[DNTDIDG]	VAGALG----AAAGHALVLGSGGTAPAAVGLAELGVTD 143
Mycobacterium_bovis	WRA-[DNTDIDG]	VAGALG----AAAGHALVLGSGGTAPAAVGLAELGVTD 134
Streptomyces_coelecolor	RRTG[DNTDIPG]	IAAALREHGIEKVESAAILGAGATASSALAALARICTGE 127
Streptomyces_avermitilis	RRVG[DNTDIPG]	MVAALRERGIEQVDSAAILGAGATASSALAALARICTGE 150

Consensus	DNTDIPG
Nucleotide	5' GACAACACCGACATCCC(G/C)GG 3'

(ง)

Mycobacterium_tuberculosis	QAFA [QVEQFTG] LPAPREAMTCA-LAALD—269
Mycobacterium_bovis	QAFA [QVEQFTG] LPAPREAMTCA-LAALD—260
Streptomyces_coelecolor	QAVL [QVEQMTG] RAPAPLAAMRKAGEHALADR 255
Streptomyces_avermitilis	QAVL [QVEQMTG] RSPAPLDAMRRAGEHALAA- 277

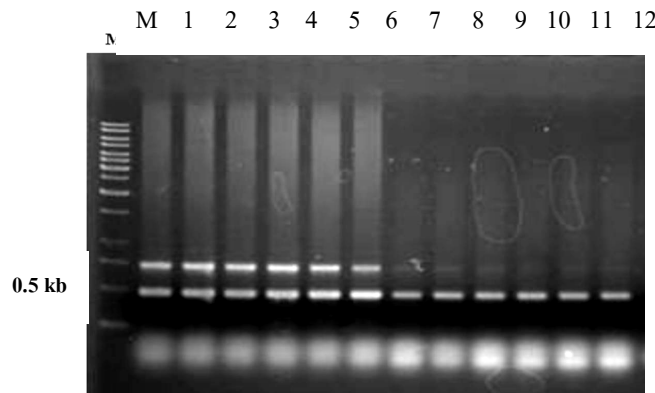
Consensus	QVEQMTG
Nucleotide	5' CAGGT(G/C)GAGCAGATGACCGG 3'
Reverse complement	5' CGGGTCATCTGCTG(G/C)ACCTGG 3'

### ภาพที่ 18 บริเวณอนุรักษ์ของ AroE ที่ใช้ในการออกแบบไพรเมอร์

(ก) บริเวณอนุรักษ์ N-terminal (ง) บริเวณอนุรักษ์ C-terminal

### 2.2 การเพิ่มปริมาณยีน *aroE*

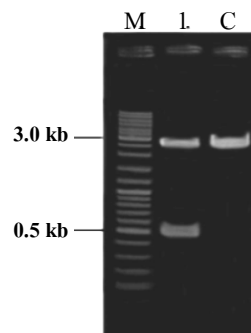
เพิ่มปริมาณยีน *aroE* จากโครโนไมซ์ของ *S. venezuelae* โดยการทำพีซีอาร์ ด้วยไพรเมอร์ ATT061F และ ATT061R ที่ออกแบบไว้ในข้อ 2.1 โดยใช้สภาวะตามวิธีข้อ 5.4 โดยทำ gradient PCR เพื่อหาอุณหภูมิ annealing ที่เหมาะสม โดยแปรอุณหภูมิ annealing ระหว่าง 55-65 องศาเซลเซียส พบว่าผลิตภัณฑ์พีซีอาร์ที่ได้มีແຄบดีเอ็นเอที่ต้องการขนาดประมาณ 500 คู่เบส พร้อมกับพบແຄบดีเอ็นเอที่ไม่จำเพาะ (non-specific) ที่มีขนาดใหญ่กว่า ແຄบดีเอ็นเอที่ไม่จำเพาะนี้ จะลดลงเมื่ออุณหภูมิ annealing เท่ากับ 61 องศาเซลเซียส ขึ้นไป แต่ขณะเดียวกันແຄบดีเอ็นเอขนาด 500 คู่เบสที่ต้องการนั้นมีความเข้มน้อยลงด้วย (ภาพที่ 18) ดังนั้นจึงเลือกอุณหภูมิ annealing ที่ 60 องศาเซลเซียส มาใช้ในการเพิ่มปริมาณยีน *aroE* จากโครโนไมซ์ของ *S. venezuelae*



ภาพที่ 18 ผลการทำพีซีอาร์ด้วยไพรเมอร์ ATT061F และ ATT061R จากโครโนไซมของ *S. venezuelae*

M = 1 kb DNA ladder, แควรที่ 1-12 = อุณหภูมิ annealing ที่ 55, 55.3, 55.9, 56.7, 57.8, 59.3, 61.0, 62.7, 63.5, 64.3, 64.8 และ 65 องศาเซลเซียส ตามลำดับ

จากนั้นสกัดผลิตภัณฑ์พีซีอาร์ขนาด 500 เบสจากเจลตามวิธีข้อ 5.2 แล้วตัดด้วยเอนไซม์ตัดจำเพาะ *Hind*III และ *Eco*RI ซึ่งจะตัดบริเวณปลายของชิ้นดีอี็นเอตามที่ได้ออกแบบไว้ที่ปลาย 5' ของไพรเมอร์ เสื่อมต่อชิ้นดีอี็นเอกับพลาสมิด *pUC18* ซึ่งตัดด้วยเอนไซม์ชนิดเดียวกันนำไปทรานสฟอร์มเข้าสู่ *E. coli* XL1-Blue ตรวจสอบโคลนที่ได้โดยการตัดด้วยเอนไซม์ตัดจำเพาะและแยกขนาดโดยอุปกรณ์เจลเลือกตัวอย่าง *pATT802* ให้ชื่อพลาสมิดว่า *pATT802* แล้วนำโคลนที่เลือกได้ไปหาลำดับเบสและเปรียบเทียบกับยีน *aroE* ที่มีในฐานข้อมูล



ภาพที่ 19 ผลการทดสอบโคลน *pATT802* ด้วยเอนไซม์ตัดจำเพาะ

M = 1 kb ladder, 1 = *pATT802/Eco*RI/*Hind*III, C = *pUC18/Eco*RI/*Hind*III

### 2.3 การวิเคราะห์ชิ้นดีเอ็นเอที่ได้จากการทำพีซีอาร์

นำพลาสมิด pATT802 ไปหาลำดับเบสโดยใช้ไฟรเมอร์ M13 forward ได้ลำดับเบสจำนวน 1,027 คู่เบส เมื่อวิเคราะห์แล้วพบว่าประกอบด้วยส่วนของพลาสมิด pUC18 และส่วนของยีน *aroE* เมื่อตัดส่วนของพลาสมิด pUC18 ออกพบว่าได้ยีน *aroE* ที่มีลำดับเบสขนาด 454 คู่เบส สามารถแปลงรหัสเป็นกรดอะมิโนขนาด 151 กรดอะมิโน (ภาพที่ 20, ภาคผนวก) เมื่อนำมาลำดับกรดอะมิโนที่ได้ไปเปรียบเทียบกับฐานข้อมูลโดยใช้โปรแกรม BlastP พบว่ามีความคล้ายคลึงกับยีน *aroE* ที่เกี่ยวข้องในการสังเคราะห์อนไซม์ shikimate dehydrogenase โดย 2 ลำดับแรกมีค่าความเหมือน (identity) สูงที่สุดที่ 76-77 เปอร์เซ็นต์ ซึ่งได้แก่ ยีน *aroE* ของ *S. avermitilis* MA-4680 (NP\_828029) และ *S. coelicolor* A3(2) (NP\_625778) จากความเหมือนนี้แสดงให้เห็นว่าชิ้นยีนที่ได้น่าจะเป็นบริเวณหนึ่งซึ่งอยู่ในยีน *aroE* ที่เกี่ยวข้องในการสังเคราะห์อนไซม์ shikimate dehydrogenase ของวิถี shikimate ใน *S. venezuelae*

```

1: CACACCGACATCCCCGGCATGCTGCCGTCTGCAGGAGCGCGGGCGTCAG
1: H T D I P G M L A V L R E R G V E

52: AAGGTGGAGTCGGCGGCATCCTCGGCGCCGGCGCCACCGCCTCCTCCGCC
18: K V E S A A I L G A G A T A S S A

103: GTGGCCGCCCTCGCCCGGATCTGCAGGCGGCCCGTCACCGCGTACGTCCGC
35: V A A L A R I C G G P V T A Y V R

154: AGCGAGGCGCGGGCCGAGGAGATGCGCGGCTGGGCGAGCGGCTCGCGTG
52: S E A R A E E M R G W G E R L G V

205: GACGTCCGCACCGCCCCCTGGGACGACGCGGCCGAGGCCCTCGCGTCCCCG
69: D V R T A P W D D A A E A F A S P

256: CTGGTCGTCGCGACCACCCCGCCGGCACACGAACGCCCTGGCCACCGCC
86: L V V A T T P A G T T N A L A T A

307: GTCCCGGACGCCGTGGCACCCCTTCTGACGTCCGTACGACCCCTGGCCCG
103: V P D A V G T L F D V L Y D P W P

358: ACGGCACTGGCCGGCCCTGGTCCGAACGCCGGCAAGGTGGTCGGCGG
120: T A L A A A W S E R G G K V V G G

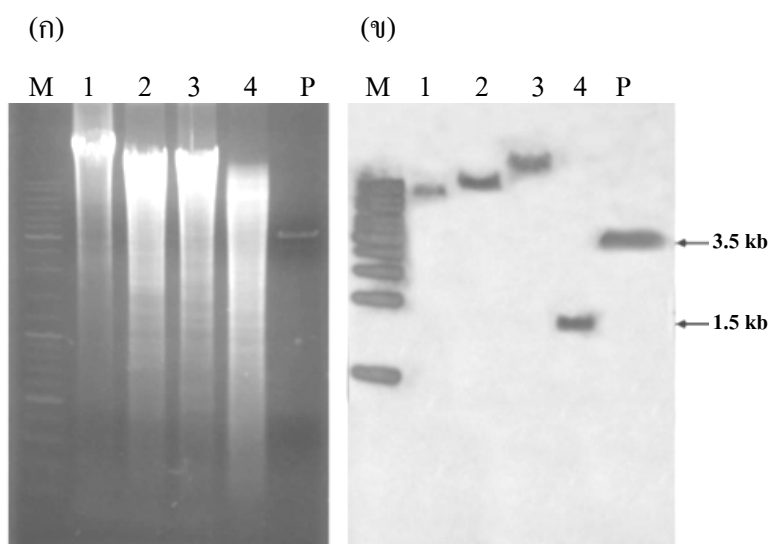
409: CTCGACCTCCTGGTCCACCAGGCGGCCTCCAGGTGAGCAGATGA
137: L D L L V H Q A V L Q V E Q M

```

ภาพที่ 20 ลำดับเบสและลำดับกรดอะมิโนของยีน *aroE* จาก *S. venezuelae* ในพลาสมิด pATT802

## 2.4 การตรวจหายีน *aroE* ด้วย Southern blot hybridization

ตัดคีอีนของ *S. venezuelae* ด้วยเอนไซม์ *SacI*, *PstI*, *BamHI* และ *KpnI* แล้วทำอะก้าโรสเจลオリเอ็ค tro-ฟอร์ซิส (ภาพที่ 21 ก) นำพลาสมิด *pATT802* ที่มีส่วนของยีน *aroE* มาตัดด้วยเอนไซม์ตัดจำพวก *HindIII* และติดฉลากตามวิธีข้อ 5.7 เพื่อเตรียม/probe ในการติดตามยีน *aroE* เมื่อทำ Southern blot hybridisation แล้วพบว่าได้สัญญาณจากແบดคีอีนของ *S. venezuelae* ที่ตัดด้วย *SacI*, *PstI* และ *BamHI* ขนาดประมาณ 1.5 kb โลเบลส์, 6 kb โลเบลส์ และขนาดมากกว่า 10 kb โลเบลส์ ตามลำดับ (ภาพที่ 21) ขณะที่คีอีนของ *pATT802* ที่ตัดด้วยเอนไซม์ *KpnI* ให้ແบดคีอีนมากกว่า 10 kb โลเบลส์



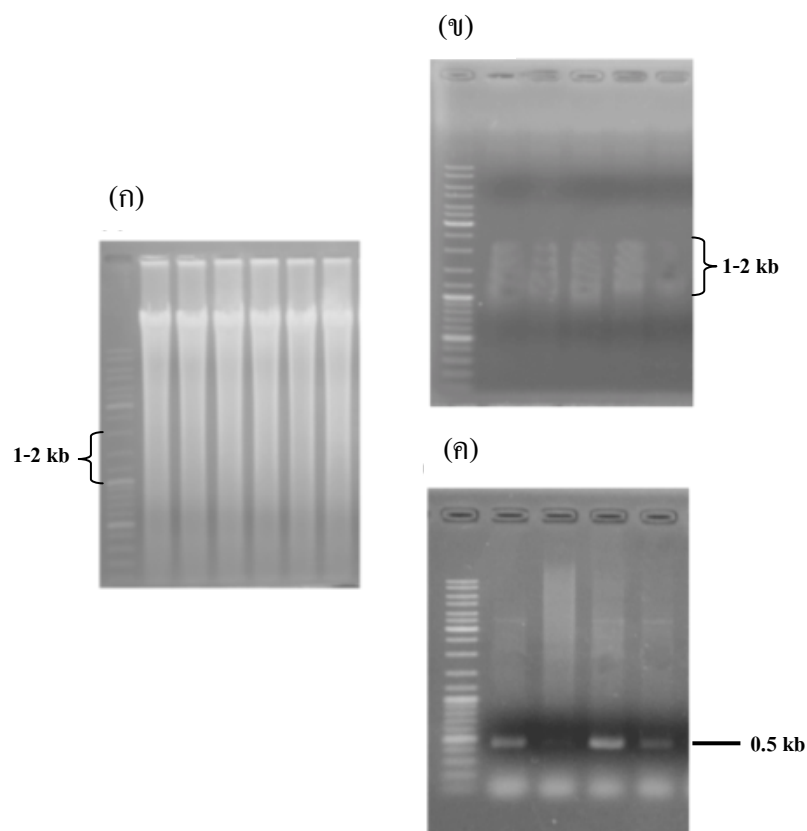
**ภาพที่ 21** การตรวจหายีน *aroE* ของ *S. venezuelae* ด้วยวิธี Southern blot hybridisation โดยใช้ *pATT802* ที่ตัดด้วย *HindIII* เป็น probe  
 (ก) อะก้าโรสเจลオリเอ็ค tro-ฟอร์ซิส ของโครโนซมของ *S. venezuelae* ที่ตัดด้วยเอนไซม์ตัดจำพวก (ข) Southern hybridization

M = 1 kb DNA ladder, 1 = *S. venezuelae/PstI*, 2 = *S. venezuelae/BamHI*,

3 = *S. venezuelae/KpnI*, 4 = *S. venezuelae/SacI*, P = *pATT802/HindIII*

## 2.5 การ โคลนยิน *aroE*

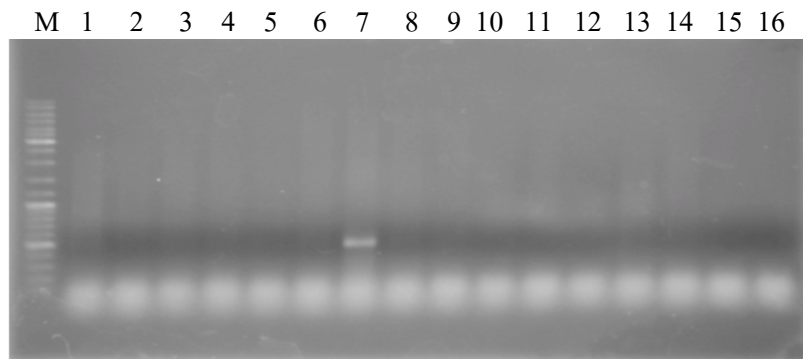
เลือกโคลนชิ้นดีอีนเอของ *S. venezuelae* ที่ตัดด้วยเอนไซม์ SacI ขนาดประมาณ 1.5 กิโลเบส จากผลสัญญาณ Southern blot hybridisation โดยตัดโครโนไมโครชิ้นของ *S. venezuelae* ใหม่ ด้วยเอนไซม์ดังกล่าว (ภาพที่ 22 ก) และสกัดແเกบดีอีนเอดังกล่าวออกจากเจล (ภาพที่ 22 ข) และ ตรวจสอบดีอีนเอที่สกัดได้โดยการทำพีซีอาร์ด้วยไพรเมอร์ ATT061F และ ATT061R ซึ่งพบว่าดี อีนเอที่สกัดได้มีส่วนของยีน *aroE* อยู่ (ภาพที่ 22 ค) จึงได้นำดีอีนเอที่สกัดได้นั้นไปสร้าง library โดยการโคลนเข้าพลาสมิด pJET1.2 blunt ตรวจสอบ library ทั้งหมด 1,023 โคลนโดยการเลี้ยง โคลนแบบ pool ที่ละ 10 โคลน แล้วสกัดพลาสมิดทั้ง pool เพื่อรวมกัน แล้วจึงตรวจสอบแต่ละ pool โดยการทำพีซีอาร์ด้วยไพรเมอร์ ATT061F และ ATT061R (ภาพที่ 23) ที่จำเพาะต่อยีน *aroE* พบว่า pool ที่ 7 ได้ผลิตภัณฑ์พีซีอาร์ขนาด 500 คู่เบส แสดงว่ามีโคลนที่มียีน *aroE* อยู่



ภาพที่ 22 การสกัดແบนดีเอ็นเอที่มียีน *aroE* และตรวจสุ่นโดยวิธีพิชีอาร์

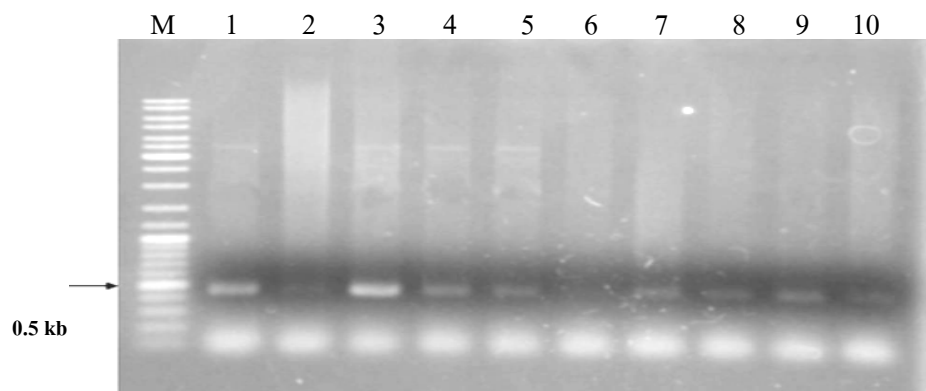
(ก) ดีเอ็นเอของ *S. venezuelae* ตัดด้วยเอนไซม์ SacI (ป) และดีเอ็นเอที่สกัดออกจากเจลขนาด 1-2 กิโลเบส (ค) ผลิตภัณฑ์พีซีอาร์ด้วยไพรเมอร์ ATT061F และ ATT061R

นำ library pool ที่ 7 ทั้ง 10 โคลนมาแยกเลี้ยง และสกัดพลาสมิดใหม่เพื่อทำพีซีอาร์ต์ตรวจสอบยืนยัน *aroE* อีกครั้งว่าอยู่ในโคลนใด ซึ่งพบว่าได้โคลนที่มียืนยัน *aroE* อยู่เกือบทุกโคลน โดยเลือกโคลนที่ให้ผลของพีซีอาร์ชัดเจนที่สุด (ภาพที่ 24 ช่องที่ 3) ไปหาลำดับเบส โดยตั้งชื่อโคลนว่า pATT804



ภาพที่ 23 ตรวจสอบ DNA library ที่มียืนยัน *aroE* โดยวิธีสกัดพลาสมิดแบบ pool ด้วยการทำพีซีอาร์

M = 1 kb DNA ladder, 1 = clone 161-170, 2 = clone 171-180, 3 =clone 181-190, 4 = clone 191-200, 5 = clone 201-210, 6 = clone 211-220, 7 = clone 221-230, 8 = clone 231-240, 9 = clone 241-250, 10 = clone 251-260, 11 = clone 261-270, 12 = clone 271-280, 13 = clone 281-290, 14 = clone 291-300, 15 = clone 301-310, 16 = clone 311-320



ภาพที่ 24 ตรวจสอบโคลนจากพลาสมิด pool ที่ 7 โดยวิธีพีซีอาร์ด้วยไพรเมอร์ ATT061F และ ATT061R โคลนที่มียืนยัน *aroE* ให้ผลิตภัณฑ์พีซีอาร์ ขนาด 500 คู่เบส

## 2.6 การหาลำดับเบสและวิเคราะห์ยีน *aroE* จาก *S. venezuelae*

หาลำดับเบสของโคลน pATT804 โดยใช้โปรแกรม ATT061F ได้ลำดับบนภาค 836 มีลำดับเบสส่วนของยีน *aroE* ขนาด 525 คู่เบส สามารถแปลงรหัสเป็นกรดอะมิโนขนาด 175 กรดอะมิโน โดยได้ในส่วนของ stop codon ของยีน และดูว่าได้ยืนครบทาง C-terminal นอกจากนั้นยังพบส่วนของยีน *aroC* ที่ใช้ในการสังเคราะห์เอนไซม์ chorismate synthase ในวิถี shikimate ถัดออกไปจาก stop codon ของยีน *aroE* 143 คู่เบส (ภาพที่ 25, ภาคผนวก) เมื่อนำลำดับกรดอะมิโนที่ได้ไปเปรียบเทียบกับฐานข้อมูลโดยใช้โปรแกรม BlastP พบว่ามีความคล้ายคลึงกับยีน *aroE* ที่เกี่ยวข้องในการสังเคราะห์เอนไซม์ shikimate dehydrogenase ซึ่งมีค่าความเหมือน (identity) กับ AroE ในฐานข้อมูล ซึ่งได้แก่ *S. pristinaespiralis* ATCC 25486 (YP\_002197227), *S. clavuligerus* ATCC 27064 (ZP\_03183927), *S. griseus* subsp *griseus* NBRC 13350 (YP\_001827549), *S. coelicolor* A3(2) (NP\_625778), *S. avermitilis* MA-4680 (NP\_828029), *S. svicetus* ATCC 29083 (YP\_002204773), *Salinispora tropica* CNB-440 (YP\_001158671) และ *Mycobacterium tuberculosis* H37Rv (NP\_217068) โดยมีค่าความเหมือนเท่ากับ 83, 81, 79, 78, 77, 77, 47 และ 39 เปอร์เซ็นต์ ตามลำดับ

```

aroE →
1: CACACCGACATCCCCGGCATGCTGCCGTCCCTGCAGGAGCGCGGGCGTCAG
1: H T D I P G M L A V L R E R G V E

52: AAGGTGGAGTCGGCGGCATCCTCGGCGCCGGCGCCACCGCCTCCCGCC
18: K V E S A A I L G A G A T A S S A

103: GTGGCCGCCCTCGCCCGGATCTGCAGGCGGCCCGTCACCGCGTACGTCCGC
35: V A A L A R I C G G P V T A Y V R

154: AGCGAGGCGCGGGCCGAGGAAGATGCAGGCGCTGGGCGAGCGGCTCGCGTG
52: S E A R A E E M R G W G E R L G V

205: GACGTCCGCACCGCCCCCTGGGACGACGCCGAGGCCCTCGCGTCCCCG
69: D V R T A P W D D A A E A F A S P

256: CTGGTCGTCGCGACCACCCCGCCGGCACACGAACGCCCTGGCCACCGCC
86: L V V A T T P A G T T N A L A T A

307: GTCCCGGACGCCGTGGCACCCCTTCGACGTCTGTACGACCCCTGGCCG
103: V P D A V G T L F D V L Y D P W P

```

ภาพที่ 25 ลำดับเบสและลำดับกรดอะมิโนของยีน *aroE* จาก *S. venezuelae* ในพลาสมิด pATT804

358: ACGGCACTGGCCGCGGCCCTGGTCCGAACGCGCGCAAGGTGGTCGGCGC  
 120: T A L A A W S E R G G K V V G G  
  
 409: CTCGACCTCCTGGTCCACCAGGC GG CCT CCAGGTCGAGCAGATGACGGC  
 137: L D L L V H Q A V L Q V E Q M T G  
  
 460: GTCCCCAAGGC GCG CT CGCCGCCATGCGCGCCGCGGGGGAGCGGGGC  
 154: V P K A P L A A M R A A G G A G R  
  
 511: TCGCCGCCCCGCTAGGC GCCC GAAGACCCCGCAGAAGGCGACCGGACGTC  
 171: S P P R \*  
  
 562: CGACAGCTGGACCAGGGGGCGAGGTAGCCGCCGGACGTGGAGGATCGG  
  
 613: GATGGCGGGCCAGGGCCCGCACC CGT CGCC CGT CGCAGTACCCAGGCG  
*aroC*  
 664: CGAGCATGAGGAGCATCGTGAGCAGTTGC GTTGGCTGACCGCTGGGAAT  
 1: M R S I V E Q L R W L T A G E S  
  
 715: CCCACGACCCCGCGCTGGTCGCGACCCCTGGAGGGTCTTCCGGCCGACGTCC  
 17: H D P R W V A T L E G L P A D V P  
  
 766: CGGTCCACCACAGAGCTGGTGGCGGACTACCTCGCGCTGCGACGCTTCGC  
 34: V H H R A G G G L P S R C D A S L  
  
 817: TATGGGCCCGGC GCCCCGAA  
 51: W A R R P E

### ภาพที่ 25 (ต่อ)

เมื่อเปรียบเทียบลำดับกรดอะมิโน AroE ของ *S. venezuelae* กับ AroE จากฐานข้อมูลพบว่ามีบริเวณอนุรักษ์ที่ปริเวณ Gln26-Ala 31 (Gln 124-Ala129 ของ *M. tuberculosis*) โดยมีลำดับเป็น G/A-XGGTA (ภาพที่ 26) โดย Ala125 และ Ala128 ของ *M. tuberculosis* จะจับกับ adenine ribose และ diphosphate ของ NADP (Padyana and Burley, 2003) โดยมีรายงานว่าที่บริเวณอนุรักษ์ที่ปริเวณ Gln61-Lys69 ของ *M. tuberculosis* มีลำดับเป็น GXSXTMPXK เป็นบริเวณ active site (Padyana and Burley, 2003) และพบบริเวณ Ser18, Ser20, Lys69, Asn90, Thr104, Asp105 และ Gln243 (ของ *M. tuberculosis*) ที่เป็นบริเวณอนุรักษ์ โดยบริเวณนี้จะไปจับกับ nicotinamide ring ของ NADP (Fonseca *et al.*, 2006) นอกจากนี้ยังพบว่าบริเวณอนุรักษ์ที่เป็น catalytic site ที่ทำการเปลี่ยน dehydroshikimate เป็น shikimate ที่บริเวณ Lys69, Asn90, Asp105 และ Glu259 ของ *M. tuberculosis* (Zhang *et al.*, 2005)

ภาพที่ 26 การทำ multiple alignment ลำดับกรดอะมิโน AroE จาก *S. venezuelae* และ *Actinomyces*

จากข้อมูลข้างต้นแสดงให้เห็นว่าชิ้นโคลน pATT804 ที่นำมามีเคราะห์เป็นยีน *aroE* ที่เกี่ยวข้องกับการสังเคราะห์เอนไซม์ shikimate dehydrogenase ที่อยู่ในวิธี shikimate

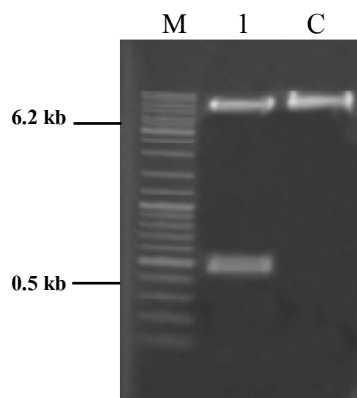
แผนการทดลองต่อไปจะศึกษาว่าชีนยิน *aroE* ที่โคลนได้เกี่ยวข้องกับการสังเคราะห์เอนไซม์ shikimate dehydrogenase โดยทำให้เกิดการกลایของยินด้วยการทำเย็นดิสร์บชันของยิน

*aroE* ใน *S. venezuelae* ซึ่งเป็นแบคทีเรียที่สามารถผลิตยาปฏิชีวนะคลอ雷มฟินิคอล เพื่อจุดผลกระทบของการถลายต่อวิตามิน shikimate และการผลิตคลอ雷มฟินิคอล

### 3 การศึกษาหน้าที่ของยีน *aroE* ของ *S. venezuelae* ด้วยวิธียืนดิสรับชัน

#### 3.1 การสร้างพลาสมิดสายพสມเพื่อทำยีนดิสรับชัน

พลาสมิดสายพสມสำหรับทำยีนดิสรับชัน สร้างโดยการเชื่อมชิ้น *aroE* ขนาด 500 คู่เบส ที่ตัดด้วยเอนไซม์ *EcoRI* และ *HindIII* จากพลาสมิด pATT802 กับพลาสมิด pSET151 ที่ตัดด้วยเอนไซม์ชนิดเดียวกัน ได้เป็นพลาสมิด pATT803 ตรวจสอบโคลนที่ได้ด้วยการตัดด้วยเอนไซม์ *EcoRI* และ *HindIII* (ภาพที่ 27) จากนั้นเจาะร้านสฟอร์มเข้าสู่ *E. coli* ET12567(pUZ8002) ซึ่งเป็นผู้ให้สำหรับทำคอนจูเกชัน



ภาพที่ 27 ผลการทดสอบโคลน pATT803 ด้วยเอนไซม์ตัดจำเพาะ

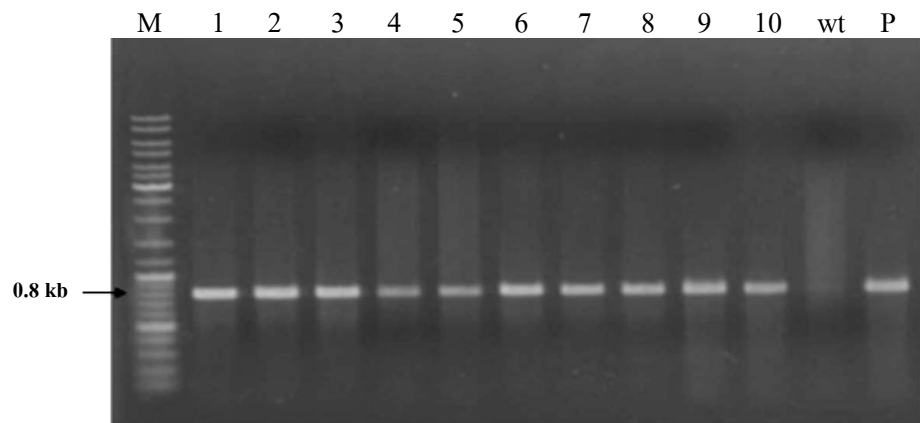
M = 1 kb DNA ladder, 1 = pATT803/*EcoRI/HindIII*, C = pSET151/*EcoRI/HindIII*

#### 3.2 การตรวจสอบสายพันธุ์ถักรายด้วยวิธีพีซีอาร์

##### 3.2.1 การตรวจสอบด้วยวิธีพีซีอาร์โดยไพรเมอร์สำหรับยีนต้านยาไฮโลสเตรปทอ�

สุ่มเลือกสายพันธุ์ถักรายมาทั้งหมด 10 โคลน แล้วนำมายีดบนอาหาร MS ที่มียาปฏิชีวนะไฮโลสเตรปทอ� และกรดนาลิดิซิก เพื่อคัดเลือก แล้วนำสายพันธุ์ถักรายมาสกัดดีเอ็นเอ แล้วนำมาทำพีซีอาร์ด้วยไพรเมอร์ ATT012 และ ATT013 (ตารางที่ 4) ซึ่งจำเพาะต่อยีนต้านยา

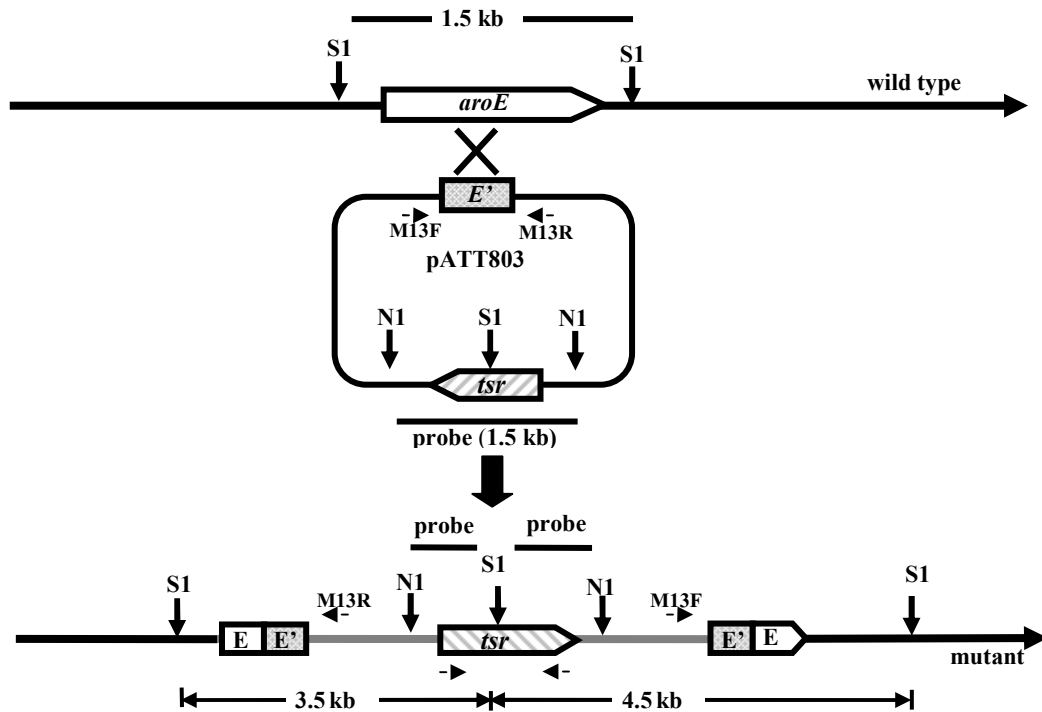
ไซโอสเตรปทอน ซึ่งอยู่บนพลาสมิด pATT803 พบว่าสายพันธุ์กลาหยัง 10 โคลน มียีน *tsr* แทรกอยู่โดยให้ผลิตภัณฑ์พีซีอาร์ขนาด 800 คู่เบส (ภาพที่ 28) แสดงว่าพลาสมิด pATT803 อยู่ในเอกสารคอนจูเกนต์ทั้งหมด



ภาพที่ 28 ตรวจสอบสายพันธุ์กลาหยโดยการเพิ่มปริมาณยีนด้านยาไซโอสเตรปทอนด้วยวิธีพีซีอาร์  
M = 1 kb DNA ladder, 1-10 = สายพันธุ์กลาหยที่ 1-10, wt = *S. venezuelae*  
P = pATT803

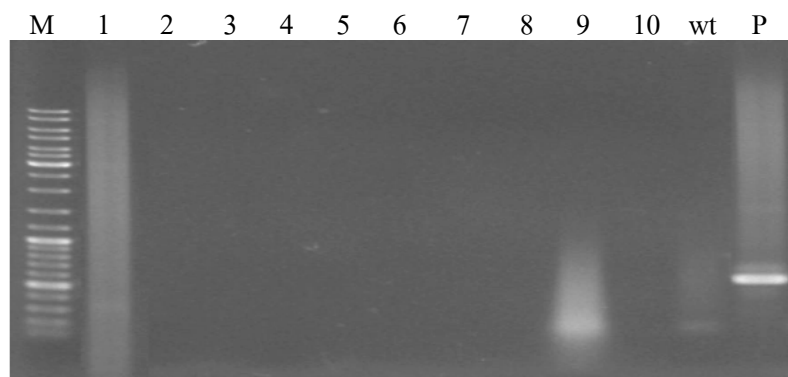
### 3.2.2 ตรวจสอบโดยใช้ไฟรเมอร์ ของ M13 forward และ M13 reverse

เพื่อยืนยันว่ามีการแทรกตัวของพลาสมิดในโครโนไซมของสายพันธุ์กลาหยจริง เลือกใช้ไฟรเมอร์ M13 forward และ M13 reverse ใน การเพิ่มปริมาณ โดยไฟรเมอร์คู่นี้จะไม่สามารถทำปฏิกิริยาพีซีอาร์ได้ในกรณีที่พลาสมิด pATT803 แทรกเข้าไปอยู่ในโครโนไซมที่ตำแหน่ง *aroE* โดยการเกิด homologous recombination กับ *aroE* บนโครโนไซม (ภาพที่ 29) ผลการทำพีซีอาร์ไม่พบผลิตภัณฑ์พีซีอาร์ในสายพันธุ์กลาหยที่สุ่มตรวจทุกตัว แต่พบในพลาสมิด pATT803 (ภาพที่ 30) ซึ่งเป็นการยืนยันเบื้องต้นว่ามีการแทรกตัวของพลาสมิด pATT803 ในโครโนไซมของ *S. venezuelae* จริง



ภาพที่ 29 แผนภาพแสดงการแทรกตัวของพลาสมิด *pATT803* ในโครโน้มของสายพันธุ์กลาบที่ตำแหน่งยีน *aroE*

*S1* = *SacI*, *N1* = *NdeI*, *M13F* = ไพรเมอร์ M13 forward, *M13R* = ไพรเมอร์ M13 reverse, *tsr* = ยีนต้านยาไนโตรสเตรปทอฟ, *E'* = *aroE* 500 คู่เบส



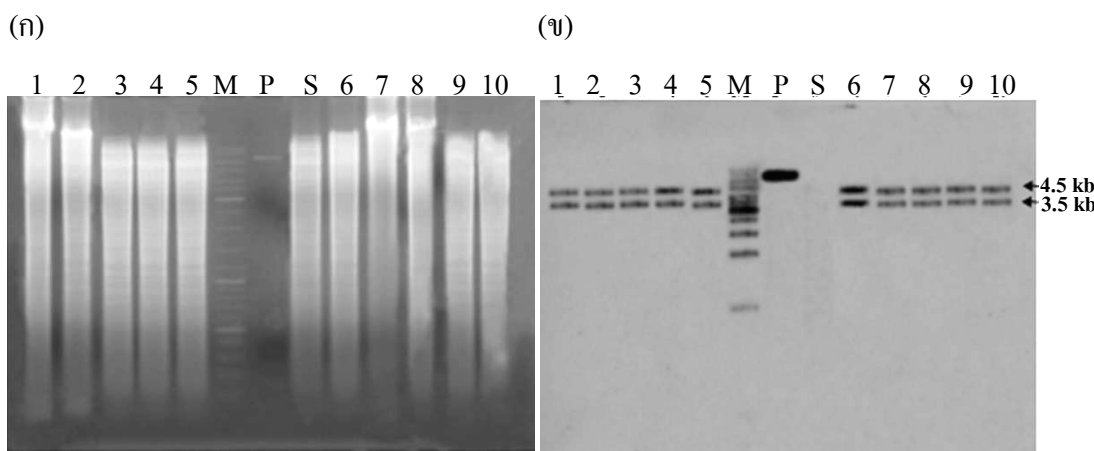
ภาพที่ 30 ตรวจสอบเอกสาร์ค่อนจูแกนต์โดยวิธีพีซีอาร์โดยใช้ไพรเมอร์ M13 forward และ M13 reverse

M = 1 kb DNA ladder, 1-10 = เอกสาร์ค่อนจูแกนต์ 1-10, wt = *S. venezuelae*,

P = *pATT803*

### 3.3 การตรวจสอบสายพันธุ์กล้ายโดย Southern blot hybridisation

ตรวจสอบสายพันธุ์กล้ายว่ามีการแทรกตัวของพลาสมิด pATT803 เข้าไปที่ตำแหน่งยีน *aroE* ในโครโนไซมของ *S. venezuelae* อุ่งริง โดยนำพลาสมิด pSET151 มาตัดด้วยเอนไซม์ *NdeI* โดยเลือกแบบที่มีขนาด 1.5 กิโลเบส ที่เป็นส่วนของยีน *tsr* มาใช้เป็น\_probe และตัดโครโนไซมของสายพันธุ์กล้ายด้วยเอนไซม์ *SacI* (ภาพที่ 31) เนื่องจากมีตำแหน่งตัดของเอนไซมนี้อยู่ในยีน *tsr* (ภาพที่ 29) แล้วทำ Southern blot hybridisation ด้วยprobeดังกล่าว พนบว่าให้สัญญาณแอบคีอีนเอ 2 แบบคือขนาด 3.5 และ 4.5 กิโลเบส (ภาพที่ 31 ข แถวที่ 1-10) ขณะที่ *tsr* ของพลาสมิด pATT803 ที่ตัดด้วยเอนไซม์ *SacI* ให้สัญญาณแอบคีอีนเอ 1 แบบขนาด 6.7 กิโลเบส แสดงว่าสายพันธุ์กล้ายได้รับพลาสมิด pATT803 โดยแทรกตัวเข้าไปที่ตำแหน่งยีน *aroE* บนโครโนไซม โดยมีตำแหน่งตัดของ *SacI* ห่างออกไปทางด้านซ้ายและด้านขวาของพลาสมิด (ภาพที่ 29) โดยจากการตรวจสอบสายพันธุ์กล้าย พนบว่ารูปแบบของการแทรกตัวของพลาสมิดมีเพียงรูปแบบเดียว แสดงว่าพลาสมิด pATT803 เกิด homologous recombination ที่ตำแหน่งยีน *aroE* เท่านั้น



ภาพที่ 31 การตรวจสอบสายพันธุ์กล้ายของ *S. venezuelae* ที่ได้รับพลาสมิด pATT803 ด้วย Southern blot hybridisation โดยใช้ยีน *tsr* เป็นprobe

(ก) อะก้าโรสเจลオリเย่ 8 โทร ไฟริชของโครโนไซมที่ตัดด้วยเอนไซม์ *SacI*

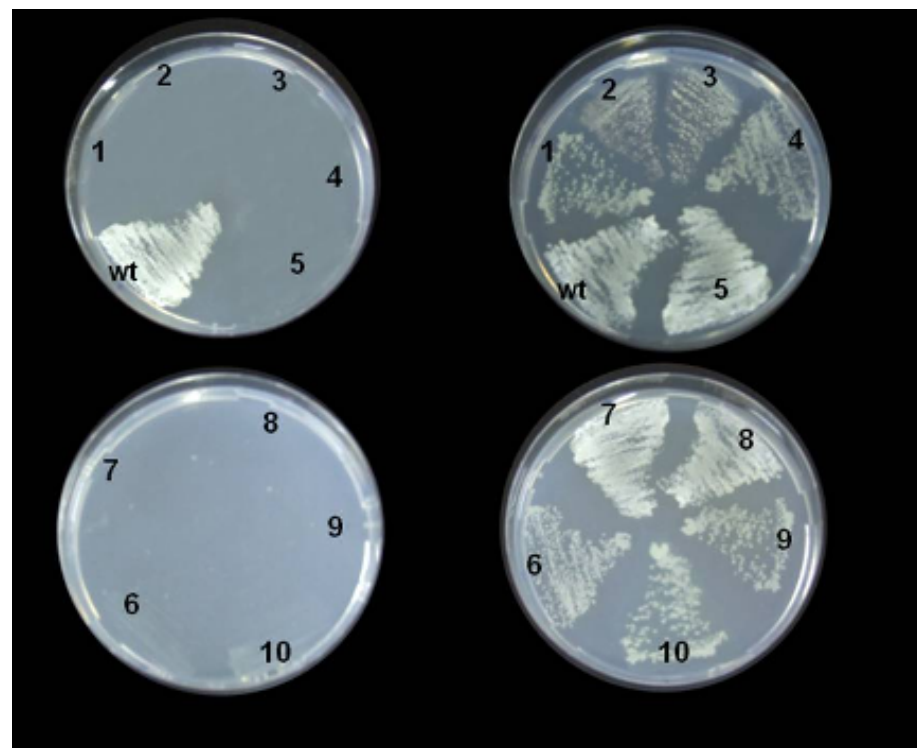
(ข) Southern blot hybridisation

M = 1 kb DNA ladder, 1-10 = สายพันธุ์กล้ายที่ 1-10/*SacI*, P = pATT803/*SacI*,

S = *S. venezuelae/SacI*

### 3.4 การตรวจสอบสายพันธุ์กล้ายบนอาหาร minimal medium

นำสายพันธุ์กล้ายทั้ง 10 โคลน มาเลี้ยงบนอาหาร minimal medium (MM) ที่มีและ ไม่มี กรดอะมิโนทริปโทเฟน ฟินิโลลานีน และ ไทโรซีน พบร่วมกับสายพันธุ์กล้ายไม่สามารถเจริญได้ใน อาหาร MM ที่ไม่มีกรดอะมิโน (ภาพที่ 32) แสดงว่าการแทรกตัวของพลาสมิด pATT803 เข้าไปใน โครโน่โชน มีผลต่อการเจริญของ *S. venezuelae* โดยที่ไปขัดขวางการแสดงออกของยีน *aroE* (ยีนคัดรับชัน) ไม่สร้างเอนไซม์ shikimate dehydrogenase เกิดการหยุดชะงักของวิตามิน *shikimate* ไม่มี การสร้างกรดอะมิโนทั้ง 3 ชนิด ทำให้สายพันธุ์กล้ายของ *S. venezuelae* ไม่สามารถเจริญบนอาหาร ที่ไม่มีกรดอะมิโนทั้ง 3 ชนิดได้



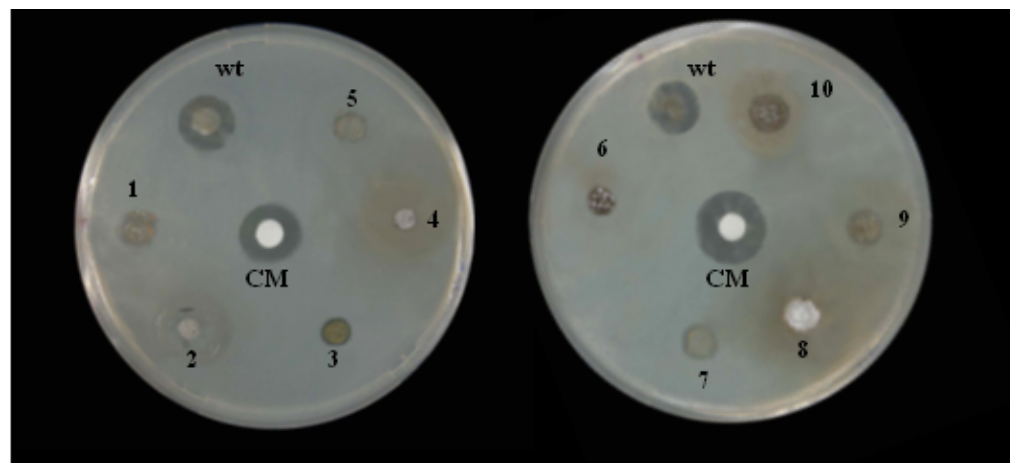
ภาพที่ 32 การตรวจสอบสายพันธุ์กล้ายในอาหาร MM ที่เติมกรดอะมิโน ทริปโทเฟน ฟินิโลลานีน และ ไทโรซีน (ขวา) และ ไม่เติมกรดอะมิโน (ซ้าย)

wt = *S. venezuelae*, 1-10 = สายพันธุ์กล้ายที่ 1-10

### 3.5 การตรวจสอบการสังเคราะห์สารคลอ雷เมฟินิคอลในสายพันธุ์กล้าย

#### 3.5.1 การตรวจสอบการเกิดวงใส (clear zone) ด้วยวิธี agar plug assay

เมื่อนำสายพันธุ์กล้ายของ *S. venezuelae* ไปทดสอบการสร้างคลอ雷เมฟินิคอลโดยวิธี agar plug assay ตรวจสอบการเกิดวงใสต่อเชื้อ *E. coli* JM109 ที่ໄວ่คลอ雷เมฟินิคอลเปรียบเทียบกับໄว่ค์ไทป์ พบร้าสายพันธุ์กล้ายไม่มีความสามารถในการสร้างคลอ雷เมฟินิคอล (ภาพที่ 33) แสดงว่าการเกิดยืนดิสรับชัน ของยีน *aroE* ใน วิธี shikimate นอกจากจะทำให้ไม่สามารถสังเคราะห์กรดอะมิโนทั้ง 3 ชนิดแล้ว สายพันธุ์กล้ายยังไม่สามารถสังเคราะห์คลอ雷เมฟินิคอลด้วย



ภาพที่ 33 การตรวจสอบการสร้างคลอ雷เมฟินิคอลโดยการเกิดวงใสของสายพันธุ์กล้ายต่อ *E. coli* JM109 ด้วยวิธี agar plug assay  
wt = *S. venezuelae*, CM = paper disc ที่มีคลอ雷เมฟินิคอล 2 ไมโครกรัม,

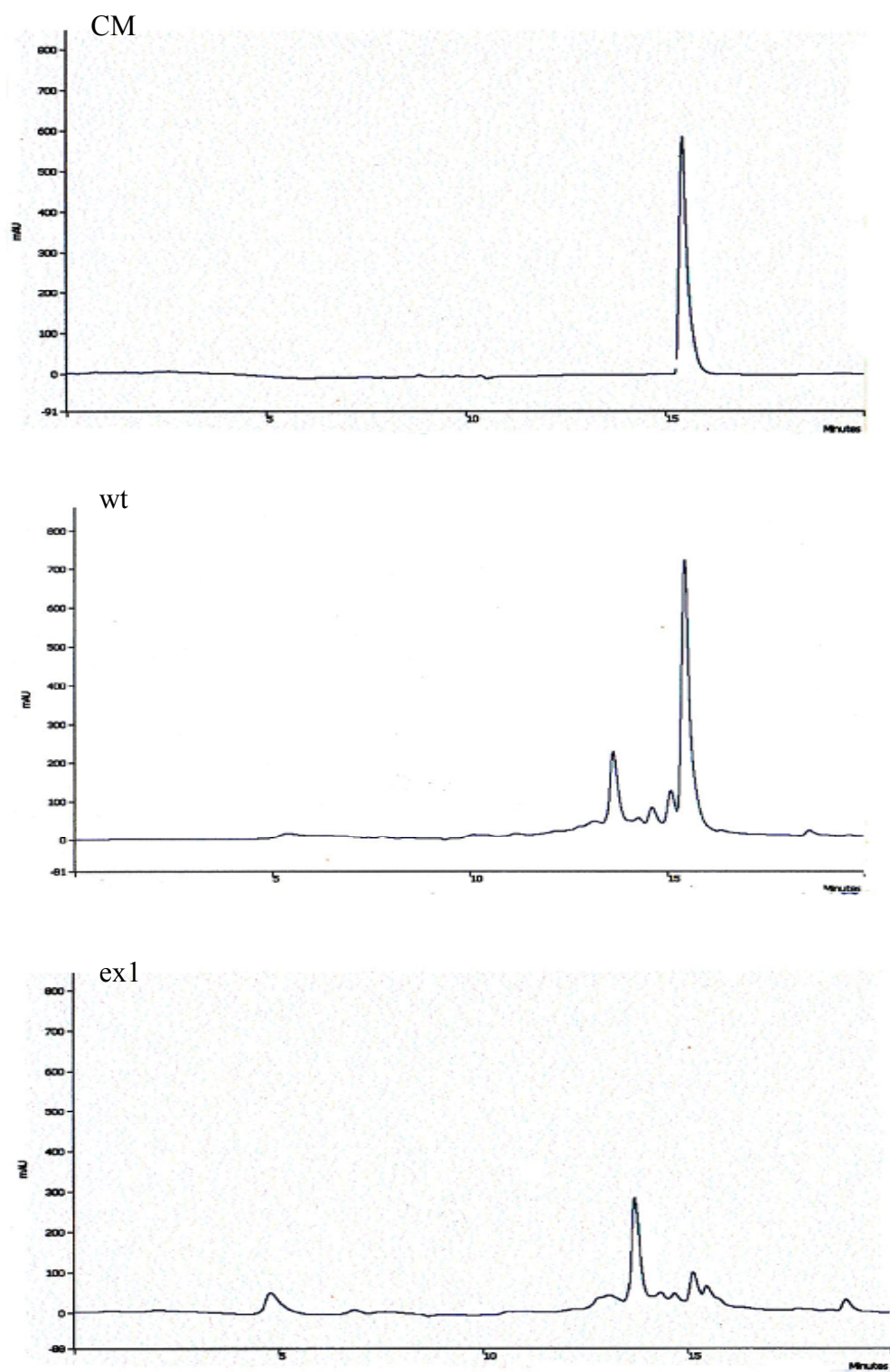
1-10 = สายพันธุ์กล้ายที่ 1-10

#### 3.5.2 การตรวจสอบสารสกัดโดยวิธี HPLC

เลี้ยงสายพันธุ์กล้ายและ *S. venezuelae* ในอาหารเหลว GI medium เป็นเวลา 7 วัน แล้วนำมาสกัดสารคลอ雷เมฟินิคอล จากน้ำเลี้ยงเซลล์ตามวิธีข้อ 9.4.2.1 จากนั้นนำสารสกัดที่ได้มามีวิเคราะห์โดยวิธี HPLC เปรียบเทียบความเข้มข้นกับสารคลอ雷เมฟินิคอลมาตรฐาน โดยวัดค่าการดูดกลืนแสงที่ 273 nm ซึ่งเป็นค่าที่เหมาะสมสำหรับสารคลอ雷เมฟินิคอล (He et al., 2001)

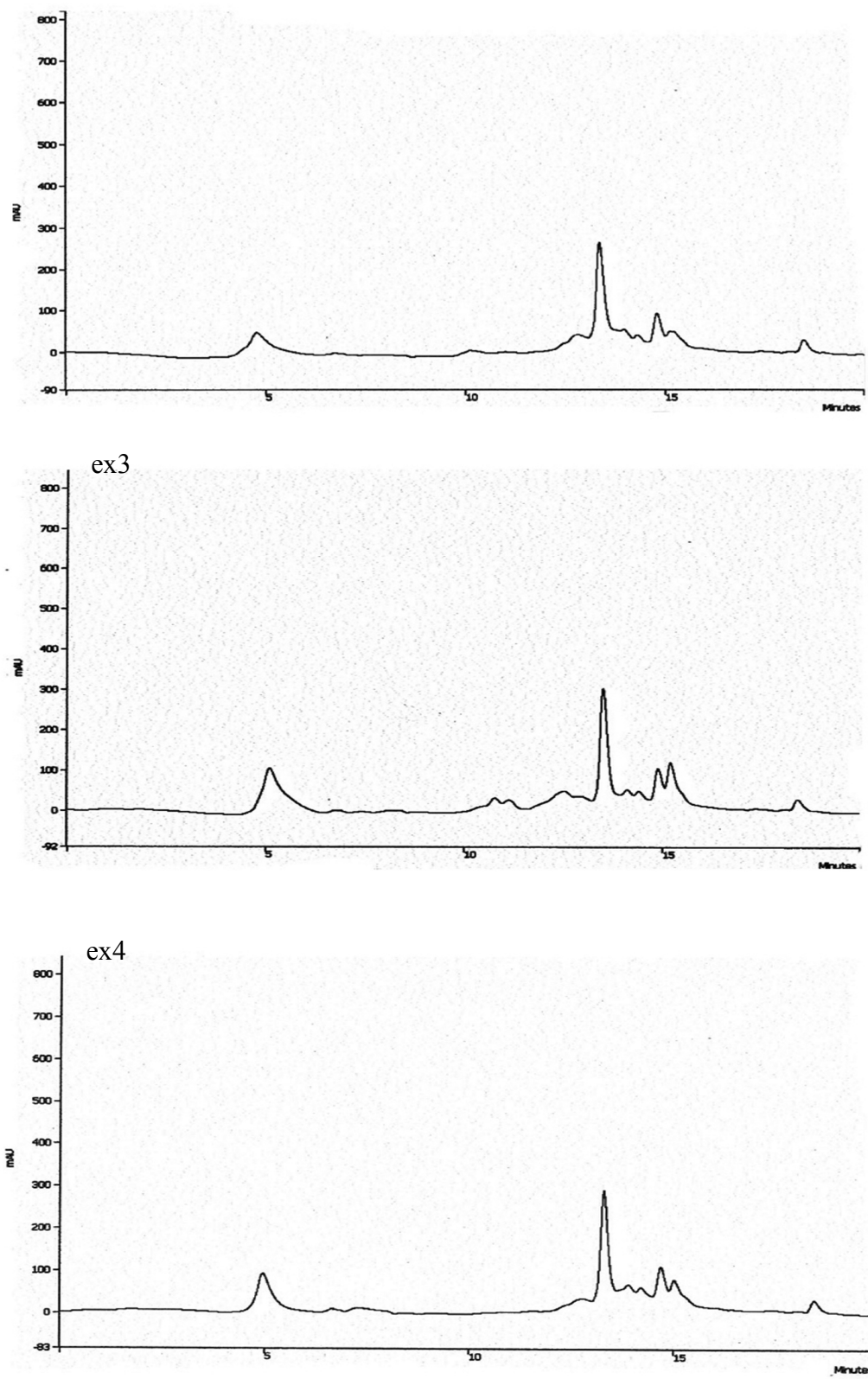
พบว่าเมื่อฉีดคลอแรมฟินิคอล (4 ไมโครกรัม) ให้ peak ในนาทีที่ 15.4 (ภาพที่ 34) โดยที่ *S. venezuelae* สายพันธุ์ไวต์ไทด์ ให้ peak ที่ตำแหน่งเดียวกับคลอแรมฟินิคอลมาตรฐาน โดยคำนวณค่าการผลิตคลอแรมฟินิคอลได้ 22.741 ไมโครกรัมต่อมิลลิลิตรอาหารเลี้ยงเชื้อ ในขณะที่สายพันธุ์กล้ายนับ peak ที่นาทีดังกล่าวเพียงเล็กน้อย ซึ่งอาจจะเป็นสารอื่นที่ให้ค่าดูดกลืนแสงที่นาทีเดียวกัน หรืออาจเป็นสารคลอแรมฟินิคอลที่สร้างได้ลดลงอย่างมาก ถ้ายังมีการสร้างสารคลอแรมฟินิคอลอยู่จากเนื้องมาจากการทำงานของเอนไซม์ quinate/shikimate dehydrogenase ในวิตามิน quinate ที่สามารถสร้าง shikimate ได้ เช่นเดียวกับเอนไซม์ shikimate dehydrogenase ที่สังเคราะห์จากยีน *aroE* (Giles *et al.*, 1985) เช่นใน *Gluconobacter oxydans* IFO3244 (Adachi *et al.*, 2003a), *A. nidulans* (Grant *et al.*, 1988) และ *Rhodococcus rhodochrous* (Bruce and Cain, 1990) ที่สามารถใช้ quinate เป็นสารตั้งต้นแทนอย่างไรก็ตามยังพบ peak ในนาทีที่ 13.2 ของสายพันธุ์กล้ายมีการสะสมมากกว่าไวต์ไทด์ อาจเป็นไปได้ว่า peak ดังกล่าวอาจเป็นสาร intermediate ที่สะสมขึ้นเมื่อยีน *aroE* ถูกยับยั้งการแสดงออก

จากการศึกษาโดยการทำยีนคิสรับชันของยีน *aroE* พบว่าสายพันธุ์กล้ายที่ได้ทึ้งหมดไม่สามารถเจริญบนอาหารที่ไม่มีการเติมกรดอะมิโน หรือโบทีฟาน ฟินิคลอalanine ไว้ หรือซีน และสายพันธุ์กล้ายที่ได้ไม่สามารถสร้างสารคลอแรมฟินิคอลหรือสร้างได้น้อยมากเมื่อเทียบกับ *S. venezuelae* สายพันธุ์ไวต์ไทด์ ซึ่งสอดคล้องกับการทดสอบคุณสมบัติในการต้านแบคทีเรียในข้อ 3.5.1 แสดงให้เห็นว่ายีน *aroE* ที่โคลนได้นี้มีความเกี่ยวข้องกับการสร้างเอนไซม์ในวิตามิน shikimate ซึ่งมีผลต่อการสร้างคลอแรมฟินิคอลใน *S. venezuelae* ด้วย

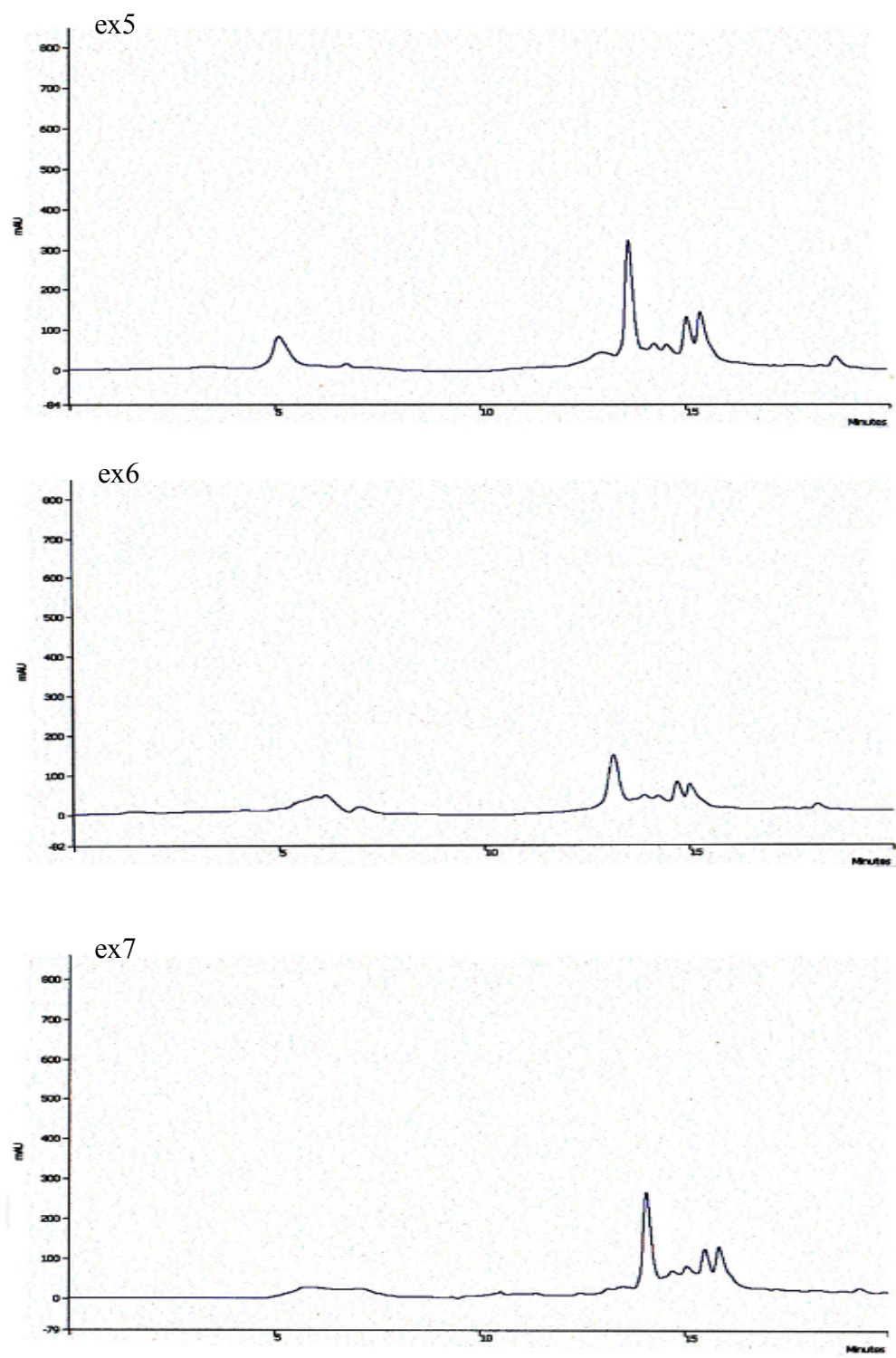


ภาพที่ 34 ผลการวิเคราะห์สารสกัดด้วยวิธี HPLC

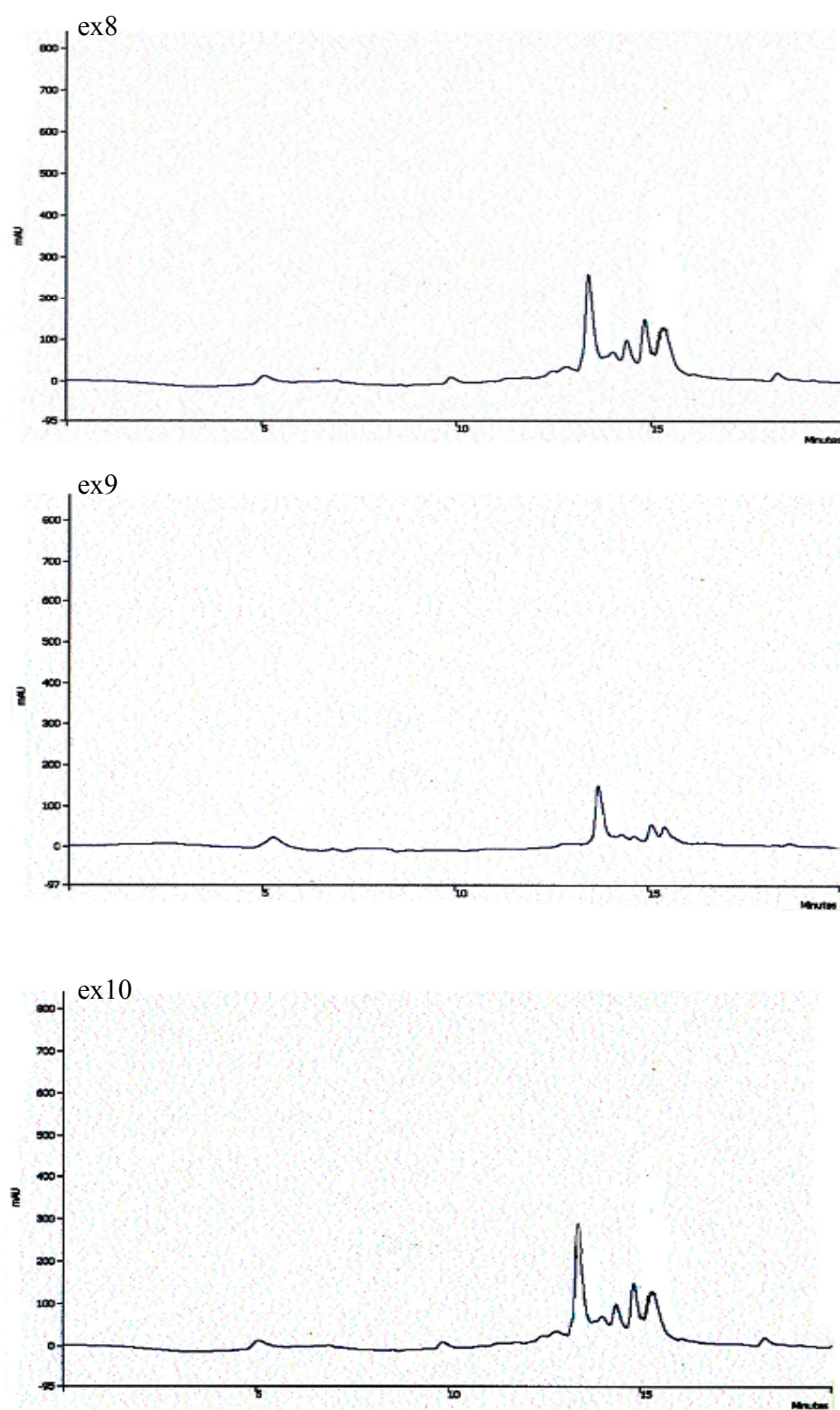
Cm = คลอเรมฟินิคอล เข้มข้น  $4 \mu\text{g}/20 \mu\text{l}$ , wt = *S. venezuelae*, ex1-10 = *S. venezuelae* สายพันธุ์คล้ายที่ 1-10



ภาพที่ 34 (ต่อ)



ภาพที่ 34 (ต่อ)



ภาพที่ 34 (ต่อ)

## สรุป

การศึกษาการส่งถ่ายพลาสมิดเข้าสู่ *S. venezuelae* โดยอาศัยวิธีคอนจูเกชันต่างสกุลกับ *E. coli* ET12567 เพื่อใช้ในการสร้างสายพันธุ์กล้ายและศึกษาหน้าที่ของยีนใน *S. venezuelae* พบว่า สภาวะที่เหมาะสมเมื่อใช้สปอร์ *S. venezuelae* เป็นผู้รับ คือกระบวนการออกของสปอร์ที่อุณหภูมิ 40 องศาเซลเซียส เป็นเวลา 10 นาที ก่อนผสมกับ *E. coli* โดยสามารถส่งถ่ายพลาสมิด pSET152 ได้ ที่ความถี่ในช่วง  $10^{-5}$ - $10^{-4}$  เอกซ์คอนจูเกนต์ต่อผู้รับ โดยให้ความถี่สูงสุดที่  $6.9 \times 10^{-4}$  เอกซ์คอนจูเกนต์ต่อผู้รับ และเมื่อทำการอนจูเกชันโดยใช้ไมซ์เลียมของ *S. venezuelae* เป็นผู้รับ พบว่ามี ประสิทธิภาพอยู่ในช่วง  $10^{-5}$ - $10^{-4}$  เอกซ์คอนจูเกนต์ต่อผู้รับ โดยให้ประสิทธิภาพสูงสุดเมื่อใช้ไมซ์เลียมที่อายุ 12-24 ชั่วโมง เมื่อเปรียบเทียบประสิทธิภาพในการทำการอนจูเกชันต่างสกุล ระหว่างการใช้สปอร์หรือไมซ์เลียมเป็นผู้รับ พบว่าประสิทธิภาพที่ได้ไม่ต่างกัน โดยเอกซ์คอนจูเกนต์มีสัมฐานวิทยาและความสามารถในการสร้างคลอแรมฟินิคอลได้เท่ากับไวด์ไทป์ทุกประการ โดยที่การแทรกตัวของพลาสมิด pSET152 เข้าไปในโกรโนโซมของ *S. venezuelae* นั้นเกิดที่ตำแหน่ง attachment site (*attB*) บนโกรโนโซมเพียงตำแหน่งเดียว

การโคลนยีน *aroE* จากเชื้อ *S. venezuelae* ซึ่งเป็นยีนสำคัญในวิถี shikimate โดยการทำพีซีอาร์ด้วยไฟรเมอร์เจมเพาะ แล้วนำไปใช้เป็นไฟรบทา Southern blot hybridization กับดีเอ็นเอของ *S. venezuelae* ซึ่งตัดด้วยเอนไซม์ตัดเจมเพาะหลายชนิด พบว่าได้สัญญาณแถบดีเอ็นเอขนาด 1.5 กิโลเบส กับดีเอ็นเอที่ตัดด้วย *SacI* เมื่อสกัดดีเอ็นเอบริเวณดังกล่าวออกจากเจลไปทำ DNA library แล้ว ค้นหาโคลนด้วยวิธีพีซีอาร์ พบว่าจาก DNA library ทั้งหมด 1,023 โคลน ได้โคลน pATT804 ซึ่งมี ยีน *aroE* เมื่อนำมาโคลนดังกล่าวมาทำลำดับเบสพบว่าได้ส่วน C-terminal ของยีน *aroE* มีขนาด 525 คู่เบส แปลเป็นกรดอะมิโนได้ 175 กรดอะมิโน และมีลำดับกรดอะมิโนเหมือนกับ AroE จาก *S. pristinaespiralis* ATCC 25486 มากที่สุด (83%)

เมื่อศึกษาหน้าที่ของยีน *aroE* โดยการทำยีนดิสรับชัน โดยสร้างรีคอมบิแนต์พลาสมิด pATT803 ที่มีส่วนของยีน *aroE* ที่ได้จากการทำพีซีอาร์ในพลาสมิด pSET151 แล้วส่งผ่านจาก *E. coli* ET12567 เข้าสู่ *S. venezuelae* ด้วยวิธีคอนจูเกชันต่างสกุล พบว่าสายพันธุ์กล้ายที่ได้ไม่สามารถเจริญได้บนอาหาร minimal medium ที่ไม่เติมกรดอะมิโนทริปโทฟีน ไทโรซีน และฟีนิลอะลานีน และยังไม่สามารถยับยั้ง *E. coli* JM109 ซึ่งไวต่อคลอแรมฟินิคอลได้ เมื่อนำอาหารเหลวของสายพันธุ์กล้ายมาสกัดด้วยเอชีลอะซิเตฟแล้วตรวจสอบด้วย HPLC พบว่าสายพันธุ์กล้ายทั้งหมดสร้าง

คลอแรมพินิกอลในปริมาณที่ต่ำมาก หรือเกือบไม่สร้างเลย เมื่อเทียบกับสายพันธุ์ไวค์ไทย และเมื่อนำดีเอ็นเอของสายพันธุ์กล้ายังหนอนี้ไปทำ Southern blot hybridisation เพื่อพิสูจน์การเกิดยินดีส รับชั้น พบว่าเกิด homologous recombination ระหว่างบางส่วนของยีน *aroE* บนพลาสมิດ pATT803 กับตำแหน่งของยีน *aroE* บนโครโนไซมของ *S. venezuelae* เป็นผลให้พลาสมิດังกล่าว แทรกเข้าไปในยีน *aroE* ทำให้ยีน *aroE* ไม่สามารถทำงานได้ ทำให้สายพันธุ์กล้ายที่ได้ไม่สามารถ สังเคราะห์กรดอะมิโนทริปโทฟน ไทโรซิน และฟีนิลอะลаниน รวมทั้งข้าปูชีวนะคลอแรมพินิกอล ได้

## เอกสารและสิ่งอ้างอิง

นิรินทร์ยา สุคตากาติ. 2548. การวิเคราะห์กลุ่มยีนโพลีค์ไทด์ชินเชสชานิดที่1 จาก *Streptomyces rimosus* R7 ด้วยวิธียืนดิสรับชัน. วิทยานิพนธ์ปริญญาโท, มหาวิทยาลัยเกษตรศาสตร์

- Adachi, O., S. Tanasupawat, N. Yoshihara, H. Toyama and K. Matsushita. 2003a. 3-dehydroquinate production by oxidative fermentation and future conversion of 3-dehydroquinate to the intermediates in the shikimate pathway. **Biosci. Biotechnol. Biochem.** 67: 2144-2131.
- \_\_\_\_\_, D. Moonmangmee, H. toyoma, M. Yamada, E. Shinagawa and K. Matsushita. 2003b. New developments in oxidative fermentation. **Appl. Microbiol. Biotechnol.** 60: 643-653.
- Ahmad, S., E. Rightmire and R.A. Jensen, 1986. Evolution of the regulatory isozymes of 2-deoxy-D-arabino-heptulosonate phosphatesynthase present in the *Escherichia coli* genealogy. **J. Bacteriol.** 165: 146-154.
- Amrhein, N., D. Johaenning, J. Schab, and A. Schulz. 1983. Biochemical basis for glyphosate tolerance in a bacterium and a plant tissue culture. **FEBS Lett.** 157: 191-196.
- Babitzke, P., P. Gollnick, and C. Yanofsky. 1992. The *mtrAB* operon of *Bacillus subtilis* encodes GTPcyclohydrolase-I (MtrA), an enzyme involved in folic acid biosynthesis, and MtrB, a regulator of tryptophan biosynthesis. **J. Bacteriol.** 174: 2059-2064.
- Barea, J.L. and N. H. Giles. 1978. Purification and characterization of quinate (shikimate) dehydrogenase, an enzyme in the inducible quinic acid catabolic pathway of *Neurospora crassa*. **Biochim. Biophys. Acta.** 524: 1-14.

Bender, S.L., S. Mehdi and J.R. Knowles. 1989. Dehydroquinate synthase: the role of divalent metal cations and of nicotinamide adenine dinucleotide in catalysis. **Biochemistry** 28: 7555–7560.

Bentley, R. 1990. The shikimate pathway. a metabolic tree with many branches. **Crit. Rev. Biochem. Mol. Biol.** 25: 307-384.

Berlyn, M.B. and N.H. Giles. 1969. Organisations of enzymes in the polycyclic aromatic synthetic pathway: separability in bacteria. **J. Bacteriol.** 99: 222-230.

Bierman, M., R. Logan, K. Obrien, E.T. Seno, R.N. Rao and B.E. Schoner. 1992. Plasmid cloning vectors for the conjugal transfer of DNA from *Escherichia coli* to *Streptomyces* spp. **Gene** 166: 43-39.

Birch, A.,A. Hausler and R. Hutter. 1990. Genome rearrangement and genetic instability in *Streptomyces* spp. **Bacteriology**. 172: 4138-4142

Bradley, D. 2005. Star role for bacteria in controlling flu pandemic. **Nat. Rev. Drug Discov.** 4: 945-946.

Bruce, N.C. and R.B. Cain. 1990. Hydroaromatic metabolism in *Rhodococcus rhodochrous*: purification and characterisation of its NAD-dependent quinate dehydrogenase. **Arch. Microbiol.** 154: 179-186.

Bullock. W. O., J. M. Fernandez and J. M. Short. 1987. XL1-Blue: a high efficiency plasmid transforming recA *Escherichia coli* strain with β-galactosidase selection. **Biotechniques** 5: 367-379

Charles, I.G., J.W. Keyte, W.J. Brammar, M. Smith and A.R. Hawkins. 1986. The isolation and nucleotide sequence of the complex *AROM* locus of *Aspergillus nidulans*. **Nucl Acids Res.** 14: 2201-2213.

Chatterjee, S., and L. C. Vining. 1983. Nutrition requirements for chloramphenicol biosynthesis in *Streptomyces venezuelae*. **Can. J. Microbiol.** 29: 247-253.

Chaudhuri, S. and J. R. Coggins. 1985. The purification of shikimate dehydrogenase from *Escherichia coli*. **Biochem. J.** 226: 217-223.

Choi, S. U., C.K. Lee, Y. I. Hwang, H. Kinoshita and T. Nihira, 2004. Cloning and functional analysis by gene disruption of a gene encoding a  $\gamma$ -butyrolactone autoregulator receptor from *Kitasatospora setae*. **J. Bacteriol.** 186: 3423-3430.

Chung, C.T., S.L. Niemela and R.H. Miller. 1989. One-step preparation of competent *Escherichia coli*: transformation and storage of bacterial cells in the same solution. **Proc. Natl. Acad. Sci. USA** 86: 2172-2175.

Coggins, J.R., M.R. Boocock, S. Chaudhuri, J. M. Lambert, J. Lumsden, G.A. Nimmo, and D.S. Smith. 1987. The *arom* multifunctional enzyme from *Neurospora crassa*. **Meth. Enzymol.** 142: 325-341.

Combes, P., R. Till, S. Bee and M.C.M. Smith. 2002. The *Streptomyces* genome contains multiple pseudo-*attB* sites for the  $\lambda$ C31-encoded site specific recombination system. **J. Bacteriol.** 184: 5746-5752.

De Feyter, R. C. and J. Pittard. 1986. Genetic and molecular analysis of *aroL*, the gene for shikimate kinase II in *Escherichia coli* K-12. **J. Bacteriol.** 165: 262-232.

- Duuncan, K., R.M. Edwards and J.R. Coggins. 1987. The pentafunctional arom enzyme of *Saccharomyces cerevisiae* a mosaic of monofunctional domains. **Biochem J.** 246: 375-386.
- Ehrlich, J., Q.R. Bartz, R.M. Smith, D.A. Joslyn and P.R. Burkholder. 1947. Chloromycetin, a new antibiotic from a soil actinomycete. **Science** 106: 417.
- \_\_\_\_\_, D. Gottlieb, P.R. Burkholder, L.E. Anderson and T.G. Pridham. 1948. *Streptomyces venezuelac* n. sp. the source of chloromycetin. **J. Bacteriol.** 56: 467-477.
- Enriquez, L.L., M.V. Mendes, N. Anton, S. Tunca, S.M. Guerra and J.F Martín. 2006. An efficient gene transfer system for the pimaricin producer *Streptomyces natalensis*. **FEMS Microbiol. Lett.** 257: 312-318.
- Euverink, G.J. W. 1995. Biosynthesis of phenylalanine and tyrosine in the methylotrophic actinomycete *Amycolatopsis methanolica*. **J. Bacteriol.** 176: 6827-6835.
- Fleichmann R. D., M. D. Adams, O. White, R.A. Clayton, E.R. Kirkness, A.R. Kerlavage, C.J. Bult and J.M. Merrick. 1995. Whole genome random sequencing and assembly of *Haemophilus influenzae* RD. **Science** 269: 496-512.
- Flett, F., V. Mersinias and C.P. Smith. 1997. Hight efficiency intergeneric conjugal transfer of plasmid DNA from *Escherichia coli* to methyl DNA-restricting streptomycetes. **FEMS Microbiol. Lett.** 155: 223-229.
- Fonseca, I.O., M.L.B. Magalhaes, J.S. Oliveira, R.G. Silva, M.A. Mendes, M.S. Palma, D.S. Santos and L.A. Basso, 2006. Functional shikimate dehydrogenase from *Mycobacterium tuberculosis* H37Rv: purification and characterization. **Protein Expr. Purif.** 46: 429-437.

- Galina, F., D. Claudio, R.M. Margaret, D.S. Deborah and A.R. Kevin. 1998. Cloning, expression and characterization of type II 3-dehydroquinate dehydratase gene from *Streptomyces hygroscopicus*. **Arch. Biochem. Biophys.** 350: 298-306.
- Garbe, T., S. Servos, A. Hawkins, G. Dimitriadis, D. Young, G. Dougan, and I. G. Charles. 1991. The *Mycobacterium tuberculosis* shikimate pathway genes: evolutionary relationship between biosynthetic and catabolic 3-dehydroquinases. **Mol. Gen. Genet.** 228: 385-392.
- Giles, N.H., C.W. H. Partridge, S.I. Ahmed, and M.E. Case. 1967. The occurrence of two dehydroquinases in *Neurospora crassa*, one constitutive and one inducible. **Gene** 58: 1930-1937.
- \_\_\_\_\_, M.E., Case, J., Baum, R., Geever, L., Hulet, V., Patel and B. Tyler. 1985. Gene organization and regulation in the qa (Quinic acid) gene cluster of *Neurospora crassa*. **Microbiol. Rev.** 49:338-358.
- Goel A.K, Rajagopal L. and R.V. Sonti,. 2001. Pigment and virulence deficiencies associated with mutations in the *aroE* gene of *Xanthomonas oryzae* pv. *Oryzae*. **Appl. Environ. Microbiol.** 67: 245-250.
- Grant, S., C.F. Roberts, H. Lamb, M. Stoutand and A.R. Hawkins. 1988. Genetic regulation of the quinic acid utilization (*qut*) gene cluster in *Aspergillus nidulans*. **J. Gen. Microbiol.** 134:347-358.
- Han, C., L. Wang, K. Yu, L. Chen, L. HuK. Chen, H. Jiang and X. Shen. 2006. Biochemical characterization and inhibitor discovery of shikimate dehydrogenase from *Helicobacter pylor*. **FEBS J.** 273:4683-4692
- Hasan, N. and E.W. Nester. 1978a. Dehydroquinate synthase in *Bacillus subtilis*. **J. Biol. Chem.** 253: 4999-5004.

Hasan, N. and E.W. Nester. 1978b. Purification and properties of chorismate synthase from *Bacillus subtilis*. **J. Biol. Chem.** 253: 4993-4998.

Haslam, E. 1993. **Shikimic Acid: Metabolism and Metabolites**. John Wiley & Sons Ltd, Chicheste.

Hawkins, A.R., H.K. Lamb, M. Smith, J.W. Keyte, and C.F. Roberts. 1988. Molecular organization of the quinic acid utilization (QUT) gene cluster in *Aspergillus nidulans*. **Mol. Gen. Genet.** 214: 224-231.

He, J., N. Magarvey, M. Piraee and L.C. Vining. 2001. The gene cluster for chloramphenicol biosynthesis in *Streptomyces venezuelae* ISP5230 includes novel shikimate pathway homologues and a monomodular nonribosomal peptide synthetase gene. **Microbiology** 147: 2817-2829.

Herrmann, K.M. 1995. The shikimate pathway: early steps in the biosynthesis of aromatic compounds. **Plant Cell** 7:907-919

Hobbs, G., C.M. Frazer, D.C.J. Gardner, J.A. Cullum and S.G. Oliver. 1989. Dispersed growth of *Streptomyces* in liquid culture. **Appl. Microbiol. Biotechnol.** 31: 272-277.

Hopwood, D.A., M.J. Bibb, K.F. Chapter, T. Kieser, C.T. Bruton, H.M. Kieser, D.J. Lydiate, C.P. Smith, J.M. Ward and H. Schrempf. 1985. **Genetic Manipulation of Streptomyces: a Laboratory Manual**. The John Innes Foundation, Norwich.

Huang,C.H., Y. S. Lin, Y.L. Yang, S. Huang and C. W. Chen. 1998. The telomerase of *Streptomyces* chromosome contain conserved palindromic sequence with potential to form complex secondary structures. **Mol. Microbiol.** 28:905-916.

- Ian, A.A. and J.R. Coggins. 1988. Sequencing and overexpression of the *Escherichia coli* *aroE* gene encoding shikimate dehydrogenase. **Biochem. J.** 249: 319-326.
- Ingledew, W.M., M.E.F. Tresguerres, and J.L. Cánovas. 1971. Regulation of the enzymes of the hydroaromatic pathway in *Acinetobacter calcoaceticus*. **J. Gen. Microbiol.** 68: 273-282.
- \_\_\_\_\_ and C.C. Tai. 1972. Quinate metabolism in *Pseudomonas aeruginosa*. **Can. J. Microbiol.** 18: 1817-1824.
- Izard, T. 2001. Structural basis for chloramphenicol tolerance in *Streptomyces venezuelae* by chloramphenicol phosphotransferase activity. **Protein Sci.** 10: 1508-1513.
- Izumi, Y., T. Yoshida, S.S. Miyazaki, T. Mitsunaga, T. Ohshiro, M. Shimao, A. Miyata, and T. Tanabe. 1993. L-serine production by a methylotroph and its related enzymes. **Appl. Microbiol. Biotechnol.** 39: 427-432.
- Jensen, R.A. and E.W. Nester. 1966. Regulatory enzymes of aromatic amino acid biosynthesis in *Bacillus subtilis*. purification and properties of 3-deoxy-D-arabino-heptulosonate 7-phosphate synthetase. **J. Biol. Chem.** 241: 3365-3372.
- Kang, X., H.E. Neuhaus, and R. Schelbe. 1994. Subcellular localization of quinate:oxidoreductase from *Phaseolus mungo L.* sprouts. **Z. Naturforsch.** 49: 415-420.
- Kieser, T., M.J. Bibb, M.J. Buttner, K.F. Chater and D.A. Hopwood. 2000. **Practical Streptomyces Genetics.** The John Innes Foundation, Norwich. 613 p.
- Kitani, S., M.J. Bibb, T. Nihira and Y. Yamada. 2000. Conjugal transfer of plasmid DNA from *Escherichia coli* to *Streptomyces lavendulae* FRI-5. **J. Microbiol. Biotechnol.** 10: 535-538.

Larimer, F.W., C.C. Morse, A.K. Beck, K.W. Cole and F.H. Gaerther. 1983. Isolation of the Aro1 cluster gene of *Saccharomyces cerevesiae*. **Mol. Cell Biol.** 3: 1609-1614.

Lindner, H.A., G. Nadeau, A. Matte, G. Michel, R. Ménard and M. Cygle. 2005. Site-directed mutagenesis of the active site region in the quinate/shikimate 5-dehydrogenase YdiB of *Escherichia coli*. **J. Biol. Chem.** 280: 7162-7169.

Lumsden, J. and J.R. Coggins. 1977. The subunit structure of the arom multienzyme complex of *Neurospora crassa*. a possible pentafunctional polypeptide chains. **Biochem J.** 161: 599-607.

\_\_\_\_\_. and \_\_\_\_\_. 1978. The subunit structure of the arom multienzyme complex of *Neurospora crassa*. Evidence from peptide maps for the identity of the subunits. **Biochem J.** 169: 441-444.

MacNeil, D.J. 1988. Characterization of a unique methyl-specific restriction system in *Streptomyces avermitilis*. **J. Bacteriol.** 170: 5607-5612.

\_\_\_\_\_, K.M. Gewain, C.L. Ruby, G. Dezeny, P.H. Gibbons and T. MacNeil. 1992. Analysis of *Streptomyces avermitilis* genes required for avermectin biosynthesis utilizing a novel intergretion vector. **Gene** 111: 61-68

Magalhes, M.L.B., C.P. Pereira, L.A. Basso, and D.S. Santos. 2002. Cloning and expression of functional shikimate dehydrogenase (EC 1.1.1.25) from *Mycobacterium tuberculosis* H37Rv. **Protein Expr. Purif.** 26: 2659-2664.

Malik ,V. S. 1983. Biochemistry and genetics of chloramphenicol production. **Enz. Microbiol. Technol.** 5:332-336.

- Malik ,V. S. and L.C. Vining. 1970. Metabolism of chloramphenicol by the producing organism.  
**Can. J. Microbiol.** 16: 173-179.
- Matsushima, P.and R.H. Baltz. 1996. A gene cloning system for *Streptomyces toyocaensis*.  
**Microbiology.** 142: 261-267.
- Messing, J. 1983. New M13 vectors for cloning. **Meth. Enzymol.** 101: 20-78.
- Michel, G., A.W. Roszak, V. Sauve, J. Maclean, A. Matte, J.R.Coggins, M. Cygler, A.J. Lapthorn. 2003., Structures of shikimate dehydrogenase AroE and its paralog YdiB, **J. Biol. Chem.** 278 : 19463–19472.
- Mitsuhashi, S. and B.D. Davis. 1954. Aromatic biosynthesisXIII. Conversion of quinic acid to 5-dehydroquinic acid by quinic dehydrogenase. **Biochem Biophys. Acta.** 15: 268-280
- Mozodier, P., R. Petter and C. Thompson.1989. Intergeneric conjugation between *Escherichia coli* and *Streptomyces* species. **J. Bacteriol.** 171: 3583-3585.
- Nakatsukasa, W.M. and E.W. Nester. 1972. Regulation of aromatic amino acid biosynthesis in *Bacillus subtilis* 168. I. Evidence for and characterization of a trifunctional enzyme complex. **J. Biol. Chem.** 247: 5972-5979.
- Nasser, D., G. Henderson, and E.W. Nester. 1969. Regulated enzymes of aromatic amino acid synthesis: control, isoenzymic nature, and aggregation in *Bacillus subtilis* and *Bacillus licheniformis*. **J. Bacteriol.** 98: 44-50.
- Nelson, D.L. and M.M. Cox. 2005. **Lehninger Principles of Biochemistry**, 4 th edition. Worth Publishers.

- Norrander, J., T. Kempe and J. Messing. 1983. Construction of improved M13 vectors using oligodeoxynucleotide-directed mutagenesis. **Gene** 26: 101-106.
- Ogino, T., C. Garner, J.L. Markley and K.M. Herrmann. 1982. Biosynthesis of aromatic compounds: <sup>13</sup>CNMR spectroscopy of whole *Escherichia coli* cells. **Proc. Natl. Acad. Sci. USA** 79: 5828-5832.
- Padyana, A.K. and S. K. Burley. 2003. Crystal structure of shikimate 5-dehydrogenase(SDH) bound to NADP: insights into function and evolution. **Structure** 11: 1005–1013.
- Paranthaman, S. and Dharmalingam, K. 2003. Intergeneric conjugation in *Streptomyces peucetius* and *Streptomyces* sp. strain C5: chromosomal integration and expression of recombinant plasmids carrying the chiC gene. **Appl. Environ. Microbiol.** 69: 84-91
- Pirae, M., L.R. White and L.C. Vining. 2004. Biosynthesis of dichloroacetyl component of chloramphenicol in *Streptomyces venezuelae* ISP5230: genes required for halogenation. **Microbiology** 150: 85-94.
- Pittard, J. and B.J. Wallace. 1966. Distribution and function of genes concerned with aromatic biosynthesis in *Escherichia coli*. **J. Bacteriol.** 91:1494-1508.
- Refeno, G., R. Ranjeva and A.M. Boudet. 1982. Modulation of quinate:NAD<sup>+</sup> oxidoreductase activity through reversible phosphorylation in carrot cell suspensions. **Planta** 154:193-198.
- Sambrook, J., E.F. Fritsch and T. Maniatis. 2001. **Molecular Cloning: a Laboratory Manual.** 3<sup>rd</sup> ed. Cold Spring Harbor, New York.

- Schulz, A., A. Krueper, and A. Amrhein. 1985. Differential sensitivity of bacterial 5-enolpyruvylshikimate-3-phosphate synthases to the herbicide glyphosate. **FEMS Microbiol. Lett.** 28: 297-301.
- Sia, L.A., D.M. Kuehner and D.H. Figurski. 1996. Mechanism of retransfer in conjugation: prior transfer of the conjugative plasmid is required. **J. Bacteriol.** 178: 1457-1464.
- Smith D.D. and J.R. Coggins. 1983. Isolation of a bifunctional domain from the pentafunctional arom enzyme complex of *Neurospora crassa*. **Biochem J.** 213: 405-415.
- Snyder, L. and W. Champness. 1997. **Molecular Genetics of Bacteria**. American Society for Microbiology Press, Washington. 504 p.
- Sun, J., G.H. Kelemen, J.M. Fernandez-Abalos and M.J. Bibb. 1999. Green fluorescent protein as a reporter for spatial and temporal gene expression in *Streptomyces coelicolor* A3(2). **Microbiology** 145: 2221-2227.
- Southern, T.G. 1975. Detection of specific sequences among DNA fragments separated by electrophoresis. **J. Mol. Biol.** 98: 503-507.
- Thorpe, H.M., S.E. Wilson, and M.C.M. Smith. 2000. Control of directionality in the site-specific recombination system of the *Streptomyces* phage ØC31. **Mol. Microbiol.** 38: 232-241.
- Van Kleef, M.A.G. and J.A. Duine. 1988. Bacterial NAD(P)-independent quinate dehydrogenase is a quinoprotein. **Arch. Microbiol.** 150: 32-36.
- Voeykova, T., L. Emelyanova, V. Tabakov and N. Mkrtumyan. 1998. Transfer of plasmid pT01 from *Escherichia coli* to various representatives of the order Actinomycetales by intergeneric conjugation. **FEMS Microbiol. Lett.** 162: 47-52.

Williams, S.T., M. Goodfellow and G. Alderson. 1989. Genus *Streptomyces*. pp. 2452-2492.

*In* S.T. Williams, ed. **Bergey's Manual of Systematic Bacteriology** Vol.4. Williams and Wikins, Baltimore. 349 p.

White, P.J., J. Young, I.S. Hunter, H.G. Nimmo, and J.R. Coggins. 1990. The purification and characterization of 3-dehydroquinase from *Streptomyces coelicolor*. **Biochem. J.** 265: 735-738.

Woodward, T.E., J.E. Smadel, H.E. Ley, R. Green and D.S. Mankikar. 1948. Preliminary report on the beneficial effect of chloromycetin in the treatment of typhoid fever. **Ann. Int. Med.** 29: 131.

Yanisch perron, C., J. Vieira and J. Messing. 1985. Improved M13 phage cloning vectors and host strain: nucleotide sequences of M13mp18 and pUC19 vectors. **Gene** 33: 103-119.

Ye, S., F. Delft, A. Brooun, M.W. Knuth, R.V. Swanson and D.E. McRee. 2003. The crystal structure of shikimate dehydrogenase (AroE) reveals a unique NADPH binding mode. **J. Bacteriol.** 185, 4144-4151.

Zhang, X., Z. Shunbao, H. Fang, L. Xuhui, Y. Haidong, H. Yishu and W. Honghai. 2005. Expression, purification and properties of shikimate dehydrogenase from *Mycobacterium tuberculosis*. **J. Biochem. Mol. Biol.** 38: 624-631.

## ภาคผนวก

ตาราง แสดงจำนวนสปอร์และจำนวนເອກົ້າຄອນຈູແກນຕໍ່ຂອງກອນຈູເກັບສິນໄດ້ໂດຍກະຕຸ້ນກາງອກ  
ຂອງສປອຣ໌ *S. venezuelae* ຜູ້ຮັບ ທີ່ອຸນຫວຼມຕ່າງໆ

ອຸນຫວຼມ ( $^{\circ}\text{C}$ )	จำนวนສປອຣ໌ເຮີມດິນ	จำนวนສປອຣ໌ທີ່ໃຊ້ໃນການ	จำนวนເອກົ້າ
		ຄອນຈູເກັບສິນ	ຄອນຈູແກນຕໍ່
RT	$7.10 \times 10^{10}$	$3.55 \times 10^5$	160
35	$6.90 \times 10^{10}$	$3.45 \times 10^5$	182
40	$6.30 \times 10^{10}$	$3.15 \times 10^5$	219.5
45	$5.30 \times 10^{10}$	$2.65 \times 10^5$	119.5
50	$4.10 \times 10^{10}$	$2.05 \times 10^5$	260.5
55	$1.25 \times 10^{10}$	$6.25 \times 10^6$	107.5

ตาราง แสดงจำนวนເໜັດລົດ໌ແລະจำนวนເອກົ້າຄອນຈູແກນຕໍ່ຂອງກອນຈູເກັບສິນໄດ້ໃຊ້ໄນ້ເລີຍມຂອງ  
*S. venezuelae* ທີ່ອາຍຸຕ່າງກັນ

ອາຍຸເຊື້ອ (ຊ້າວໂມງ)	จำนวนເໜັດລົດ໌ເຮີມດິນ	จำนวนເໜັດລົດ໌ທີ່ໃຊ້ໃນການ	จำนวนເອກົ້າ
		ຄອນຈູເກັບສິນ	ຄອນຈູແກນຕໍ່
12	$2.75 \times 10^{10}$	$1.37 \times 10^5$	83.2
24	$7.10 \times 10^{10}$	$3.55 \times 10^5$	220.1
36	$2.10 \times 10^{10}$	$1.00 \times 10^6$	58
48	$2.90 \times 10^{10}$	$1.45 \times 10^6$	81.2

ลำดับเบสและลำดับกรดอะมิโนของยีน *aroE* จาก *S. venezuelae* ในพลาสมิด pATT802

(ก) ลำดับเบสขนาด 454 คู่เบส (ข) ลำดับกรดอะมิโนขนาด 151 กรดอะมิโน

(ก)

```
CACACCGACATCCCCGGCATGCTGCCGTCTGCCGGAGCGCGGCATCGAGAAGGTGGAGTCGGCGGCATCCTCGGCACCGCCACCG  
CCTCCCTCGCCGTGGCGCCCTCGCCCGATCTGCGCGGCCCGTACCGCGTACGTCCGAGCGAGGCCGCGGGCCGAGGAGATGCGCG  
CTGGGGCGAGCGGCTCGCGTGACGTCCGACCGCCCCCTGGGACGACCGCGCCGAGGCCCTCGCGTCCCGCTGGTCGCGACCCACC  
CCCGCCGGCACCAAGAACGCCCTGGCACCGCCGTCCCGACGCCGTCCGACCCCTTCGACGTCTGTACGACCCCTGGCACGGCACT  
GGCCCGCCCTGGTCCGAACGCCGGCAAGGTGGTCCGGCCCTCGACCTCCCTGGTCCACCAGGCGGTCCAGGTGAGCAGATGAC
```

(ข)

```
HTDIPGMLAVLREQVEKVESAAILGAGATASSAVAALARICGGPVAYVRSEAREEMRGWGERLGVDRVTAPWDDAEAFASPLVVATTPA  
GTTNALATAVPDAVGTLFDVLYDPWPTALAAWSERGGKVVGGLLVHQAVLQVEQM
```

ลำดับเบสและลำดับกรดอะมิโนของยีน *aroE* จาก *S. venezuelae* ในพลาสมิด pATT804

(ก) ลำดับเบสขนาด 525 คู่เบส (ข) ลำดับกรดอะมิโนขนาด 174 กรดอะมิโน

(ก)

```
CACACCGACATCCCCGGCATGCTGCCGTCTGCCGGAGCGCGGCATCGAGAAGGTGGAGTCGGCGGCATCCTCGGCACCGCCACCG  
CCTCCCTCGCCGTGGCGCCCTCGCCCGATCTGCGCGGCCCGTACCGCGTACGTCCGAGCGAGGCCGCGGGCCGAGGAGATGCGCG  
CTGGGGCGAGCGGCTCGCGTGACGTCCGACCGCCCCCTGGGACGACCGCGCCGAGGCCCTCGCGTCCCGCTGGTCGCGACCCACC  
CCCGCCGGCACCAAGAACGCCCTGGCACCGCCGTCCCGACGCCGTCCGACCCCTTCGACGTCTGTACGACCCCTGGCACGGCACT  
GGCCCGCCCTGGTCCGAACGCCGGCAAGGTGGTCCGGCCCTCGACCTCCCTGGTCCACCAGGCGGTCCAGGTGAGCAGATGACG  
GGCGTCCCAAGGCCCGCTGCCGCATGCCGCCGCCGGGGAGCGGGGGCTGCCGCCCTAGGCCCGGAAGACCCCGAGA  
AGGCACCGGACGTCCGACAGCTGGACCGGGGGCGAGGTAGCCGCCGACGTGGAGGATGGGGATGCCGGCCAGGGCGCCAC  
CGGTGCGCGCTCGCAGTACCCAGCGCGAGCATGAGGAGCATCGTGAAGCAGTTGCGTGGCTGACCGCTGGGAATCCACGACCCGCG  
CTGGTGCACCCCTGGAGGGCTTCCGGACGTCCGGTCCACACAGAGCTGGTGCAGACTACCTCGCCTGCACGCTTCGCTAT  
GGCCCGCCGCCCCGAA
```

(ข)

```
HTDIPGMLAVLREQVEKVESAAILGAGATASSAVAALARICGGPVAYVRSEAREEMRGWGERLGVDRVTAPWDDAEAFASPLVVATTPA  
GTTNALATAVPDAVGTLFDVLYDPWPTALAAWSERGGKVVGGLLVHQAVLQVEQMGTVPKAPLAAMRAAGGAGRSPPR*
```

The 19<sup>th</sup> Annual Meeting of the Thai Society for Biotechnology  
“TSB2007: Biotechnology for Gross National Happiness”

P-111

## Intergeneric Conjugative Transfer of pSET152 from *Esherichia coli* to *Streptomyces venezuelae*

Ratchaniwan JeamSeang<sup>1,2</sup>, Nandin-Erdene Namjilsuren<sup>1</sup>, and Arinthip Thamchaipenet<sup>1\*</sup>

<sup>1</sup>Department of Genetics, Faculty of Science, Kasetsart University,

<sup>2</sup>Department of Genetic Engineering, Kasetsart University, Bangkok 10900, Thailand

### Abstract

*Streptomyces venezuelae* produces the important antibiotic, chloramphenicol, derived from shikimate pathway. We have developed a system for introducing plasmid DNA into *S. venezuelae* via intergeneric conjugal transfer from *E. coli*. Conjugative plasmid pSET152 containing *oriT* and *attP* of φC31 in *E. coli* ET12567 (pUZ8002) was used to establish conjugation condition. Heat treatment of spores of *S. venezuelae* from room temperature up to 45°C for 10 min resulted in high conjugation efficiency. In addition, young mycelium of *S. venezuelae* was efficiently used as an alternative recipient. Integration of pSET152 into *S. venezuelae* chromosome was confirmed by PCR amplification of apramycin resistance gene (*apr*). Southern hybridization showed similar hybridization patterns from exconjugants when 2.05 kb *Hind*III-*Sac*I fragment of pSET152 containing *attP* region was used as a probe indicating that all integrations occurred at a single site on *S. venezuelae* chromosome. All exconjugants showed no phenotypic changes in morphology and chloramphenicol activity. This method will be used to manipulate genes in *S. venezuelae*.

**Keywords:** Intergeneric conjugation; *Streptomyces venezuelae*; pSET152

### 1. Introduction

Streptomycetes are filamentous Gram-positive bacteria [1], which are the largest producers of bacterial secondary metabolites including over two-thirds of all antibiotics in the market [2]. Secondary metabolites are synthesized from intermediates or end products of primary metabolism via unique biosynthesis pathway. *Streptomyces venezuelae* produces chloramphenicol that is active against several Gram-negative bacteria, in particularly *Shigella sonnei* and *Rickettsia prowazekii* [3]. The phenyl-propanoid moiety of chloramphenicol has its origin in chorismate, the end product of shikimate pathway [4].

Although applications of recombinant DNA techniques in *Streptomyces* have rapidly increased in the past several years, genetic manipulation in *Streptomyces* has more limits as the bacteria grow slowly and recombinant plasmids are sometimes unstable. Techniques such as transposon mutagenesis are poorly

developed. Recently, conjugal transfer of plasmid from *E. coli* to *Streptomyces* has been increasingly developed for gene disruption/replacement, gene expression and genetic complementation, because the recombinant constructs can be easily made in *E. coli* [5]. Plasmid transfer from *E. coli* to *Streptomyces* depends on several factors including the origin of transfer (*oriT*) of IncP plasmid RK2, the *tra* genes function of RP4 [6] and φC31 integrase derived from actinophage for integration at attachment (*att*) site to enable recombination [7].

We report here the optimal conditions for intergeneric conjugation in transferring plasmid pSET152 from *E. coli* into both spores and mycelium of *S. venezuelae*. This system provides a simple and reliable procedure for transferring plasmid DNA from *E. coli* to *S. venezuelae*.

### 2. Materials and Methods

The 19<sup>th</sup> Annual Meeting of the Thai Society for Biotechnology  
“TSB2007: Biotechnology for Gross National Happiness”

## 2.1 Bacterial strains, plasmids and growth conditions

*S. venezuelae* (kindly provided by M.J. Buttner, John Innes Institute, UK) was used as recipient and manipulated by standard procedures [8]. A methylation-deficient *E. coli* strain ET12567 (*dam-13::Tn9 dcm-6 hsdM hsdS Cm<sup>r</sup>*) containing pUZ8002 was used as a donor for intergeneric conjugations [9]. pUZ8002 (*tra Cm<sup>r</sup>*) is a RK2 derivative with a defective *oriT* and a non-self-transmissible plasmid that drives the mobilisation function for *oriT*-containing plasmids [10]. Plasmid pSET152 carrying *oriT*,  $\phi$ C31 *int*, *attP* and apramycin resistance gene (*apr*) [11] was used as conjugative plasmid.

*E. coli* ET12567 (pUZ8002/pSET152) was grown in LB broth supplemented with apramycin (50 µg/ml), chloramphenicol (25 µg/ml) and kanamycin (25 µg/ml). Mannitol soya agar (MS) [12] was used for preparing spores of *S. venezuelae*, tryptic soya broth (TSB) for growing *S. venezuelae* mycelia, Oxoid tryptic soya agar (TSA) containing 10 mM MgCl<sub>2</sub> as conjugative media, and TSA supplemented with apramycin for growing and maintaining exconjugants.

## 2.2 DNA manipulation

Standard procedures for DNA manipulation were followed [13] for *E. coli* and [8] for *Streptomyces*.

## 2.3 Intergeneric conjugation

*S. venezuelae* spores ( $10^3$ - $10^4$ ) were suspended in 500 µl of 2×yeast extract tryptone (YT) medium and treated from room temperature to 55°C for 10 min. Donor *E. coli* strain ET12567 (pUZ8002/pSET152), was grown in LB until OD<sub>600</sub> reached 0.4-0.6 in the presence of antibiotics as described above. *E. coli* cells were sedimented and washed twice with LB to remove the remaining antibiotics, then resuspended in a final volume of 500 µl of LB ( $10^8$  cells). *E. coli* cells and *S. venezuelae* spore suspension were mixed and spread on Oxoid TSA media containing 10 mM MgCl<sub>2</sub> and incubated at 30°C for 12-14 h. The plates were flooded with 1 ml of water containing nalidixic acid (500 µg/ml) and apramycin (50 µg/ml) and incubated for further 5-7 days. Exconjugants were counted and calculated for efficiency from the number of exconjugants/recipients. For conjugation with mycelium, *S. venezuelae* spores were inoculated in TSB at 250 rpm at 30°C for

24 h. An equal volume of *S. venezuelae* mycelium ( $10^4$  cfu) was mixed with *E. coli* donor cells and conjugation was performed in the same way as described above.

## 2.4 Analysis of exconjugants

Total chromosomal DNA of exconjugants was subjected to PCR using specific primers within *acc(3)IV (apr)* gene: AprC-1 (5'- GAC GTC GCG GTG AGT TCA GGC-3') and AprN-2 (5'-CCC CGG CGG TGT GCT G-3') under conditions previously described [14]. Exconjugants were further analysed by Southern hybridisation. Exconjugant chromosomal DNA was digested with *SacI* and transferred to HybondN+ membrane (Amersham, UK) using standard protocol [13]. Membrane was hybridised at 68°C with labelled 2.05 kb *attP* region of pSET152 as a probe using Gene Images Random Prime Labeling Module and detection kits as described by the manufacturer (Amersham, UK). Exconjugants were also analysed for chloramphenicol production by using agar plug assay [15].

## 3. Results and Discussion

### 3.1 Effect of heat treatment of *S. venezuelae* spores on intergeneric conjugation

Spore pre-germination by heat treatment before being mixed with *E. coli* donor cells is necessary for efficient conjugation [8]. For *S. coelicolor* A3(2), heat treatment of spores at 50°C for 10 min is recommended [8]. After 10 min incubation time, heat-treated spores of *S. venezuelae* gave the same conjugation efficiency ( $10^4$ ) from room temperature up to 45°C (Table 1). However, treated spore of *S. venezuelae* at 40°C was selected as the best condition to achieve highest conjugation efficiency. Higher temperature may reduce viability of spore and, thus, lower the yield of exconjugants. It has been reported that treating *S. lavendulae* FRI-5 spores at 50°C resulted in loss of spore viability as well as conjugation efficiency of [16].

The 19<sup>th</sup> Annual Meeting of the Thai Society for Biotechnology  
“TSB2007: Biotechnology for Gross National Happiness”

**Table 1** Effect of temperature on *S. venezuelae* spores as recipients for conjugal transfer of pSET152 from *E. coli* ET12567 (pUZ8002)

Temperature (°C)	Exconjugants per recipient <sup>1</sup>
RT	2.7 x10 <sup>-4</sup>
35	4.1 x10 <sup>-4</sup>
40	4.4 x10 <sup>-4</sup>
45	1.1 x10 <sup>-4</sup>
50	4.1 x10 <sup>-5</sup>
55	2.7 x10 <sup>-5</sup>

<sup>1</sup>The value represents average efficiency from three independent experiments. RT = room temperature.

### 3.2 Efficiency of *S. venezuelae* mycelium as recipient in intergeneric conjugation

Young mycelium of *S. venezuelae* was used as an alternative recipient for intergeneric conjugation. Young 24-h *S. venezuelae* mycelium was mated with log-phase *E. coli* ET12567 (pUZ8002/pSET152). *S. venezuelae* spore suspension was heat-treated at 40°C for 10 min before mating with *E. coli* donor. Both mycelium and spore of *S. venezuelae* gave equivalent conjugation efficiency (10<sup>-4</sup>; Table 2). However, it may be argued that a fragmented mycelium may contain more than a single cell and thus is not comparable to a single spore. Nevertheless from these result indicated that either spores or mycelium of *S. venezuelae* can be employed as recipient to generate relatively high frequency of intergeneric conjugation.

**Table 2** Effect of recipient types of *S. venezuelae* on conjugal transfer of pSET152 from *E. coli* ET12567 (pUZ8002)

Recipient type	Number of recipients	Exconjugants per recipient
Mycelium	10 <sup>4</sup>	1.0 x10 <sup>-4</sup>
Spore <sup>1</sup>	10 <sup>4</sup>	1.1 x10 <sup>-4</sup>

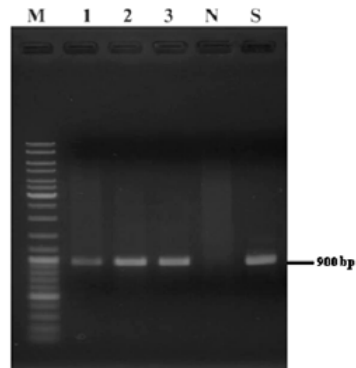
<sup>1</sup>Recipient spores were heat-treated at 40°C for 10 min before mating step.

### 3.3 Effect of plasmid integration on phenotype

The presence of plasmid integrating into streptomycete chromosome can result in reduction of antibiotic productivity and/or reduction of growth [17]. However, randomly selected *S. venezuelae* exconjugants showed similar growth rates to the wild-type strain (data not shown). Furthermore, no morphological changes were observed and exconjugants were able to produce equivalent levels of chloramphenicol as the wild-type (data not shown).

### 3.4 Analysis of exconjugants by PCR and Southern hybridisation

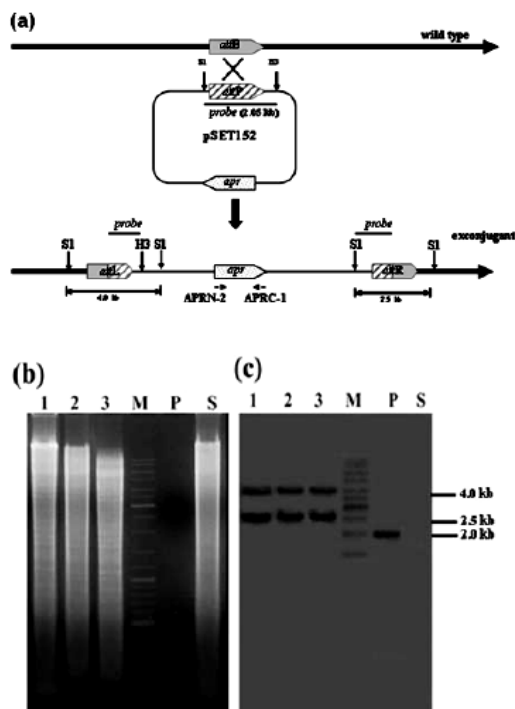
Total chromosomal DNA of three independent *S. venezuelae* exconjugants were analysed by amplification of *apr* gene using the specific primers APRC-1 and APRN-2 [14]. The expected 0.9-kb PCR product was obtained from all 3 exconjugants (Figure 1).



**Figure 1** PCR detection of apramycin resistance gene (*apr*). Lane M, 1 kb DNA ladder; lanes 1-3, *S. venezuelae* exconjugants; lane N, *S. venezuelae*, lane S, pSET152.

Chromosomal DNA of the exconjugants was digested with *SacI* and subjected to Southern blotting analysis using 2.05 kb containing *attP* region of pSET152 as a probe at 68°C (Figure 2). Similar hybridisation patterns of 2.5 kb and 4.0 kb fragments were obtained from all 3 exconjugants (Figure 2c) indicating that pSET152 was integrated into *S. venezuelae* chromosome by a site specific recombination between *attP* site of plasmid and *attB* site of chromosome (see Figure 2a). Furthermore, this integration occurred at a single attachment site of the chromosome of *S. venezuelae*.

The 19<sup>th</sup> Annual Meeting of the Thai Society for Biotechnology  
“TSB2007: Biotechnology for Gross National Happiness”



**Figure 2** Integration of pSET152 into chromosome of *S. venezuelae*. (a) Schematic representation of pSET152 integration by site specific recombination into the *attB* of *S. venezuelae* (H3, *HindIII*; S1, *SacI*). (b) DNA digested with *SacI* separated on 0.8% agarose gel. (c) Southern hybridisation of *SacI*-digested DNA using 2.05 kb *attP* region of pSET 152 as a probe. Lane M, 1 kb DNA ladder; lanes 1-3, exconjugants/*SacI*; lane P, pSET152/*SacI*; lane S, *S. venezuelae*/*SacI*.

In summary, we have established an optimal condition for intergeneric conjugation of plasmid DNA between *E. coli* ET12567 (pUZ8002/pSET152) and *S. venezuelae* and confirmed that the integration of pSET152 has no effect on phenotype. This method will be used to manipulate genes in *S. venezuelae*.

#### 4. Acknowledgements

We thank Mark Buttner, John Innes Institute, UK for providing plasmids and bacterial strains. R.J. and N.E.M. received scholarship from BIOTEC, NSTDA and UNESCO, respectively. This work was supported by a research grant from BIOTEC, NSTDA.

#### References

- [1] Williams, S.T., Goodfellow M. and Alderson G. 1989. Genus *Streptomyces*, pp. 2452-2492. In S.T. Williams, ed. Bergey's Manual of Systematic Bacteriology Vol. 4. Williams and Wilkins, Baltimore.
- [2] Sanglier, J.J., Haag, H., Huck, T.A., and Fehr, T. 1993. Novel bioactive compounds from actinomycetes. A short review. Res. Microbiol. 144: 633-642.
- [3] Ehrlich, J., Bartz Q.R., Smith R.M., Joslyn D.A. and Burkholder P.R. 1947. Chloromycetin, a new antibiotic from a soil actinomycete. Science. 106: 417.
- [4] He, J., Magarvey N., Pirae M. and Vining L.C. 2001. The gene cluster for chloramphenicol biosynthesis in *Streptomyces venezuelae* ISP5230 includes novel shikimate pathway homologues and a monomodular nonribosomal peptide synthetase gene. Microbiology. 147: 2817-2829.
- [5] Mazodier, P., Petter, R. and Thompson, C. 1989. Intergeneric conjugation between *Escherichia coli* and *Streptomyces* species. J. Bacteriol. 171: 3583-3585.
- [6] Donald, G. and Emanuel, Y. 1983. Location and nucleotide sequence of the transfer origin of the broad host range plasmid RK2. Proc. Natl. Acad. Sci. USA. 80: 3595-3598.
- [7] Calos, M.P. 2006. The φC31 integrase system for gene therapy. Curr. Gene Ther. 6: 633-645.
- [8] Kieser, T., Bibb, M.J., Buttner, M.J., Chater, K.F. and Hopwood, D.A. 2000. Practical *Streptomyces* Genetics. Norwich, UK: The John Innes Foundation.
- [9] McNeil, D.J., Gewain, K.M., Ruby, C.L., Dezeny, G., Gibbons, P.H. and MacNeil, T. 1992. Analysis of *Streptomyces avermitilis* genes required for avermectin biosynthesis utilizing a novel integration vector. Gene 111: 61-68.
- [10] Paget, M.S.B., Chamberlin, L., Atri, A., Foster, S.J. and Buttner, M.J. 1999. Evidence that the extracytoplasmic function sigma factor σ<sup>E</sup> is required for normal cell wall structure in *Streptomyces coelicolor* A3(2). J. Bacteriol. 181, 204-211.

The 19<sup>th</sup> Annual Meeting of the Thai Society for Biotechnology  
“TSB2007: Biotechnology for Gross National Happiness”

- [11] Bierman, M., Logan, R., O'Brien, K., Seno, E.T., Rao, R.N. and Schoner, B.E. (1992). Plasmid cloning vectors for the conjugal transfer of DNA from *Escherichia coli* to *Streptomyces* spp. *Gene* 116: 43-49.
- [12] Hobbs, G., Frazer, C.M., Gardner, D.C.J., Cullum, J.A. and Oliver, S.G. 1989. Dispersed growth of *Streptomyces* in liquid culture. *Appl. Microbiol. Biotechnol.* 31: 272-277
- [13] Sambrook, J. and Russell, D.W. 2001. Molecular Cloning: a Laboratory Manual. 3rd ed. New York: Cold Spring Harbor Laboratory.
- [14] Choi, S.-U., Lee, C.-K., Hwang, Y.-I., Kinoshita, H. and Nihira, T. 2004. Cloning and functional analysis by gene disruption of a gene encoding a  $\gamma$ -butyrolactone autoregulator receptor from *Kitasatospora setae*. *J. Bacteriol.* 186: 3423-3430.
- [15] Jeffry, J.F. 1994. Isolation of Microorganisms Producing Antibiotic, pp. 379-405. In R.W. Weaver, J.S. Angel and T.S. Botlomley, eds. *Methods of Soil Analysis, Part2. Microbiological and Biochemical Property*. ASM Press, Washington D.C.
- [16] Kitani, S.K., Bibb, M.J., Nihira, T. and Yamada, Y. 2000. Conjugal transfer of plasmid DNA from *Escherichia coli* to *Streptomyces lavendulae* FRI-5. *J. Microbiol. Biotechnol.* 10: 535-538.
- [17] Voeykova, T., Emelyanova L., Tabakov V., and Mkrtumyan N. 1998. Transfer of plasmid pT01 from *Escherichia coli* to various representatives of the order Actinomycetales by intergeneric conjugation. *FEMS Microbiol. Lett.* 162: 47-52.

## ประวัติการศึกษา

ชื่อ – นามสกุล	นางสาวรัชนีวรรณ แจ่มแสง
วัน เดือน ปี ที่เกิด	6 ธันวาคม 2526
สถานที่เกิด	นนทบุรี
ประวัติการศึกษา	วท.บ.ชีววิทยาประยุกต์ (จุลชีววิทยา) มหาวิทยาลัยราชภัฏ สวนสุนันทา
ผลงานทางวิชาการ	JeamSeang R., N-E Namjilsuren and A.Thamchaipenet. 2007. Intergeneric Conjugative Transfer of pSET152 from <i>Escherichia coli</i> to <i>Streptomyces venezuelae</i> . In <b>Proceedings of the 19<sup>th</sup> Annual Meeting of the Thai Society for Biotechnology.</b> ทุนบัณฑิตศึกษากายในประเทศไทย สาขาวิชาเทคโนโลยีชีวภาพ จากศูนย์พันธุวิศวกรรมและเทคโนโลยีชีวภาพแห่งชาติ สำนักงานพัฒนาวิทยาศาสตร์และเทคโนโลยีแห่งชาติ (พ.ศ. 2550-2551)
ทุนการศึกษาที่ได้รับ	ทุนบัณฑิตศึกษากายในประเทศไทย สาขาวิชาเทคโนโลยีชีวภาพ จากศูนย์พันธุวิศวกรรมและเทคโนโลยีชีวภาพแห่งชาติ สำนักงานพัฒนาวิทยาศาสตร์และเทคโนโลยีแห่งชาติ (พ.ศ. 2550-2551)